

Hemmelig  
HEMMELIG

FFIE  
Intern rapport E-188  
Referanse:  
Dato: Juni 1971

AVGRADERT  
Dato: 11.10.09 Sign.: SU

Eksemplar nr 10 av 30  
118 sider

DOKUMENTASJON AV TORPEDO STYRINGSPROGRAMMER

av

O Selnes

Godkjent  
Kjeller 1 juni 1971

*B Landmark*  
B Landmark  
Forskningsssjef

FORSVARETS FORSKNINGSSINSTITUTT  
Norwegian Defence Research Establishment  
Postboks 25 - 2007 Kjeller  
Norge

HEMMELIG  
Hemmelig

FORSVARETS FORSKNINGSIINSTITUTT  
Avdeling for elektronikk  
Vår ref: -/71/FFIE/OS/SP/924

Kjeller, 30 juni 1971

VEDLEGG

til Intern rapport E-188:

"Dokumentasjon av torpedo styringsprogrammer"

Ved en misforståelse er denne rapporten uten grunn blitt  
trykket med graderingen "HEMME~~LIG". Den riktige gradering  
skal være "BEGRENSET"~~

*Oddvar Selnes*

Oddvar Selnes



Hemmelig  
HEMMELIG

FFIE  
Intern rapport E-188  
Referanse:  
Dato: Juni 1971

Eksemplar nr 10 av 30  
118 sider

DOKUMENTASJON AV TORPEDO STYRINGSPROGRAMMER

av

O Selnes

Godkjent  
Kjeller 1 juni 1971

*B Landmark*  
B Landmark  
Forskningssjef

FORSVARETS FORSKNINGSSINSTITUTT  
Norwegian Defence Research Establishment  
Postboks 25 - 2007 Kjeller  
Norge

HEMMELIG  
Hemmelig



INNHOLDSFORTEGNELSE

	Side
1 TEORIEN BAK TORPEDOSTYRINGEN	7
1.1 Innledning	7
1.1.1 Torpedotyper med data	7
1.1.1.1 Generelt	7
1.1.1.2 MK-37	7
1.1.1.3 TP-61	8
1.1.2 Torpedoløp og styringsmodi	9
1.1.2.1 Generelt	9
1.1.2.2 Løp under kollisjonspunktstyring	9
1.1.2.3 Løp under siktelinjestyring	11
1.2 Utledning av torpedostyringsligninger	12
1.2.1 Generelt	12
1.2.2 Presetting av gyro og prediktering av initialløp for MK-37	12
1.2.3 Oppdatering av torpedo etter initialløp	16
1.2.3.1 Generelt	16
1.2.3.2 MK-37	16
1.2.3.3 TP-61	17
1.2.3.4 Estimat av posisjonsfeil for torpedo etter initialløp	18
1.2.4 Kollisjonspunktstyring	21
1.2.4.1 Generelt	21
1.2.4.2 Beregning av kollisjonspunkt	21
1.2.4.3 Posisjonsbegrensning av treffpunktet relativt torpedoen	23
1.2.4.4 Forbedring av angrepssvinkel	24
1.2.4.5 Tråkling	26
1.2.5 Siktelinjestyring	31
1.2.5.1 Generelt	31
1.2.5.2 Utover på siktelinje	31
1.2.5.3 Innover på siktelinje	34
1.2.6 Salveskyting	34
1.2.6.1 Generelt	34
1.2.6.2 Kollisjonspunktstyring	35
1.2.6.3 Siktelinjestyring	36
1.3 Forslag til endringer	38
2 FLOWCHARTS OG LISTING FOR TORPEDO-PROGRAMMENE	39
2.1 Generelt	39
2.2 Salvefile	40
2.3 Torpedofile	40
2.4 Måldatafile	41
2.5 Eget fartøys data	41
2.6 Systemtid	42
2.7 Interruptblokering	42
2.8 Libraryrutiner	42

	Side
2. 9      Øvrige globalvariable	42
2. 10     Torpedostyringsprogram	43
Appendix	44

## F O R O R D

Denne rapport er en utfylling og videreføring av Teknisk notat S-209, "Preliminær dokumentasjon av styringsprogram for torpedo enkeltskudd" av Bjarne Hope og Reidar Ødegård. Hovedsakelig er torpedostyringen basert på de prinsipper som der er dokumentert, men en del forandringer er gjort. Disse forandringer gjelder delvis endrede forutsetninger, delvis en raskere og enklere matematisk løsningsmetode.

Denne rapporten omfatter ikke administrasjonsprogrammet for torpedoen. Kommunikasjonen mellom styringsprogrammene og det øvrige system foregår via de enkelte enheters datafiler. Dette er behandlet nærmere i rapportens kapittel 2.

Rapporten omhandler de funksjoner de forskjellige styringsprogrammer har, samt den matematiske utvikling av de ligninger som benyttes ved beregningene av torpedoløpet.

Videre inneholder rapporten flytdiagrammer og listinger av de enkelte programmer.



DOKUMENTASJON AV TORPEDO STYRINGSPROGRAMMER

SUMMARY

The present report treats the torpedo guidance programs of the MSI-70U system. The various guidance modes are described in detail, and the corresponding guidance equations are derived. Flowcharts and listings in the SM-3 computer language are included.

(Documentation of torpedo guidance programs)

1 TEORIEN BAK TORPEDOSTYRINGEN

1.1 Innledning

Denne del av rapporten behandler den matematiske utvikling av styringsligningene for torpedoene. De enkelte styringsmodi er beskrevet i detalj. Videre er tatt med de grunnleggende egenskaper hos de to torpedotyper som inngår i systemet. Salveskyting med flere enn en torpedo er behandlet og omfatter de modifikasjoner som må innføres i styringsligningene i dette tilfelle.

Til slutt er tatt med noen forslag til endringer i systemet slik det foreligger i mars 1971.

1.1.1 Torpedotyper med data

1.1.1.1 Generelt

I denne rapport tas bare med data av direkte betydning for den regnemaskinkontrollerte torpedostyringen.

I MSI-70U inngår to torpedotyper: MK-37 og TP-61. Begge typene er trådstyrte.

1.1.1.2 MK-37

MK-37 er en heimende torpedo. Den kan alltid styres via tråd til "enabling distance" som presettes i torpedoen. Utenfor dette området kan den trådstyres bare i en bestemt søkermodus, slangesøk.

På grunn av at torpedoen er heimende, legges det av sikkerhetshensyn en restriksjon på torpedokursen før "enabling distance" er nådd. Den tillatte sektor er  $\pm 135^\circ$  fra utskytningskursen.

Gyroen i MK-37 kan presettes. Dette utnyttes i systemet, da det gir en fordel i tilfelle trådbrudd tidlig i løpet, dvs før torpedoen har oppnådd kollisjonskurs. Torpedoen kan da likevel bringes inn på kollisjonskurs mot målet.

Trådstyring bør ikke begynne før torpedoen har oppnådd konstant hastighet av hensyn til nøyaktigheten i det beregnede torpedobestikk.

MK-37 finnes i to utgaver: Stridstorpedo og øvelsestorpedo. For øvelsestorpedoen foreligger relativt gode data for initiallopet, mens disse data på det nåværende tidspunkt er mindre gode for stridstorpedoen.

Tidspunktet når torpedoen passerer formskrogsluken, angis ved operasjon av en "Fin Velocity Switch" (FVS). Torpedoen begynner umiddelbart etterpå å svinge inn på presatt gyrokurs. Svingen antas å ha konstant krumningsradius.

MK-37 har to innstillbare hastigheter.

Tekniske data:

Oppholdstid i rør (fra fyring til FVS opererer)	ca 5,2 s
Utgangshastighet, stridstorpedo	usikker
Utgangshastighet, øvelsestorpedo	ca 18 kts
Marsjhastighet (lik for begge typer), høy	24,2 kts
" "	lav
	15,9 kts

Akselerasjonstid:

ved høy hast, stridstorpedo	usikker
ved høy hast, øvelsestorpedo	ca 11,5 s
ved lav hast, stridstorpedo	usikker
ved lav hast, øvelsestorpedo	ca 17,5 s
Svingerate ved trådstyring	8°/s

Torpedoløpets krumningsradius ved presatt gyro (lik for begge typer):

ved høy hastighet	60 m
ved lav hastighet	39 m
Trådlengde	11900 m

Verdiene for torpedoløpets krumningsradius ved gyrostyrte sving er framkommet ved å anta en svingerate på 12°/s ved oppnådd konstant hastighet.

De data som er usikre for stridstorpedoen, er i beregningene foreløpig satt lik dataene for øvelsestorpedoen.

#### 1.1.1.3 TP-61

TP-61 er ikke heimende og kan trådstyres til tråden er oppbrukt eller til eventuelt trådbrudd inntreffer.

Gyroen i torpedoen presettes ikke. Det betyr at initiallopet vil være et rettløp.

Trådstyring bør ikke starte før full hastighet er oppnådd av hensyn til nøyaktigheten i det beregnede torpedobestikk.

TP-61 har to utgaver: Stridstorpedo og øvelsestorpedo. De tekniske data av betydning for styringen, er like for de to utgaver.

Torpedoen har ingen tidsangivelse av når den passerer formskrogsluken.

Tekniske data:

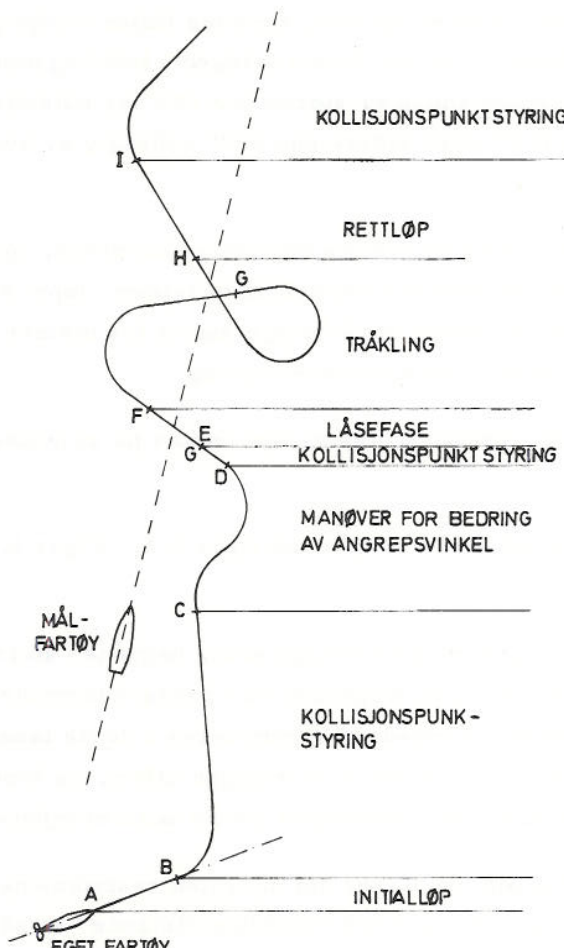
Oppholdstid i rør (fra fyring til formskrogsluken passeres)	4,2 s
Utgangshastighet	13,2 kts
Marsjhastighet	45,0 kts
Akselerasjonstid	ca 8,0 s
Svingerate ved trådstyring	4°/s
Trådlengde	20000 m

### 1.1.2 Torpedoløp og styringsmodi

#### 1.1.2.1 Generelt

I MSI-70U er det to forskjellige styringsprinsipper som ligger til grunn for den automatiske torpedostyring: Kollisjonspunktstyring og siktelinjestyring. I tillegg kommer en manuell styringsmodus og en ustyrт modus.

#### 1.1.2.2 Løp under kollisjonspunktstyring



Figur 1.1 Torpedoløp for TP-61 ved kollisjonspunktstyring

På figur 1.1 er skissert et typisk løp for en TP-61 torpedo som bommer. I løpet inngår såvel manøver for bedring av angrepssvinkelen som tråkling over målkurslinjen etter at torpedoen har bommet på målet.

Initiallopet er den fasen hvor torpedoen akselererer opp til konstant hastighet (A-B på figur 1.1). For TP-61 er initiallopet et rettløp (ingen gyropresetting og ingen trådstyring før konstant hastighet er oppnådd).

Ved trådstyring vil torpedoen etter fullført initiallop svinge med maksimal svingerate inn på kollisjonskurs. Hvis angrepssvinkelen, dvs vinkelen mellom målets og torpedoenens kurs, blir mindre enn en nedre satt grense, minker sannsynligheten for treff på grunn av forholdet mellom målfartøyets bredde og lengde. Ved undersøkelser hvor det er tatt hensyn til de forskjellige sensorers

nøyaktighet i angivelse av avstand og peiling til mål, er det funnet at treffsannsynligheten er størst når torpedokursen ligger nær peilingen til målet. Grensen for gyldigheten av dette er når forskjellen i kurs mellom mål og torpedo underskridet ca  $20^\circ$ .

Hvis denne grensen underskrides under kollisjonspunktstyringen, vil torpedoen på et gitt tidspunkt gå inn i en svingmanøver for å forbedre angrepssvinkelen (C-D på figur 1.1).

Etter denne manøver opptas kollisjonspunktstyring for en kort periode i tilfelle forandring av måldata i mellomtiden (D-E på figur 1.1).

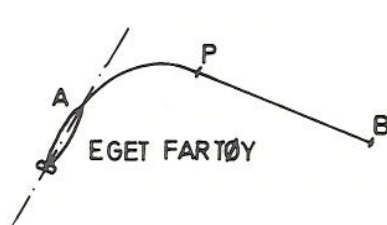
I en gitt avstand fra treffpunktet låses torpedoen, dvs det gis ikke nye styringsordrer. Grunnen er at innenfor denne avstand vil selv små variasjoner i måldataene, resultere i større utslag i kommandert kurs for torpedoen, noe som ikke er ønskelig. Låseavstanden er ut fra slike vurderinger satt til 300 m (E-F på figur 1.1 blir 600 m).

Hvis torpedoen ikke treffer målet, foretar den en tråklingsmanøver over målets kurslinje (F-G og G-H på figur 1.1). Det faktum at den ikke treffer, betyr at det er for stor unøyaktighet i måldata eller torpedobestikk. Dette forsøkes kompensert ved å la torpedoen neste gang krysse målets kurslinje en gitt avstand (vanligvis målets lengde) foran det angitte nye treffpunkt. Ved en ny bom, krysses linjen tredje gang i samme avstand bak nytt angitt treffpunkt. At den første svingen i tråklingsmanøveren på figur 1.1 er mindre enn  $180^\circ$  og den andre er større enn  $180^\circ$ , er tilfeldig. Begge svingene kan være mindre enn  $180^\circ$  eller større enn  $180^\circ$  avhengig av hva som ansees gunstigst.

Hvis ikke målet treffes etter tredje kryssing av målets angivelige kurslinje, indikerer det at måldataene har forandret seg utover usikkerhetsmarginen i løpet av tråklingsmanøvren. Torpedoen gis da et rettløp for å bringe den ut fra målets kurslinje (H-I på figur 1.1) for så igjen å oppta kollisjonspunktstyring.

Andre styringsmodi som manuell- eller siktelinjestyring kan opptas på et hvilket som helst tidspunkt i torpedoløpet.

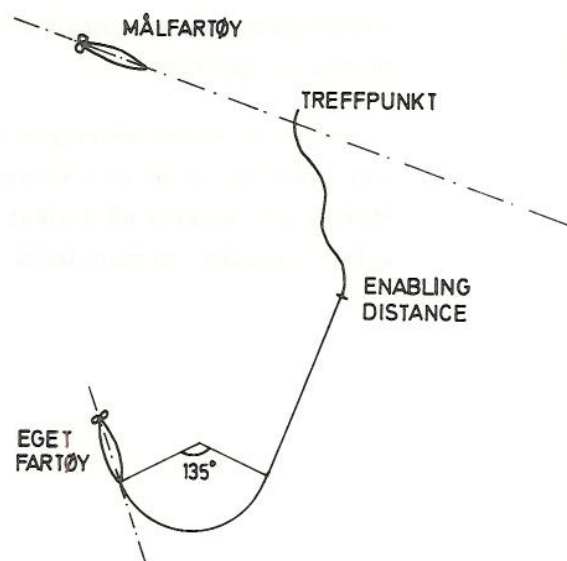
For MK-37 skiller initiallopet seg fra det som framgår fra figur 1.1. Figur 1.2 viser initiallopet for MK-37.



Figur 1.2 Initiallopet for MK-37 torpedo

Svingen inn på kollisjonskurs begynner umiddelbart etter at torpedoen har passert formskrogsluken. Torpedoen kontrolleres i denne fasen av gyroen. I punkt P er svingen utført, og løpet P-B er den resterende del av akselerasjonsfasen.

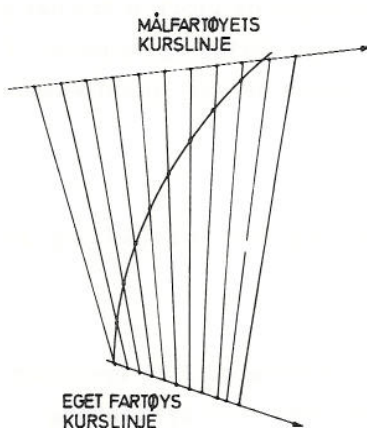
For MK-37 ligger det dessuten restriksjoner på torpedokursen for "enabling distance" er nådd. Figur 1.3 viser hvordan torpedoløpet blir der som kollisjonskursen ligger utenfor den tillatte



Figur 1.3 MK-37 torpedoløp begrenset av  
utskytningskursen før "enabling  
distance"  
Søkemodus er slangesøk

#### 1.1.2.3 Løp under siktelinjestyring

Siktelinjestyring er et styringsprinsipp spesielt egnet i situasjoner hvor avstandsestimatet er usikkert mens peilingsestimatet er nøyaktig. Prinsippet er basert på at torpedoen til ethvert tidspunkt skal befinner seg på siktelinjen mellom eget fartøy og mål. Styringen har to modi: Utover og innover på siktelinje.



Figur 1.4 Framstilling av torpedoløpets  
form ved siktelinjestyring

med full svingerate, inn på siktelinjen. Strekningen B-C styres den utover på siktelinje. Det er ingen automatisk omkopling til modus innover på siktelinje, da avstanden til målet i prinsippet er ukjent. Omkoplingen til styringsmodus innover på siktelinje i punkt C må derfor utføres manuelt. Torpedoen vil da vende og gå korteste vei (maksimal svingerate) inn på siktelinjen igjen.

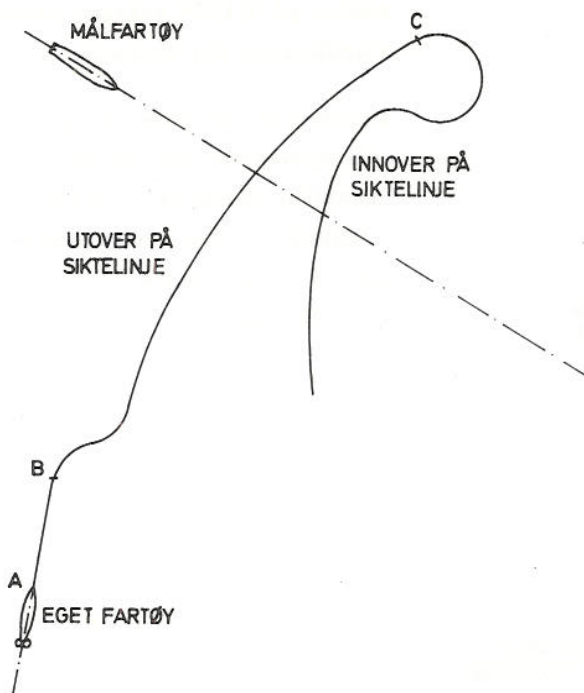
sektor på  $\pm 135^\circ$  relativt utskytningskursen for torpedoen.

Torpedoen kan ikke svinge inn på kollisjonskurs før den har nådd "enabling distance". Etter dette tidspunkt vil den i slangesøkemodus styres inn på og oscillere om kollisjonskursen.

På figur 1.4 er vist hvordan torpedoløpet i det generelle tilfelle vil få en buet form ved siktelinjestyring. Tverrlinjene mellom målets og eget fartøys kurslinje framstiller siktelinjen med konstante tidsintervaller. Avstanden mellom krysningspunktene mellom disse linjer og torpedoløpet må være konstant, og det medfører et buet forløp.

På figur 1.5 er vist et helt torpedoløp hvor torpedoen styres på siktelinje.

Etter initiallopets slutt (punkt B) styres torpedoen korteste vei, dvs



Figur 1.5 Torpedoløp for TP-61 ved siktelinjestyring

Vending mellom de to modi for siktelinjestyring kan utføres til tråden er oppbrukt.

Overgang til andre styringsmodi som manuell- eller kollisjonspunktstyring kan foretas på hvilket som helst tidspunkt i torpedoløpet.

## 1.2 Utledning av torpedostyringsligninger

### 1.2.1 Generelt

I de følgende avsnitt er foretatt den matematiske utledning av de ligninger som ligger til grunn for torpedostyringen. Utledningen er gjort ut fra det geometriske bilde av engasjementsenhetene målfartøy, eget fartøy og torpedo. I første omgang betraktes enkelttorpedoskudd, og til slutt angis de små modifikasjoner som må innføres ved flere torpedoer i salven.

### 1.2.2 Presetting av gyro og prediktering av initiallopp for MK-37

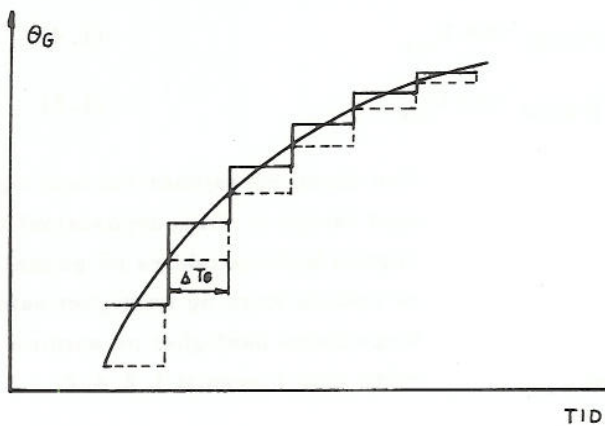
Størrelser som inngår i beregningene:

$T_{PRED}$	= Tid fra gyrosetting til FVS opererer
$\Delta T_G$	= Intervall mellom hver gyrosetting
$T_{TUBE}$	= Tid i rør fra fyring til FVS opererer
$T_{ACC}$	= Akselerasjonstid for torpedo
$T_{IR}$	= Tid i initiallopet
$X_{TGT}, Y_{TGT}$	= Målets koordinater når beregning foretas
$X'_{TGT}, Y'_{TGT}$	= Målets predikerte koordinater når FVS opererer
$X_{TGT1}, Y_{TGT1}$	= Målets predikerte koordinater ved initiallopets slutt
$V_x^{TGT}, V_y^{TGT}$	= Målets hastighetskomponenter
$C_c'$	= Første tilnærming av kollisjonskursen
$X_{os}, Y_{os}$	= Eget fartøys koordinater når beregning foretas

$X'_{OS}, Y'_{OS}$	= Eget fartøys predikerte koordinater når FVS opererer
$C_{OS}$	= Eget fartøys kurs
$V_{OS}$	= Eget fartøys hastighet
$X_T, Y_T$	= Predikerte koordinater for svingens endepunkt
$X_{IR}, Y_{IR}$	= Predikerte koordinater for initialløpets endepunkt
$V_{TP}$	= Torpedoens hastighet
$C_c$	= Kollisjonskurs
$\theta$	= Svingvinkel
$\theta_G$	= Gyrovinkel
$R$	= Initialløpets krumningsradius
$D_{ACC}$	= Akselerasjonslengde for torpedo
$D_{IR}$	= Avstand mellom initialløpets start- og endepunkt
$\Phi_{IR}$	= Peiling til initialløpets endepunkt

Hensikten med presetting av gyroen er å bringe torpedoen inn på kollisjonskurs, selv om trådbrudd skulle inntreffe i initialløpet.

Da den til enhver tid beregnede kollisjonskurs vil forandre seg med tiden (før torpedoen er fyrt) etter som mål og eget fartøy forandrer posisjon, må oppdatering av gyroen foregå med relativt korte intervall. Lengden av intervallene bør være slik at forandringen av kollisjonskurs i et intervall ligger innenfor  $1^\circ$  ved normale engasjementssituasjoner. For å minimalisere den feilen i gyrovinkelen som oppstår på



Figur 1.6 Trinnavis forandring av gyro-vinkel

grunn av at torpedoen ikke skytes i samme øyeblikk som gyrovinkelen beregnes, prediktes posisjonsforandringer av mål og eget fartøy tilsvarende halvparten av intervallet mellom to gyrosettinger.

Dette er vist på figur 1.6.

På figur 1.6 er den kontinuerlige funksjonen til enhver tid eksakte gyrovinkel. Den heltrukne trappefunksjon er den reelle gyrovinkel når mål og eget fartøy prediktes fram en tid lik halvparten av intervallet mellom to gyrosettinger.

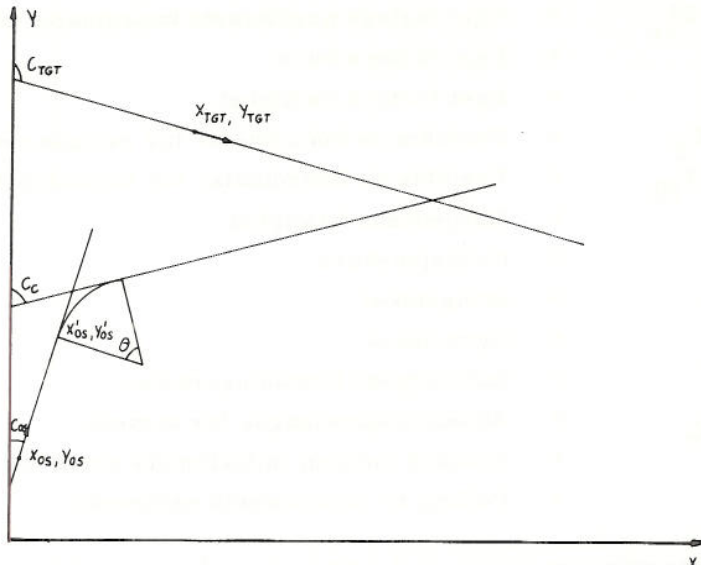
Den stippled trappefunksjon er den gyrovinkel en ville ha fått uten denne prediktingen. Den siste ligger, som figur 1.6 viser, i gjennomsnitt lengre fra den eksakte kurven.

I tillegg til denne prediksjonstiden kommer torpedoens oppholdstid i røret fra fyringsøyeblikket til den passerer formskrogsluken eller Fin Velocity Switch (FVS) opererer, som er det siste observerbare tidspunkt hvor torpedoens kurs og posisjon faller sammen med tilsvarende for eget fartøy. Den totale prediksjonstid blir

$$T_{PRED} = \frac{1}{2} \Delta T_G + T_{TUBE} \quad (1.1)$$

På figur 1.7 er vist en engasjementssituasjon i fyringsøyeblikket.

Målets og eget fartøys koordinater når FVS opererer vil være henholdsvis



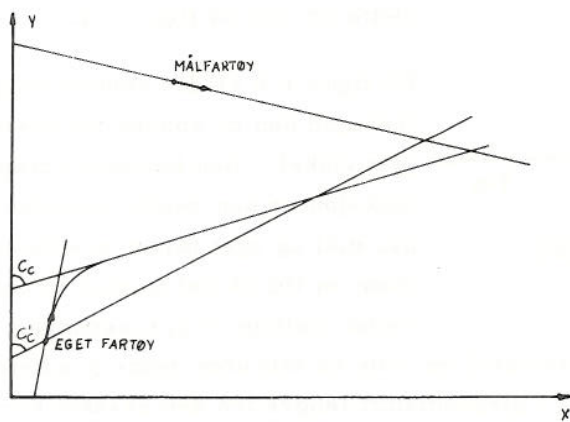
Figur 1.7 Engasjementssituasjon med predikert torpedoløp

$$X'_{TGT} = X_{TGT} + V_{TGT} \cdot T_{PRED} \cdot \sin C_{TGT} = X_{TGT} + V_{TGT}^x \cdot T_{PRED} \quad (1.2)$$

$$Y'_{TGT} = Y_{TGT} + V_{TGT} \cdot T_{PRED} \cdot \cos C_{TGT} = Y_{TGT} + V_{TGT}^y \cdot T_{PRED} \quad (1.3)$$

$$X'_{os} = X_{os} + V_{os} \cdot T_{PRED} \cdot \sin C_{os} \quad (1.4)$$

$$Y'_{os} = Y_{os} + V_{os} \cdot T_{PRED} \cdot \cos C_{os} \quad (1.5)$$



Figur 1.8 Illustrasjon av forskjellen mellom eksakt kollisjonskurs og første tilnærming av samme

måtte svinge) og hadde konstant hastighet.

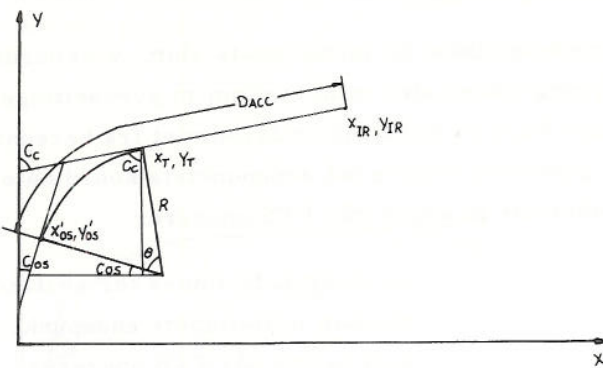
Fra figur 1.7 finnes for svingevinkelen

$$\theta = C_c - C_{os} \quad (1.6)$$

Fra disse posisjonene for mål og eget fartøy (= torpedoposisjon) beregnes kollisjonskurs på grunnlag av målets kurs og hastighet samt torpedoens hastighet på samme måte som i avsnitt 1.2. 4. 2.

Denne kollisjonskurs må korrigeres fordi torpedoen akselererer i initiallopet og dessuten utfører en sving som gjør løpslengden til treffpunktet lengre. Dette er illustrert i figur 1.8.

På figur 1.8 er  $C'_c$  den kollisjonskurs en ville ha fått dersom torpedoen allerede lå på denne kurs (ikke



Figur 1.9 Initialløp for MK-37 torpedo

Torpedoen prediktes først gjenom en sving  $\theta$ .

Målposisjonen prediktes fram en tilsvarende tid, og fra de nye predikerte posisjoner for mål og torpedo beregnes på nytt en kollisjonskurs. Denne gir en ny svingevinkel gjennom ligning (1.6), som igjen benyttes til en ny prediksjon av initialløpet. Iterasjonen fortsetter inntil  $\theta$  ikke forandrer seg mer enn en gitt verdi. Den vinkelen som skal settes i gyroen, vil da være

$$\theta_G = \theta \quad (1.7)$$

Ved prediksjon av initialløpet forutsettes at krumningsradien til torpedoløpet er konstant. Figur 1.9 viser initialløpet.

Koordinatene til svingens endepunkt vil være (se figur 1.9)

$$X_T = X'_{os} + R (\cos C_{os} - \cos C_c) \quad (1.8)$$

$$Y_T = Y'_{os} + R (\sin C_c - \sin C_{os}) \quad (1.9)$$

Hvis  $R \cdot \theta \geq D_{ACC}$  vil koordinatene for initialløpets endepunkt  $X_{IR}$ ,  $Y_{IR}$  falle sammen med  $X_T$ ,  $Y_T$ . Tiden det tar å gjennomløpe initialløpet, vil da være

$$T_{IR} = T_{ACC} + \frac{R\theta - D_{ACC}}{V_{TP}} \quad (1.10)$$

For  $R\theta < D_{ACC}$  vil koordinatene for initialløpets endepunkt bli (se figur 1.9)

$$X_{IR} = X_T + (D_{ACC} - R\theta) \sin C_c \quad (1.11)$$

$$Y_{IR} = Y_T + (D_{ACC} - R\theta) \cos C_c \quad (1.12)$$

I dette tilfelle vil tiden være

$$T_{IR} = T_{ACC} \quad (1.13)$$

Målets posisjon når torpedoens initialløp er slutt, blir

$$X_{TGT\ 1} = X'_{TGT} + V_{TGT}^x \cdot T_{IR} \quad (1.14)$$

$$Y_{TGT\ 1} = Y'_{TGT} + V_{TGT}^y \cdot T_{IR} \quad (1.15)$$

Ut fra ligning (1.6) finnes negativ  $\theta$  hvis torpedoen svinger mot venstre. I ligningene (1.8) - (1.12) må da også  $R$  settes negativ for at ligningene skal gjelde.

Hvis den beregnede kollisjonskurs ligger utenfor  $\pm 135^\circ$  fra eget fartøys kurs settes

$$\theta_G = 135^\circ \quad \text{for} \quad C_c - C_{os} > 135^\circ \quad (1.16)$$

$$X'_{os} = X_{os} + V_{os} \cdot T_{TUBE} \cdot \sin C_{os} \quad (1.25)$$

$$Y'_{os} = Y_{os} + V_{os} \cdot T_{TUBE} \cdot \cos C_{os} \quad (1.26)$$

Torpedoens koordinater ved initialløpets slutt vil være (se figur 1.12)

$$X_{TP} = X'_{os} + D_{ACC} \cdot \sin C_{os} \quad (1.27)$$

$$Y_{TP} = Y'_{os} + D_{ACC} \cdot \cos C_{os} \quad (1.28)$$

Torpedoens kurs vil være

$$C_{TP} = C_{os} \quad (1.29)$$

Tiden for initialløpets slutt vil være

$$T_{END} = T + T_{TUBE} + T_{ACC} \quad (1.30)$$

For en nøyaktig oppdatering av torpedoens koordinater og kurs er det viktig at eget fartøy ikke dreier seg i tidsrommet  $T_{TUBE}$ .

#### 1.2.3.4 Estimat av posisjonsfeil for torpedo etter initialløp

De størrelser som danner grunnlag for beregning av initialløpet og som er antatt konstante, er i noen tilfeller vanskelige å fastlegge nøyaktig. Dette er selvsagt for parametre som varierer fra torpedo til torpedo av samme type. Denne usikkerhet i størrelsene gir seg utslag i usikkerhet i torpedoposisjonen ved initialløpets slutt. I det følgende gis et overslag over den usikkerheten i torpedoens posisjon de forskjellige størrelsers usikkerhet bidrar med:

- a)  $T_{TUBE}$ , oppholdstid i røret etter fyring

Størrelser som inngår i beregningene

D	= Utløpt distanse etter en vilkårlig tid fra fyring
$V_{os}$	= Eget fartøys hastighet
$V_{TP}$	= Torpedoens hastighet
$D_{ACC}$	= Torpedoens akselerasjonslengde
$T_{ACC}$	= Torpedoens akselerasjonstid
$T_{TUBE}$	= Oppholdstid i rør etter fyring
T	= Vilkårlig tid fra fyring

For MK-37 vil størrelsen  $T_{TUBE}$  ikke ha betydning for torpedoposisjonen da oppdateringen skjer når FVS opererer. Derimot har  $T_{TUBE}$  innflytelse på hvor nøyaktig torpedoen ligger på kollisjonskurs ved initialløpets slutt. Eventuelle avvik lar seg ikke beregne da de er avhengige av den geometriske situasjonen og gjemtsenheterne befinner seg i.

For TP-61 er forholdet annerledes, da oppdateringen skjer i fyringsøyeblikket. Total utløpt distanse etter en tid T fra fyring vil være (forutsatt at initialløpet er avsluttet)

$$D = V_{os} \cdot T_{TUBE} + D_{ACC} + V_{TP} [T - (T_{TUBE} + T_{ACC})] \quad (1.31)$$

Posisjonsfeilens avhengighet av feil i oppholdstiden i røret finnes ved derivasjon av ligning (1.31)

$$\frac{\Delta D}{\Delta T_{TUBE}} = \frac{\Delta D}{dT_{TUBE}} = V_{os} - V_{TP} \quad (1.32)$$

Under normale forhold vil eget fartøys hastighet være meget lav sammenlignet med torpedohastigheten som er 45 kts. Posisjonsfeilens avhengighet av feil i  $T_{TUBE}$  vil derfor grovt anslått bli

$$\frac{\Delta D}{\Delta T_{TUBE}} \approx -20 \text{ m/s}$$

Usikkerheten i  $T_{TUBE}$  ligger sannsynligvis innenfor 1 s, dvs at feilen i torpedoens posisjon er under 20 m som følge av denne usikkerheten.

b) R, torpedoløpets krumningsradius

Størrelser som inngår i beregningene

- $X_{os}, Y_{os}$  = Eget fartøys koordinater når FVS opererer
- $C_{os}$  = Eget fartøys kurs når FVS opererer
- $X_{TP}, Y_{TP}$  = Torpedoens koordinater ved initialløpets slutt
- $\theta_G$  = Gyrovinkel
- $D_{ACC}$  = Torpedoens akselerasjonslengde
- R = Torpedoløpets krumningsradius
- $\Delta D$  = Torpedoens posisjonsfeil etter initialløpet

Feil i torpedoposisjon på grunn av feil i torpedoløpets krumningsradius vil bare gjøre seg gjeldende for MK-37 hvor gyroen presettes.

Fra beregningene i avsnitt 1.2.2 finnes torpedoposisjonen ved initialløpets slutt som

$$X_{TP} = X_{os} + 2R \sin \frac{\theta_G}{2} \sin(C_{os} + \frac{\theta_G}{2}) + (D_{ACC} - R\theta_G) \sin(C_{os} + \theta_G) \quad (1.33)$$

$$Y_{TP} = Y_{os} + 2R \sin \frac{\theta_G}{2} \cos(C_{os} + \frac{\theta_G}{2}) + (D_{ACC} - R\theta_G) \cos(C_{os} + \theta_G) \quad (1.34)$$

Posisjonsfeilens avhengighet av krumningsradien finnes ved derivasjon av ligningene (1.33) og (1.34)

$$\frac{dX_{TP}}{dR} = 2 \sin \frac{\theta_G}{2} \sin(C_{os} + \frac{\theta_G}{2}) - \theta_G \sin(C_{os} + \theta_G) \quad (1.35)$$

$$\frac{dY_{TP}}{dR} = 2 \sin \frac{\theta_G}{2} \cos(C_{os} + \frac{\theta_G}{2}) - \theta_G \cos(C_{os} + \theta_G) \quad (1.36)$$

Den samlede feil blir

$$\frac{\Delta D}{\Delta R} = \sqrt{\left(\frac{dX_{TP}}{dR}\right)^2 + \left(\frac{dY_{TP}}{dR}\right)^2} \quad (1.37)$$

Ligningene (1.35) og (1.36) innsatt i (1.37) og utregnet gir

$$\frac{\Delta D}{\Delta R} = \sqrt{\theta_G^2 - 2(\theta_G \sin \theta_G + \cos \theta_G - 1)} \quad (1.38)$$

Ligning (1.38) viser at feilen er kraftig økende med økende gyrovinkel  $\theta_G$  som følgende talleksempl viser

$\theta_G$	$\frac{\Delta D}{\Delta R}$
45°	0,3
90°	1,15
135°	2,37

Eksempelvis vil en feil i krumningsradien på 10 m, forårsake en feil i torpedo posisjonen på 11,5 m ved en gyroinkel på 90°, og bare 3 m ved en gyroinkel på 45°. Det vil derfor være gunstig om eget fartøys kurs ligger nær torpedoens kollisjonskurs i fyringsøyeblikket.

- c)  $T_{ACC}$  og  $D_{ACC}$ , akselerasjonstid og -lengde

Størrelser som inngår i beregningene

$T_{ACC}$	= Torpedoens akselerasjonstid
$D_{ACC}$	= Torpedoens akselerasjonslengde
$V_o$	= Torpedoens utgangshastighet
$V_{TP}$	= Torpedoens marsjhastighet
$T$	= Vilkårlig tid fra utskytning
$D$	= Utløpt distanse etter en vilkårlig tid $T$

Akselerasjonslengden  $D_{ACC}$  er en hjelpestørrelse som er innført for raskere å kunne beregne initiallopet. Utgangsstørrelsene er akselerasjonstiden  $T_{ACC}$  og torpedoens utgangshastighet  $V_o$  (ved passering av formskrogsluken), samt torpedoens marsjhastighet  $V_{TP}$ . Den siste er nøyaktig bestemt og hidrar ikke til feil i torpedoposisjonen. Forutsatt konstant akselerasjon, blir akselerasjonslengden

$$D_{ACC} = \frac{1}{2} (V_o + V_{TP}) T_{ACC} \quad (1.39)$$

Etter en tid  $T$  vil torpedoen, forutsatt at konstant hastighet er nådd, ha utløpt distansen

$$D = \frac{1}{2} (V_o + V_{TP}) T_{ACC} + V_{TP} (T - T_{ACC}) \quad (1.40)$$

Posisjonsfeilens avhengighet av akselerasjonstid og utgangshastighet finnes ved derivasjon av ligning (1.40)

$$\frac{\Delta D}{\Delta T_{ACC}} = \frac{dD}{dT_{ACC}} = -\frac{1}{2} (V_{TP} - V_o) \quad (1.41)$$

$$\frac{\Delta D}{\Delta V_o} = \frac{dD}{dV_o} = \frac{1}{2} T_{ACC} \quad (1.42)$$

I den nedenfor oppførte tabell er angitt tallverdien av posisjonsfeilen for de forskjellige torpedoer.

	MK-37 lav hast	MK-37 høy hast	TP-61
$\frac{\Delta D}{\Delta T_{ACC}}$	0,55 m/s	-1,6 m/s	-8,2 m/s
$\frac{\Delta D}{\Delta V_o}$	8,8 s	5,8 s	4,0 s

Tabell 1.1 Posisjonsfeil for torpedo ved initiallopets slutt

Tabellen viser at det for TP-61 i større grad enn MK-37 er vesentlig å ha et nøyaktig estimat av akselerasjonstiden. Feil i utgangshastigheten bidrar mindre til posisjonsfeil for TP-61 enn MK-37, men er ikke uvesentlig for noen av typene.

Endelig skal bemerkes at betingelsen om konstant akselerasjon sannsynligvis ikke er helt oppfylt i det reelle tilfelle.

#### 1.2.4 Kollisjonspunktstyring

##### 1.2.4.1 Generelt

Kollisjonspunktstyring er en styringsmodus hvor torpedoen styres mot det punkt hvor den vil passere til samme tid som målet, forutsatt at dette har konstant kurs og hastighet.

På grunn av forventet forandring av måldata, beregnes kollisjonskursen med konstante intervaller.

I en nærsone omkring treffpunktet, låsesonen, låses torpedoen, dvs at nye styringsordrer ikke beregnes.

Hvis treffpunktet ligger i en slik posisjon at torpedoen ikke kan nå det på grunn av dens begrensede svingerate, gis den et rettløp en begrenset tid for å komme i en gunstigere angrepssposisjon.

Hvis treffpunktet er imaginært, dvs at torpedoen aldri kan nå målet, gis det automatisk melding til operatøren.

##### 1.2.4.2 Beregning av kollisjonspunkt

Størrelser som inngår i beregningene

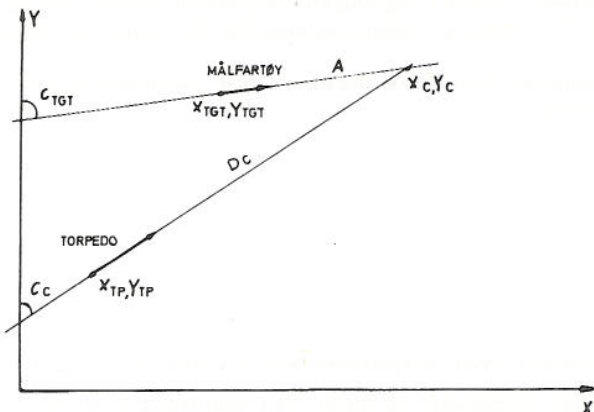
$X_{TGT}, Y_{TGT}$	= Målets koordinater
$C_{TGT}$	= Målets kurs
$V_{TGT}$	= Målets hastighet
$X_{TP}, Y_{TP}$	= Torpedoens koordinater
$V_{TP}$	= Torpedoens hastighet
$C_c$	= Torpedoens kollisjonskurs
$X_c, Y_c$	= Koordinater til treffpunktet
$W$	= Hastighetsforhold mellom mål og torpedo
$A$	= Avstand mellom mål og treffpunkt
$D$	= Avstand mellom torpedo og treffpunkt
$\xi, \eta$	= Koordinatdifferanser mellom mål og torpedo
$T_c$	= Tid til treff

På figur 1.13 er vist en situasjon hvor mål og torpedo går på kollisjonskurs.

Betingelser for treff er

$$\frac{A}{V_{TGT}} = \frac{D_c}{V_{TP}} \quad (1.43)$$

Videre finnes fra figur 1.13



Figur 1.13 Mål og torpedo på kollisjonskurs

$$x_c = x_{TGT} + A \cdot \sin C_{TGT} \quad (1.44)$$

$$y_c = y_{TGT} + A \cdot \cos C_{TGT} \quad (1.45)$$

$$D_c^2 = (x_c - x_{TP})^2 + (y_c - y_{TP})^2 \quad (1.46)$$

Ved å innføre hjelpestørrelsene

$$w = \frac{V_{TGT}}{V_{TP}} \quad (1.47)$$

$$\xi = x_{TGT} - x_{TP} \quad (1.48)$$

$$\eta = y_{TGT} - y_{TP}$$

og eliminere den ukjente størrelse  $A$ , finnes

$$(1-w^2) D_c^2 - 2w D_c (\xi \sin C_{TGT} + \eta \cos C_{TGT}) - (\xi^2 + \eta^2) = 0 \quad (1.50)$$

Ligning (1.50) løses m h p avstanden  $D_c$

$$D_c = \frac{w(\xi \sin C_{TGT} + \eta \cos C_{TGT})}{1-w^2} \pm \sqrt{\left[ \frac{w(\xi \sin C_{TGT} + \eta \cos C_{TGT})}{1-w^2} \right]^2 + \frac{\xi^2 + \eta^2}{1-w^2}} \quad (1.51)$$

For  $w < 1$  gjelder positivt rotfortegn, for  $w > 1$  negativt. For  $w = 1$  finnes fra ligning (1.50)

$$D_c = - \frac{\xi^2 + \eta^2}{2(\xi \sin C_{TGT} + \eta \cos C_{TGT})} \quad (1.52)$$

Hvis avstanden  $D$  blir imaginær eller negativ ut fra ligning (1.51) eller (1.52), indikerer det at torpedoen aldri vil nå målet.

Kollisjonskursen finnes som (se figur 1.13)

$$C_c = \operatorname{arctg} \frac{x_c - x_{TP}}{y_c - y_{TP}} \quad (1.53)$$

Ved eliminasjon av  $x_c$ ,  $y_c$  og  $x_{TP}$ ,  $y_{TP}$  finnes

$$C_c = \operatorname{arctg} \frac{w D_c \sin C_{TGT} + \xi}{w D_c \cos C_{TGT} + \eta} \quad (1.54)$$

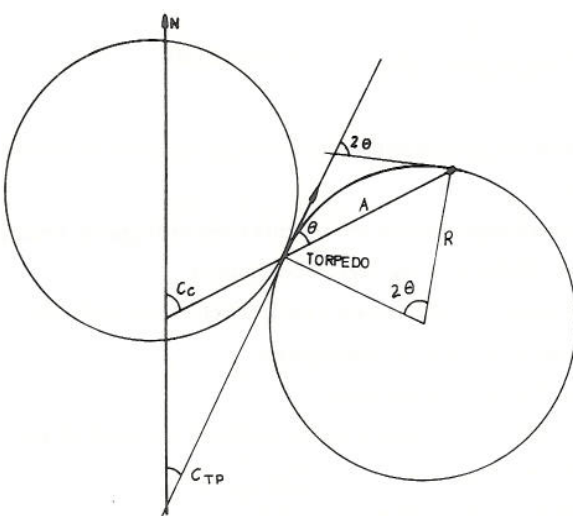
Tid til treff blir

$$T_c = \frac{D_c}{V_{TP}} \quad (1.55)$$

## 1.2.4.3 Posisjonsbegrensning av treffpunktet relativt torpedoen

Størrelser som inngår i beregningene

- $C_{TP}$  = Torpedokurs
- $C_c$  = Kollisjonskurs
- $\theta$  = Kursdifferanse
- $R$  = Krumningsradius av torpedobanen
- $A$  = Kordelengde



Figur 1.14 Illustrasjon av område som torpedo ikke kan nå

også hvis måldata forandrer seg betydelig når torpedoen er kommet nær målet i et tilfelle der den tidligere har ligget på kollisjonskurs.

For å bringe torpedoen i en posisjon slik at den kan nå målet, gis den et rettløp i 30 s etter at en slik situasjon er oppstått.

Grensen for treffpunktets beliggenhet finnes fra figur 1.14

$$\theta = C_c - C_{TP} \quad (1.56)$$

$$A = 2R \sin \theta \quad (1.57)$$

For negativ  $\theta$  benyttes absoluttverdien. Hvis avstanden til treffpunktet er mindre enn  $A$ , vil altså torpedoen gis et rettløp for å komme i en gunstigere posisjon.

Det er her ikke tatt hensyn til at torpedoen egentlig burde være kommet på riktig kurs før den låses, da en sving medfører at siste beregnede kollisjonskurs da ikke lengre er riktig. Men en test av avstanden til treffpunktet mot den nye grenseavstanden, ville da alltid på siste kollisjonskursberegnung før låsing ført til at torpedoen ble bragt i en ny angrepssposisjon.

Det eksisterer et område på hver side av torpedoen som den ikke kan nå på grunn av dens begrensede svingerate. Dette er illustrert som de to sirklene på figur 1.14.

Sirklene angir den bane torpedoen ville ha om den ble styrt med maksimal svingerate. Det betyr at for et treffpunkt som ligger innenfor en av de to sirklene, vil torpedoen gå inn i en sirkelbane inntil treffpunktet eventuelt har flyttet seg utenfor sirkelen.

En slik situasjon vil kunne oppstå idet kollisjonspunktstyring starter like etter initialloppets slutt, men

HEMMELIG

$$\theta_{1,n+1} = \theta_{1,n} - \frac{w \sin \alpha (\sin \theta_{1,n} - \theta_{1,n}) + (w \cos \alpha - 1) \cos \theta_{1,n} + k}{w \sin \alpha (\cos \theta_{1,n} - 1) - (w \cos \alpha - 1) \sin \theta_{1,n}} \quad (1.67)$$

hvor n uttrykker antall iterasjoner. Som utgangsverdi settes  $\theta_{1,1} = \pi/2$ .

Lengden  $A_2$  finnes fra utgangsligningene som

$$A_2 = \frac{2R \sin \theta_1 + R \sin \gamma + A_1 \cos \gamma - w \cos \alpha [R(2\theta_1 + \gamma) + A_1]}{1 - w \cos \alpha} \quad (1.68)$$

Økningen av løpslengden på grunn av manøvren blir

$$\Delta D_c = R(2\theta_1 + \gamma) + A_1 - A_2 \quad (1.69)$$

Tilsvarende økning av løpstid blir

$$\Delta T_c = \frac{\Delta D_c}{V_{TP}} \quad (1.70)$$

Tid for start av 1. og 2. sving blir henholdsvis

$$T_1 = T + \frac{D_c - A_2}{V_{TP}} \quad (1.71)$$

$$T_2 = T_1 + \frac{R\theta_1}{V_{TP}} \quad (1.72)$$

Torpedokurs etter 1. og 2. sving blir henholdsvis

$$C_1 = C_c + \theta_1 \quad (1.73)$$

$$C_2 = C_c - \gamma \quad (1.74)$$

De utviklede ligninger gjelder for alle geometriske konfigurasjoner hvis krumningsradius R og 1. svingevinkel  $\theta_1$  settes negativ når denne er venstresving. Utgangsverdien i iterasjonen blir da  $\theta_{1,1} = -\pi/2$ .

Vinkelen  $\theta_1$  konvergerer til en nøyaktighet på brøkdeler av en grad ved 2 iterasjoner.

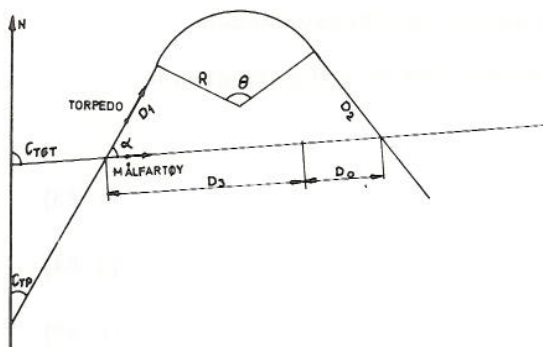
Verdiene av størrelsene  $A_1$  og  $\beta$  er satt til  $A_1 = 400$  m,  $\beta = 60^\circ$ .

#### 1.2.4.5 Tråkling

Størrelser som inngår i beregningene

$C_{TGT}$	= Målets kurs
$V_{TGT}$	= Målets hastighet
$C_{TP}$	= Torpedoens kurs
$V_{TP}$	= Torpedoens hastighet
w	= Hastighetsforhold

$\alpha$	= Angrep svinkel ved forrige målpassering
$\beta$	= Angrep svinkel ved neste målpassering
$\Delta\beta$	= Konstant tillegg ved endring av $\beta$
$\theta$	= Svingevinkel
$D_o$	= Forskyvning av treffpunkt
$D_1$	= Rettløp etter målpassering
$D_2$	= Rettløp før neste passering
$D_3$	= Målets utløpte lengde mellom to torpedopasseringer
$L_{TGT}$	= Mållengde
$R$	= Krumningsradius av torpedobane
$D_{LOCK}$	= Låseavstand
$D_{LIM}$	= Største tillatte manøverlengde
$\Phi_{TGT}$	= Peiling til mål
$T$	= Løpende systemtid
$T_{ENT}$	= Tid for neste beregning av tråklingsmanøver
$T_1, T_2$	= Tider for start av svinger
$C_1, C_2$	= Torpedokurs etter svinger



Figur 1.16 Torpedobane ved tråklings-  
manøver

og torpedoen gis et rettløp i 30 s for å komme i en gunstig posisjon for ny kollisjonspunktstyring. Beregningene for en tråklingsmanøver gjøres idet torpedoen låses opp etter målpassering.

På figur 1.16 er vist torpedobanen ved en tråklingsmanøver.

Av figur 1.16 finnes

$$\alpha = C_{TGT} - C_{TP} \quad (1.75)$$

$$\theta = \alpha + \beta \quad (1.76)$$

Relasjonen mellom målcts og torpedoens løpslengde kan uttrykkes som

$$\frac{D_1 + D_2 + R\theta}{V_{TP}} = \frac{D_3}{V_{TGT}} \quad (1.77)$$

For torpedobanens komponenter parallelt med og normalt på målets kurs blir henholdsvis

$$D_1 \cos \alpha + R \sin \alpha + R \sin \beta + D_2 \cos \beta = D_O + D_3 \quad (1.78)$$

$$D_1 \sin \alpha - R \cos \alpha + R \cos \beta - D_2 \sin \beta = 0 \quad (1.79)$$

Ved innføring av hjelpestørrelsen

$$w = \frac{V_{TGT}}{V_{TP}} \quad (1.80)$$

og eliminering av den ukjente størrelsen  $D_3$ , gir ligningene (1.77) - (1.79)

$$D_1 = \frac{R [(\cos \alpha - \cos \beta)(w - \cos \beta) + \sin \beta (\sin \alpha + \sin \beta - w \theta)] - D_O \sin \beta}{\sin \alpha (w - \cos \beta) + \sin \beta (w - \cos \alpha)} \quad (1.81)$$

$$D_2 = \frac{D_1 \sin \alpha - R(\cos \alpha - \cos \beta)}{\sin \beta} \quad (1.82)$$

Vinkelen  $\beta$  som inngår i ligningene må velges verdi på. Utvelgelsen foregår på en slik måte at visse kriterier må oppfylles. Disse kriterier er:

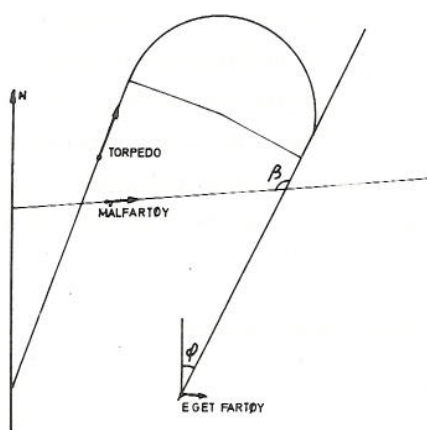
- a) Rettløpene  $D_1$  og  $D_2$  skal begge være større enn låseavstanden
- b) Den totale manøverlengde skal være mindre enn en gitt øvre grense

Matematisk kan dette uttrykkes som

$$D_1 \geq D_{LOCK} \quad (1.83)$$

$$D_2 \geq D_{LOCK} \quad (1.84)$$

$$D_1 + D_2 + R \theta < D_{LIM} \quad (1.85)$$



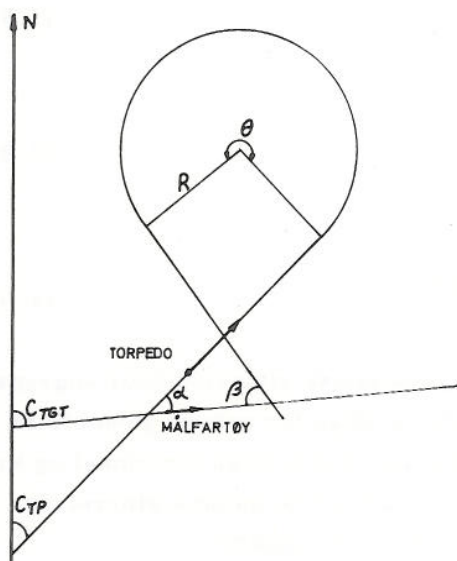
Figur 1.17 Torpedobane ved tråklingsmanøver

torpedoen passerer målet på nytt. Dette ville først ha ført til en tidkrevende iterasjon, og for det andre er forandringen i peiling under normale forhold ganske liten, i størrelsesorden opp til noen få grader, og derfor uten praktisk betydning i denne sammenheng.

Den beste angrepsskursen for torpedoen er når denne faller sammen med peilingen til målet, fordi peileestimatet normalt er bedre enn avstandsestimatet i måldataene. Det beste valg av  $\beta$  vil derfor være avhengig av peilingen til målet. Avhengigheten kan uttrykkes som (se figur 1.17)

$$\beta = \varphi_{TGT} - C_{TGT} + 180^\circ \quad (1.86)$$

Det tas ikke hensyn til at peilingen forandrer seg innen det tidspunkt



Figur 1.18 Torpedobane ved tråklingsmanøver

Nå behøver ikke en sving i samme retning som målets hastighetsvektor være den gunstigste løsning. Ved små hastigheter for målet kan en sving i motsatt retning vise seg å være mer fordelaktig. Bildet blir da som vist på figur 1.18.

Fra figur 1.18 ser en at svingvinkelen  $\theta$  må beregnes forskjellig fra det tidligere tilfelle. I dette tilfelle blir den

$$\theta = 360^\circ - (\alpha + \beta) \quad (1.87)$$

For at uttrykkene for  $D_1$  og  $D_2$  skal gjelde må dessuten både  $R$  og  $\theta$  skifte fortegn.

Den verdi som ble valgt for vinkelen  $\beta$  ifølge ligning (1.86) vil ofte føre til at alle betingelsene uttrykt i ligningene (1.83) - (1.85) ikke oppfylles. Framgangsmåten for å finne en akseptabel løsning av tråklingsmanøvren, er følgende: Begge verdier av svingvinkelen  $\theta$  prøves. Blir resultatet utilfredsstillende (betingelsene (1.83) - (1.85) ikke oppfylt) økes  $\beta$  med en størrelse  $\Delta\beta$  og begge verdier av  $\theta$  prøves.

Neste gang minkes  $\beta$  med størrelsen  $\Delta\beta$  fra utgangsverdien, og begge verdier av  $\theta$  prøves. Så økes  $\beta$  med  $2\Delta\beta$ , minkes med  $2\Delta\beta$ , økes med  $3\Delta\beta$  osv hele tiden med prøving av begge verdier av  $\theta$ . Dette fortsettes inntil  $\beta < 0$  eller  $\beta > 180^\circ$ . Hvis betingelsene (1.83) - (1.85) fortsatt ikke er oppfylt ved et sett av verdier for  $\beta$  og  $\theta$ , betraktes problemet som uten løsning. Ellers vil det første sett verdier av  $\beta$  og  $\theta$  som oppfyller betingelsene, bli valgt som løsning.

Av praktiske grunner deles svingen  $\theta$  i to like store deler. Årsaken er at torpedoen alltid vil svinge korteste vei til den kommanderte kurs. Hvis derfor kommando-kursen ligger mer enn  $180^\circ$  f eks mot venstre fra torpedokursen, vil torpedoen svinge til høyre. Ved å dele  $\theta$  i to like deler, vil hver av delene aldri kunne overskride  $180^\circ$ . Tiden for start av 1.og 2.sving blir henholdsvis (beregningen foretas når torpedoen er i en avstand lik låseavstanden fra første målplassering)

$$T_1 = \frac{D_1 - D_{LOCK}}{V_{TP}} \quad (1.88)$$

$$T_2 = T_1 + \frac{R\theta}{2V_{TP}} \quad (1.89)$$

Torpedokursen etter 1.og 2.sving blir henholdsvis

$$C_1 = C_{TP} + \frac{\theta}{2} \quad (1.90)$$

$$C_2 = C_{TP} + \theta \quad (1.91)$$

Banelengden til treffpunktet blir

$$D_c = D_1 + D_2 + R\theta - D_{LOCK} \quad (1.92)$$

Tid til treff blir

$$T_c = \frac{D_c}{V_{TP}} \quad (1.93)$$

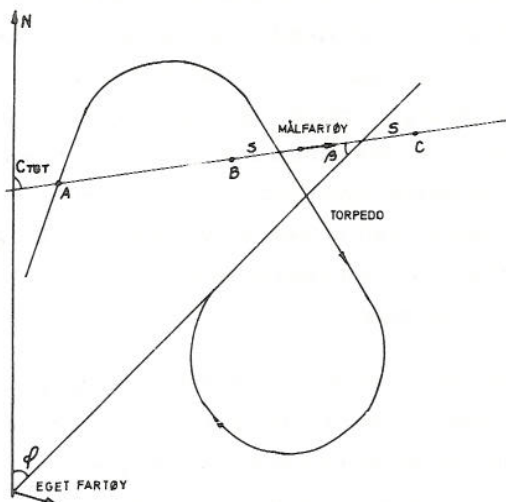
Tid for beregning av ny tråkingsmanøver, blir

$$T_{ENT} = T_1 + \frac{R\theta + D_2 + D_{LOCK}}{V_{TP}} \quad (1.94)$$

Det er i det ovenstående bare betraktet en geometrisk situasjon hvor angrepsvinkelen  $\alpha$  er positiv. Ligningene er imidlertid gyldige for enhver geometrisk situasjon når regelen følges om at høyresving har positivt fortegn for vinkel og krumningsradius, og venstresving har negativt fortegn for de samme størrelser. Imidlertid må utgangsverdien for  $\beta$  forandres, når  $\alpha$  er negativ

$$\beta = \varphi_{TGT} - C_{TGT} - 180^\circ \quad (1.95)$$

Hvis torpedoen har passert målet to ganger uten treff, og det er andre gang tråkingsmanøvren beregnes, blir bildet noe endret fra første gangs beregning.



Figur 1.19 Torpedobane ved tråkingsmanøver

På figur 1.19 er punktene A, B og C målets posisjon ifølge offisielle måldata idet torpedoen krysser målets kurslinje henholdsvis 1., 2. og 3.gang. Første gang krysses målets kurslinje i målets predikerte posisjon, andre gang en avstand  $L_{TGT}$  foran denne og tredje gang en avstand  $L_{TGT}$  bak denne. Ved første gangs beregning ble derfor størrelsen  $D_o$  satt lik  $L_{TGT}$ . Ved andre gangs beregning er torpedoen forskjøvet framover langs målets kurs en avstand  $L_{TGT}$  og skal dessuten passere i denne avstanden bak målet. Derfor fåes

$$D_o = -2L_{TGT} \quad (1.96)$$

Utgangsverdien for  $\beta$  blir også forskjellig ved andre gangs beregning. Fra figur 1.19 fåes

$$\beta = \varphi_{TGT} - C_{TGT} \quad (1.97)$$

Etter tredje passering av målets kurslinje skal torpedoen hvis den bommet, ikke foreta ny tråkingsmanøver før den har vært gjennom ny kollisjonspunktstyring.

Det er som ellers tillatt med overgang til manuell styring.

## 1.2.5 Siktelinjestyring

### 1.2.5.1 Generelt

Størrelser som inngår i beregningene

$X_{os}$ , $Y_{os}$	= Eget fartøys koordinater
$X_{TP}$ , $Y_{TP}$	= Torpedoens koordinater
$V_{TP}$	= Torpedoens hastighet
$C$	= Kommandert kurs for torpedo
$C_{CORR}$	= Kurskorreksjon
$\varphi_{TGT}$	= Peiling til mål
$\varphi_{TP}$	= Peiling til torpedo
$\alpha$	= Ukorrigert vinkeldifferanse mellom torpedokurs og siktelinje
$D_{TP}$	= Avstand til torpedo
$A$	= Torpedoens avstand fra siktelinjen
$R$	= Krumningsradius av torpedobanen
$\delta$	= Torpedoens svingevinkel i et tidsintervall $\Delta T$
$\omega$	= Torpedoens svingerate
$K_1, K_2$	= Konstanter

Siktelinjestyring har sin store fordel i engasjementssituasjoner hvor avstandsestimatet i måldataene er usikkert mens peilingen er nøyaktig. Denne styringsmodus baseres kun på peilingsdata.

Siktelinjestyringen har to modi: Utover og innover på siktelinje.

Prinsippet for siktelinjestyring er at torpedoen til enhver tid befinner seg på siktelinjen fra eget fartøy til mål. Dette innebærer at torpedoens hovedkurs skal være den samme som peilingen for modus utover på siktelinje og  $180^\circ$  forskjellig fra peilingen for modus innover på siktelinje. Befinner torpedoen seg utenfor siktelinjen, skal den gå korteste vei inn på den og ende opp med en kurs lik hovedkursen. Det innebærer at en sving inn på riktig kurs skal foregå med maksimal svingerate.

### 1.2.5.2 Utover på siktelinje

Figur 1.20 gir en illustrasjon av torpedobanen fra et vilkårlig punkt og inn på siktelinjen.

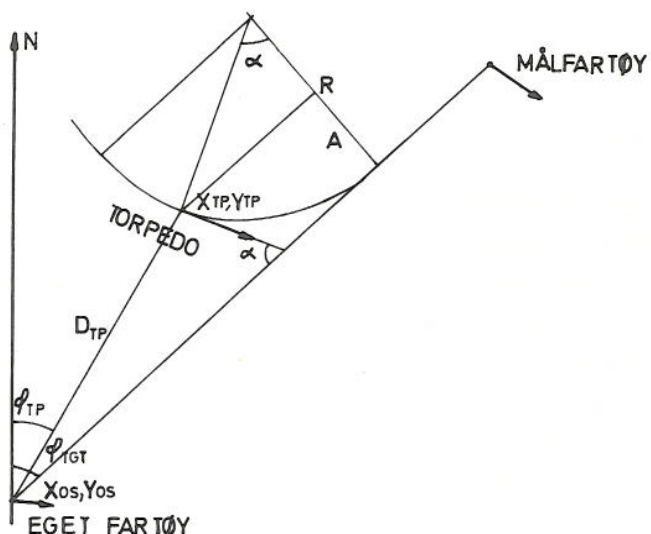
Fra figur 1.20 finnes for peilingen til torpedoen

$$\varphi_{TP} = \arctg \frac{X_{TP} - X_{os}}{Y_{TP} - Y_{os}} \quad (1.98)$$

Avstanden til torpedoen er

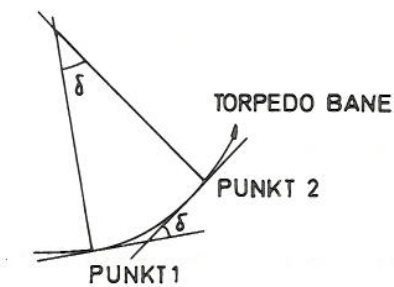
$$D_{TP} = \sqrt{(X_{TP} - X_{os})^2 + (Y_{TP} - Y_{os})^2} \quad (1.99)$$

Avstanden fra siktelinjen er



Figur 1.20 Torpedoløp inn på siktelinje

Den beregnede vinkel  $\alpha$  gjelder for det tidspunkt beregningen foretas. Før en ny kurskommando er effektuert, vil det ha gått en tid tilsvarende intervallet mellom hver kursberegning. Denne tid tilsvarer en vinkel  $\delta$  ved full svingerate. Dette er illustrert på figur 1.21.



Figur 1.21 Torpedobane mellom to beregningspunkter

Normalt beveger siktelinjen seg på grunn av målets og eget fartøys bevegelser. En kurskommando beregnet på grunnlag av  $\alpha$ ,  $\delta$  og  $\varphi_{TGT}$  vil da føre til at torpedoen aldri rekker fram til siktelinjen, fordi denne har flyttet seg fra den posisjon som dannet grunnlaget for beregningen. For å kompensere for dette, føres inn en tilbakekopling til torpedokursen med integralvirkning. Inngangen til integralregulatoren er en funksjon av torpedoens relative avstand  $A/R$  fra siktelinjen. Den relative avstand er valgt istedenfor den absolutte for å gjøre forholdene mer ensartet for de to torpedotyper.

Det vil være naturlig å velge til inngang på regulatoren en funksjon som er proporsjonal med  $A/R$ . På den annen side bør funksjonsverdien være liten i store avstander fra siktelinjen, da den ellers vil forårsake store oversving for en torpedo som kommer fra en posisjon langt fra siktelinjen. At funksjonen er liten ved større avstander fra siktelinjen vil dessuten ikke være ugunstig for kursberegningen, da vinkelen  $\alpha$  her har en høy verdi. En total utkoppling av regulatoren ved større avstander (men mindre enn  $R$ ) fra siktelinjen kan derimot føre til at spesielt den relativt

$$A = D_{TP} \sin(\varphi_{TGT} - \varphi_{TP}) \quad (1.100)$$

Differansen mellom ønsket torpedokurs (i tilfelle siktelinjen ikke endrer posisjon) og peiling er

$$\alpha = \arccos\left(1 - \frac{A}{R}\right) \text{ for } A \leq R \quad (1.101)$$

Hvis avstanden fra siktelinjen er større enn torpedobanens krumningsradius (ved maksimum svingerate), skal torpedoen gå normalt på siktelinjen, altså

$$\alpha = 90^\circ \text{ for } A > R$$

$$(1.102)$$

Kursdifferansen mellom to beregningspunkter ved maksimal svingerate er

$$\delta = \frac{V_{TP} \cdot \Delta T}{R} = \omega \Delta T \quad (1.103)$$

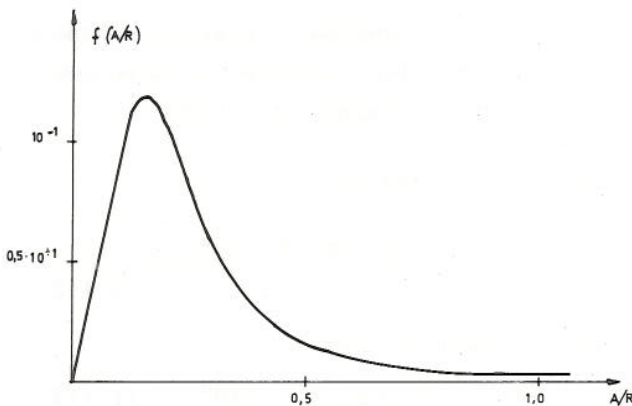
Differansen mellom  $\alpha$  og  $\delta$  må ikke bli negativ, da det ville føre til at torpedoen ble kommandert ut fra siktelinjen igjen.

Normalt beveger siktelinjen seg på grunn av målets og eget fartøys bevegelser. En kurskommando beregnet på grunnlag av  $\alpha$ ,  $\delta$  og

langsommigående MK-37 ikke rekker inn på siktelinjen når denne beveger seg relativt fort. De momenter som danner grunnlag for valg av funksjon, er at oversvinget skal holdes så lavt som mulig, samtidig som reguleringen skal være proporsjonalt voksende med avstanden fra siktelinjen når denne er relativt liten. Dette betyr en funksjon med nær konstant og tilstrekkelig stor vinkelkoeffisient ved små avstander og med liten integralverdi i området fra 0 til R. Følgende funksjon oppfyller disse krav

$$f(A/R) = \frac{A/R}{1 + K_2 (A/R)^4} \quad (1.104)$$

Integralverdien kan justeres ved hjelp av konstanten  $K_2$ . Funksjonen er framstilt grafisk i figur 1.22 med  $K_2 = 500$ .



Figur 1.22 Grafisk framstilling av funksjonen  $f(A/R)$

Kurskorreksjonen som følge av integralregulatoren er

$$C_{CORR} = K_1 \sum_{i=1}^n \frac{A/R}{1 + K_2 (A/R)^4} \quad (1.105)$$

Begrensning på korreksjonsvinkelen er

$$|C_{CORR}| \leq 90^\circ \quad (1.106)$$

Den kommanderte kurs til torpedoen blir

$$C = \varphi_{TGT} + \alpha - \delta + C_{CORR} \quad (1.107)$$

Begrensning på kommandert kurs er

$$\varphi_{TGT} - 90^\circ \leq C \leq \varphi_{TGT} + 90^\circ \quad (1.108)$$

Ligger den beregnede C utenfor disse grensene, settes den til

$$C = \varphi_{TGT} - 90^\circ \quad \text{for } \varphi_{TP} > \varphi_{TGT} \quad (1.109)$$

$$C = \varphi_{TGT} + 90^\circ \quad \text{for } \varphi_{TP} < \varphi_{TGT} \quad (1.110)$$

Hvis torpedokursen avviker mer enn  $90^\circ$  fra hovedkursen  $\varphi_{TGT}$  gis torpedoen kommandokursen

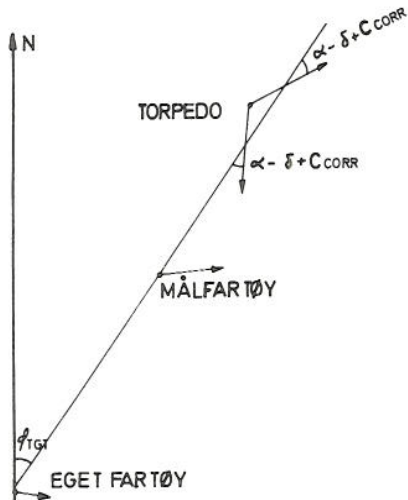
$$C = \varphi_{TGT}$$

$$(1.111)$$

Ved dette vil en torpedo som skytes ut i retning fra målet forhindres fra å styre inn på den forlengede siktelinje, slik at eget fartøy kommer mellom torpedoen og målet og dermed kan bli truffet. Samtidig vil det sikre at torpedoen vender om ved skifting fra styringsmodus innover til utover på siktelinje.

De utviklede ligninger gjelder ved alle geometriske situasjoner. Befinner torpedoen seg til høyre for siktelinjen, må avstanden A regnes negativ i følge ligning (1.100). Integralet i ligning (1.105) blir da også negativt.

#### 1.2.5.3 Innover på siktelinje



**Figur 1.23 Modifisering av kommandert torpedokurs ved modus innover på siktelinje**

For styringsmodus innover på siktelinje kan den kommanderte torpedokurs beregnet ved modus utover på siktelinjen modifiseres på en enkel måte. Dette er vist på figur 1.23.

Fra figur 2.23 ser en

$$C = 180^\circ + \varphi_{TGT} - (\alpha - \delta + C_{CORR}) \quad (1.112)$$

Begrensningen blir her

$$\varphi_{TGT} + 90^\circ \leq C \leq \varphi_{TGT} + 270^\circ \quad (1.113)$$

Hvis torpedokursen avviker mer enn  $90^\circ$  fra hovedkursen  $\varphi_{TGT} + 180^\circ$ , gis torpedoen kommandokursen

$$C = \varphi_{TGT} + 180^\circ \quad (1.114)$$

Dette vil sikre at torpedoen vender om ved skifting fra styringsmodus utover til innover på siktelinje.

#### 1.2.6 Salveskyting

##### 1.2.6.1 Generelt

Ved å skyte flere torpedoer i en salve søker en å øke sannsynligheten for treff. Maksimalt antall torpedoer i en salve er 3 stk av type TP-61. Type MK-37 kan bare skytes enkeltvis.

Ved flere torpedoer i salven, styres torpedoene individuelt mot hvert sitt fiktive mål. Disse fiktive mål legges på en slik måte i forhold til det offisielle mål, at sannsynligheten for treff av minst en torpedo i salven er maksimal.

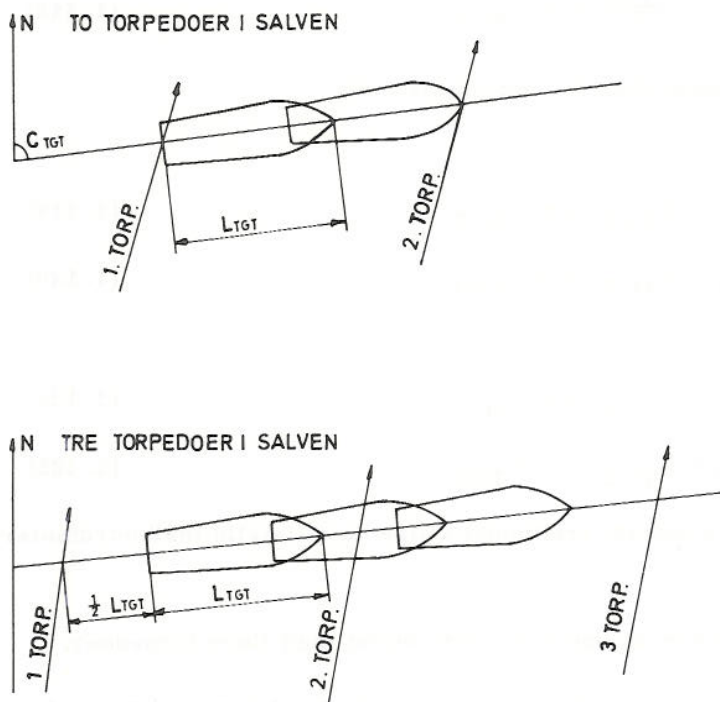
## 1. 2. 6. 2 Kollisjonspunktstyring

Størrelser som inngår i beregningene

$X_{TGT}, Y_{TGT}$	= Målets koordinater
$X'_{TGT}, Y'_{TGT}$	= Fiktivt måls koordinater
$C_{TGT}$	= Målets kurs
$L_{TGT}$	= Målets lengde

For å oppnå maksimal sannsynlighet for treff ved kollisjonspunktstyring av en salve, bør torpedoene spres slik at de til sammen dekker størst mulig område samtidig som det ikke gis mulighet for målet til å komme mellom to torpedoer uten at noen av dem treffer.

Denne betingelse oppfylles ved å spre torpedoene slik at de ved passering av målet har en avstand langs målets kurslinje lik en mållengde modifisert med produktet av målets hastighet og tiden mellom to torpedopasseringer av målets kurslinje. Dette er illustrert på figur 1.24.



Figur 1.24 Salvespredning ved kollisjonspunktstyring

For en salve med to torpedoer innebærer dette at 1. torpedo skytes en halv mållengdes avstand bak midten av målet og 2. torpedo samme avstand foran midten.

For en salve med tre torpedoer, skytes 1. torpedo en hel mållengdes avstand bak midten av målet, 2. torpedo mot midten av målet og 3. torpedo en mållengdes avstand foran midten.

Det framgår av figur 1.24 at på grunn av målets bevegelse vil ikke den momen-

tane avstand mellom torpedoene langs målets kurslinje være en mållengde, da de når fram til målet til forskjellig tid. Dette bevirker også at en oppnår større geografisk spredning av torpedoene ved å skyte den første bak målet og den siste foran målet istedenfor omvendt rekkefølge.

Den ønskede spredning oppnås altså ved å skyte mot et fiktivt mål forskjøvet i forhold til det offisielle målet.

For en salve med to torpedoer fåes for det fiktive mål:

1 torpedo

$$X'_{TGT} = X_{TGT} - \frac{L_{TGT}}{2} \sin C_{TGT} \quad (1.115)$$

$$Y'_{TGT} = Y_{TGT} - \frac{L_{TGT}}{2} \cos C_{TGT} \quad (1.116)$$

2 torpedo

$$X'_{TGT} = X_{TGT} + \frac{L_{TGT}}{2} \sin C_{TGT} \quad (1.117)$$

$$Y'_{TGT} = Y_{TGT} + \frac{L_{TGT}}{2} \cos C_{TGT} \quad (1.118)$$

For en salve med tre torpedoer fåes for det fiktive mål:

1 torpedo

$$X'_{TGT} = X_{TGT} - L_{TGT} \cdot \sin C_{TGT} \quad (1.119)$$

$$Y'_{TGT} = Y_{TGT} - L_{TGT} \cdot \cos C_{TGT} \quad (1.120)$$

3 torpedo

$$X'_{TGT} = X_{TGT} + L_{TGT} \cdot \sin C_{TGT} \quad (1.121)$$

$$Y'_{TGT} = Y_{TGT} + L_{TGT} \cdot \cos C_{TGT} \quad (1.122)$$

2 torpedo skytes mot det predikerte treffpunkt ifølge de offisielle målkoordinater  $X_{TGT}$ ,  $Y_{TGT}$ .

Ved å redusere spredningen kan en oppnå å treffe målet med flere torpedoer.

Salvespredningen innebærer ingen modifikasjoner for de predeterminerte løp for bedring av angrepssinkel og tråkling, da målkoordinatene ikke benyttes, i disse beregningene. Angående tråkling med salver er dog forholdene ikke optimale da det er den samme størrelse  $L_{TGT}$  som benyttes som sprededata. Dette forårsaker at ved senere passeringer av målet vil noen torpedoer passere i samme avstand fra det, som andre torpedoer har gjort tidligere.

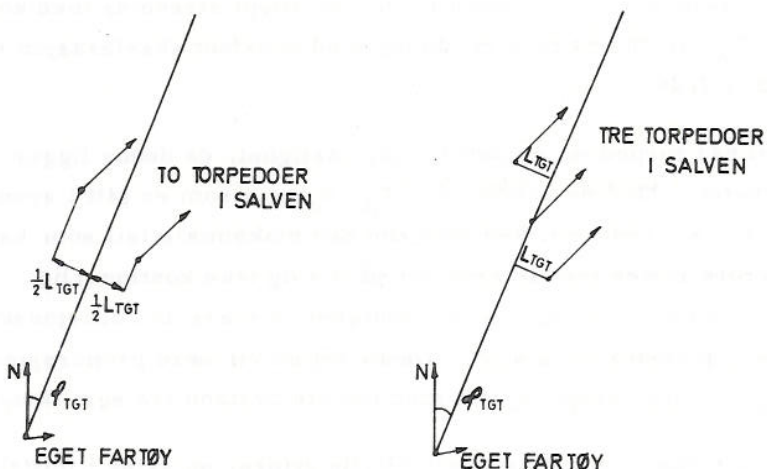
#### 1.2.6.3 Siktelinjestyring

Størrelser som inngår i beregningene

A = Torpedoens avstand fra siktelinjen

$A'$  = Torpedoens avstand fra fiktiv siktelinje  
 $L_{TGT}$  = Sprededata

Ved siktelinjestyring er prinsipielt andre måldata enn peilingen ukjente. Torpedoene kan derfor ikke spres langs målets kurslinje, men spres i retning normalt på siktelinjen. Dette betyr at yttertorpedoene ligger på fiktive siktelinjer forskjøvet i hver sin retning fra den offisielle siktelinje. Til regel innføres at første torpedo i salven går til venstre og siste torpedo til høyre for den offisielle siktelinje. Figur 1.25 viser spredningen av torpedoene.



Figur 1.25 Salvespredning ved siktelinjestyring

Den ønskede spredning oppnås ved å modifisere avstanden  $A$  til siktelinjen, som danner grunnlaget for beregning av kurskommando til torpedoen (avsnitt 1.2.5).

For en salve med to torpedoer fåes:

1 torpedo

$$A' = A - \frac{L_{TGT}}{2} \quad (1.123)$$

2 torpedo

$$A' = A + \frac{L_{TGT}}{2} \quad (1.124)$$

For en salve med tre torpedoer fåes:

1 torpedo

$$A' = A - L_{TGT} \quad (1.125)$$

3 torpedo

$$A' = A + L_{TGT} \quad (1.126)$$

2 torpedo styres på den offisielle siktelinje.

1.3 Forslag til endringer

Beregningene for presetting av gyro i MK-37 er gjort meget nøyaktige sett på bakgrunn av det forhold at torpedoen er heimende. En meget enklere løsning er å foreta en kollisjonskursberegnning uten hensyn til akselerasjonsfase og sving i initialløpet. I det følgende er gitt et overslag over den feil som gjøres ved en slik forenkling.

Ved ikke å ta hensyn til akselerasjonsfasen innføres en feil som er meget liten, da utgangshastigheten for MK-37 ligger forholdsvis nær marsjhastigheten både for høy og lav hastighet. Forskjellen mellom tiden  $T_v$  for en utløpt strekning med konstant hastighet  $v$  og tiden  $T_A$  for den samme strekning med konstant akselerasjon fra  $v_0$  til  $v$  vil være  $T_A \cdot (v - v_0) / 2v$ .

Forskjellen vil bli størst når torpedoen er satt til høy hastighet, da denne ligger lengst fra utgangshastigheten. Med de verdier for  $T_A$ ,  $v_0$  og  $v$  som er gitt i avsnitt 2, finnes forskjellen til 1,5 s. Dette er ikke mer enn den maksimale feil som kan oppstå på grunn av at gyroen settes med intervaller på 3 s og ikke kontinuerlig. Betraktes et mål i en avstand av 2 km og med en hastighet på tvers av kollisjonskurven på 10 m/s, vil feilen i gyrovinkel bli  $0,4^\circ$ . Denne feilen vil være proporsjonal med målets hastighet og omvendt proporsjonal med målets avstand fra eget fartøy.

Ved ikke å ta hensyn til at torpedoen i et generelt tilfelle utfører en sving i initialløpet, unngåes iterasjonen av gyrovinkelen. Feilen som innføres vil ved større gyrovinkler være mer betydelig enn den feilen som skyldes akselerasjonen. For det første vil torpedoen ende opp i en posisjon utenfor kollisjonskurslinjen fra eget fartøy, og for det andre vil løpet bli lengre. For en sving på  $90^\circ$  vil den siste gangforskjellen være  $R(\pi/2 - 1)$  hvor  $R$  er torpedobanens krumningsradius i initialløpet. Tidsforskjellen vil være  $R(\pi/2-1)/V_{TP}$  hvor det for enkelhets skyld regnes konstant hastighet. Med verdier for  $R$  og  $V_{TP}$  angitt i avsnitt 1.1.1, vil tidsforskjellen bli 2,7 s når torpedoen er satt til høy hastighet (ugunstigste tilfelle). Antatt samme målhastighet som tidligere, 10 m/s, vil målets posisjon tilsvarende ha forandret seg med 27 m. Med en målavstand på 2 km vil feilen i gyrovinkel bli  $0,8^\circ$ .

Den andre faktoren er at torpedoen er kommet ut i en posisjon en avstand  $R$  fra kollisjonskurslinjen fra eget fartøy (forutsatt sving på  $90^\circ$ ). Feilen i gyrovinkel som denne faktor bevirker blir  $1,7^\circ$  med samme målavstand som tidligere. Men denne feilen kan virke både i samme retning som i motsatt retning av feilen på  $0,8^\circ$  på grunn av gangforskjellen. Maksimal blir feilen når de virker i samme retning, nemlig  $0,8^\circ + 1,7^\circ = 2,5^\circ$ . Det understrekkes at denne feilen er kraftig avtakende med gyrovinkelen. Den er også selvsagt omvendt proporsjonal med avstanden til målet, og første ledd dessuten proporsjonal med målets hastighet.

Ingen av disse forenklinger vil føre til feil i torpedobestikket, da det oppdateres til endepunktet av initialløpet ved en forskjellig prosedyre.

Ved bedring av angrepssvinkelen under kollisjonspunktstyring, er det valgt en fast ny angrepssvinkel på  $60^\circ$ . Det kunne her være gunstig å velge en angrepssvinkel slik at torpedoens kurs ved angrepstid lå nærmest peilingen til målet hvis denne var større

enn 20°. Den benyttede peiling måtte da være den som gjaldt i det øyeblikk beregningen ble foretatt og ikke den som gjaldt ved treff, da dette ville føre til en tidkrevende iterasjon.

Ved tråkling går en ut fra at den vanlige låsesonen gjelder ved 2. og 3. gangs passering av målet. Låsesonen her er ikke av samme betydning som ved 1. passering hvor den før passering har til hensikt å forebygge kraftige kurskorrekksjoner for torpedoen. Tråklingen er en predeterminert manøver som ikke henter inn nye måldata i perioden før låsing ved 2. og 3. passering og torpedoen kommanderte kurs påvirkes derfor ikke av eventuelle variasjoner i måldataene. Låsesonen har dog en viss berettigelse ved å ta seg av usikkerheter i avstandsestimatet (dette gjelder også låsesonen etter 1 målpassering). På en annen side vil en unngåelse av låsing ved 2. og 3. målpassering utvide det område av angrepssvinkelen  $\beta$  som gir løsning av problemet hvis en beholder samme øvre grense for total manøverlengde. Dette betyr igjen at torpedokursen generelt vil ligge nærmere peilingen ved målpasseringene, noe som ansees gunstig.

Det er tidligere påpekt at ved tråkling av salver vil en torpedo ved 2. og 3. målpassering passere i samme avstand fra målet som en annen torpedo har passert tidligere. Dette fordi det er den samme spredningsavstand som brukes ved salvespredning og tråkling, nemlig målets lengde. Det ville her være gunstig å kunne benytte en annen salvespredning hvis salven skal gjennom en tråklingsmanøver.

## 2

### FLOWCHARTS OG LISTING FOR TORPEDOPROGRAMMENE

#### 2.1

##### Generelt

Kommunikasjonen mellom torpedostyringsprogrammene og det øvrige system foregår via salve- og rørfiler. Videre er måldataene samlet i måldatafiler, og hvert enkelt av eget fartøys data ligger som globale variable i systemet.

Torpedørrene er nummerert fra 0 til 7. Nummeret til den aktuelle torpedo som styringskommando skal beregnes for, gis via et computerregister (x-reg). Til rutinen som presetter gyro i MK-37 gis rørfile-adressen i dette register.

I maskinhukommelsen er avsatt stack for lokale variable for å spare plass i hukommelsen. Ved begynnelsen av en rutine utvides denne med så mange plasser som kreves for de variable under beregningene. Før uthopp fra rutinen minskes stacken med det samme antall plasser. Adressen til den aktuelle salvefile gis i siste ord i stacken før kall av styringsrutinen.

Systemet er konstruert for å kunne behandle opptil to salver og to mål. Høyeste antall torpedoer i en salve er tre TP-61 eller en MK-37.

Oppbygningen av salve-, rør- og måldata-filer er beskrevet i Ottar Ramfjords dokumentasjon av hele torpedosystemet. Her skal bare gis en oversikt over de elementer i filene som benyttes av torpedostyringsprogrammene.

2. 2 Salvefile

Labels for de to salvefilene er

GBBA = Salve 1

GBCA = Salve 2

I beskrivelse av filene angir tallene antall adresser fra første element i vedkommende file.

GBBA (GBCA)

2 Adresse til måldatafile

3 Mållengde (enhet m)

4 1. valgte rør

5 2. valgte rør

6 3. valgte rør

7 Modevelgerstatus

Kode 0 Ustyrt

Kode 1 Kollisjonspunktstyring

Kode 2 Siktelinjestyring utover

Kode 3 Siktelinjestyring innover

Kode 4 Manuell styring

2. 3 Torpedofile

Filene til de forskjellige torpedorør følger etter hverandre i samme rekkefølge som nummereringen av de enkelte rør. Første element i rørfile nr 0 har label GBDA.

Antall elementer i hver enkelt file er gitt i den globale variable GBAD.

GBDA

0 Torpedotype

Kode 0 TP-61 krigstorpedo

Kode 1 TP-61 øvelsestorpedo

Kode 2 MK-37 krigstorpedo

Kode 3 MK-37 øvelsestorpedo

1 Torpedo tilstand

Kode 1 Kollisjonspunktstyring

Kode 2 Siktelinjestyring

Kode 3 Ustyrt

Kode 4 Bedring av angrep svinkel

Kode 5 Manuell styring

Kode 6 Låsefase

Kode 7 Tråkling

Kode 8 Terminering

2 Bitmaske

- Bit 15 = 1 Torpedobestikk initiert  
Bit 10 = 1 Start av siktelinjestyring
- 9 Intern løphistorie  
Angir antall ganger målet er passert i en tråklingsmanøver.  
Resettes etter endt tråkling.
- 10 Torpedo X-koordinat (enhet m, floating point)  
13 Torpedo Y-koordinat (enhet m, floating point)  
22 Torpedo hastighet (enhet  $2^{-10}$  m/s)  
23 Torpedo kurs (enhet  $2^{-14} \cdot \pi$  rad)  
24 Kurskommando (enhet  $2^{-14} \cdot \pi$  rad)  
26 Tid til treff (enhet 1/10 s)  
27 Avstand fra torpedo til kollisjonspunkt (enhet m)  
28 Tid for neste aktivering av styringsrutine (enhet 1/10 s, dobbeltord)  
30 Adresse til neste styringsrutine  
31 Løphistorie, angir totalt antall ganger torpedo har passert målet  
33 Torpedokurs etter 1 sving av et predeterminert løp (enhet  $2^{-14} \cdot \pi$  rad)  
34 Tid for start av 1.sving (enhet 1/10 s, dobbeltord)  
36 Torpedo kurs etter 2 sving av et predeterminert løpt (enhet  $2^{-14} \cdot \pi$  rad)  
37 Tid for start av 2.sving (enhet 1/10 s, dobbeltord)  
39 Integral av modifisert avstand mellom torpedo og siktelinje  
40 Tillegg i løpslengden til treffpunktet p g a manøver for bedring av angrepssvinkel  
41 Tillegg i trefftid p g a manøver for bedring av angrepssvinkelen (enhet 1/10 s)  
42 Modevelgerstatus ved forrige beregning av kurskommando

#### 2.4 Måldatafile

De måldata som benyttes i torpedostyringen er arrangert på følgende måte fra den adresse som er oppgitt i salvefilene:

- 1 Avstand til mål (enhet m)
- 2 Peiling til mål (enhet  $2^{-14} \cdot \pi$  rad)
- 3 Målets kurs (enhet  $2^{-14} \cdot \pi$  rad)
- 4 Målets hastighet (enhet  $2^{-4}$  m)
- 11 Målets x-koordinat (enhet m, floating point)
- 14 Målets hastighet y-komponent (enhet m/s, floating point)
- 17 Målets x-koordinat (enhet m, floating point)
- 20 Målets hastighet y-komponent (enhet m/s, floating point)

#### 2.5 Eget fartøys data

Eget fartøys data inneholder i følgende globale variable:

EAAX	X-koordinat (enhet m, floating point)
EAAY	Y-koordinat (enhet m, floating point)
EABX	Hastighetens X-komponent (enhet m/s, floating point)
EABY	Hastighetens Y-komponent (enhet m/s, floating point)
EABC	Kurs (enhet $2^{-14} \cdot \pi$ rad)
EABV	Hastighet (enhet $2^{-10}$ m/s)

2. 6 Systemtid

Løpende systemtid inneholdes i den globale variable CAAR hvor enheten er 1/10 s og den variable er et dobbeltord hvor labelen representerer minst signifikante del.

2. 7 Interruptblokering

Følgende funksjon benyttes for å hindre interrupt i deler av rutinene hvor interrupt ikke er ønskelig:

CAAS	Ved å inkrementere denne funksjon, vil en unngå interrupt med hensyn til programmet
CAAT	Denne funksjon resetter CAAS slik at en interrupt får normale konsekvenser

2. 8 Libraryrutiner

Følgende subrutiner benyttes i torpedostyringsprogrammene:

DABA	Beregning av sinus
DACA	Beregning av cosinus
DAEA	Beregning av arcsinus
DAFA	Beregning av arctangens
DAGA	Beregning av kvadratrot

2. 9 Øvrige globalvariable

Øvrige globale variable inngår i torpedostyringsprogrammene:

GBAE	Predikert tid i initiallopet (enhet 1/10 s).
GBAF	Direkte avstand mellom start- og endepunkt av initiallopet.
GBAG	Peiling til predikert endepunkt av initiallopet relativt eget fartøys kurs.
GBAH	Gyrovinkel.
GBAJ	Eget fartøys kurs ved gyrosetting. Bit 15 benyttes dessuten som indikator på at enabling distance er nådd (bit 15 = 1).
GBAK	Torpedokurs for enabling distance hvis kollisjonskurven ligger i den forbudte sektor for MK-37. Bit 15 = 1 indikerer at kollisjonskurven ligger i den legale sektor.

GBAM Kontrollord som bestemmer hvor ofte det eventuelt skal beregnes manøver for å bedre angrepssvinkelen under kollisjonspunktstyring.

2.10 Torpedostyringsprogram

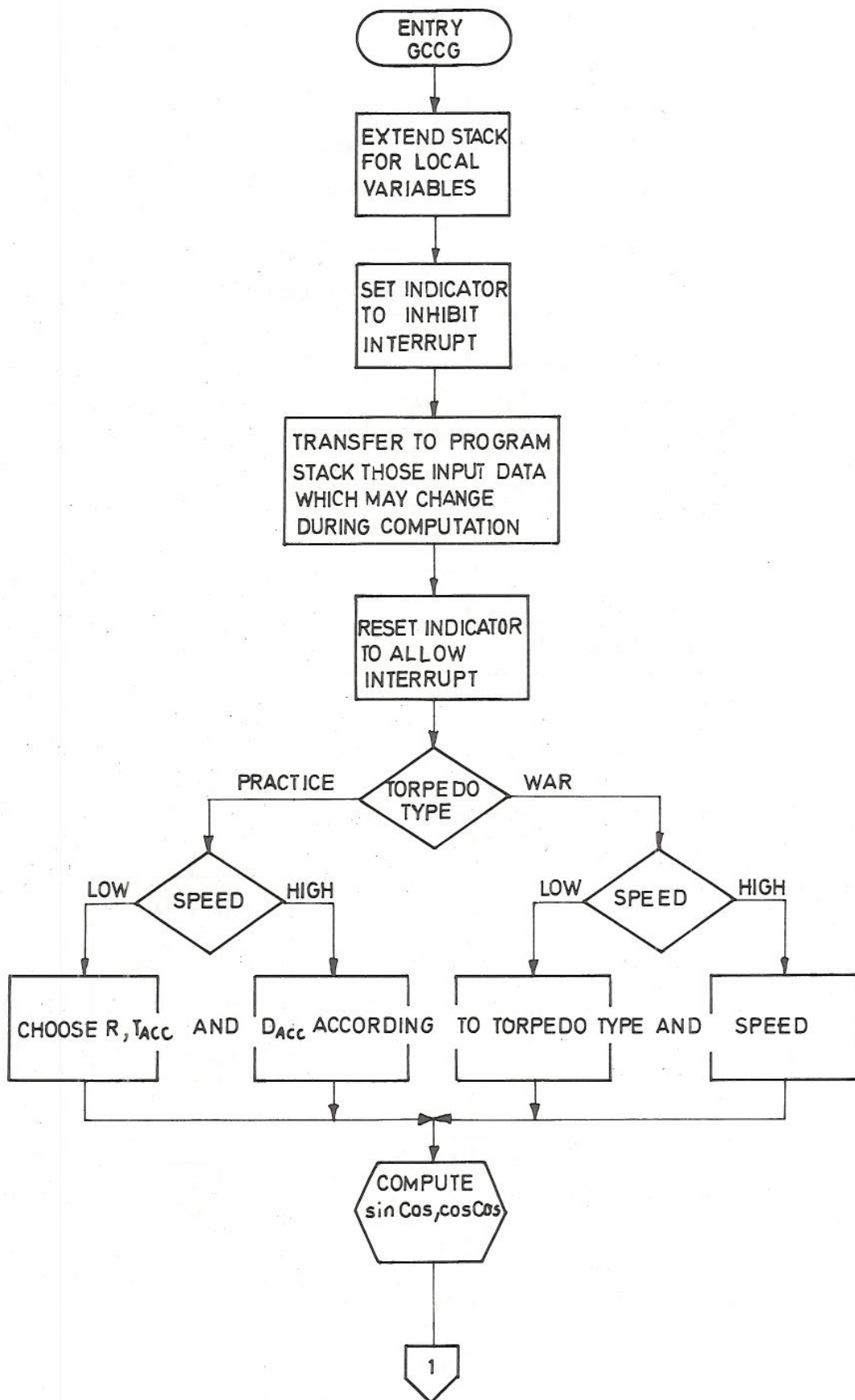
GCCG	Prediktering av initialløp for MK-37 torpedo og setting av gyro
GCDB	Oppdatering av MK-37 torpedo til initialløpets endepunkt
GCDD	Oppdatering av TP-61 til initialløpets endepunkt
GCGA	Kollisjonspunktstyring
GCGB	Forbedring av angrepssvinkel
GCGC	Tråkling
GCGD	Siktelinjestyring
GCGF	Beregning av kollisjonspunkt (subroutine til GCCG og GCGA)

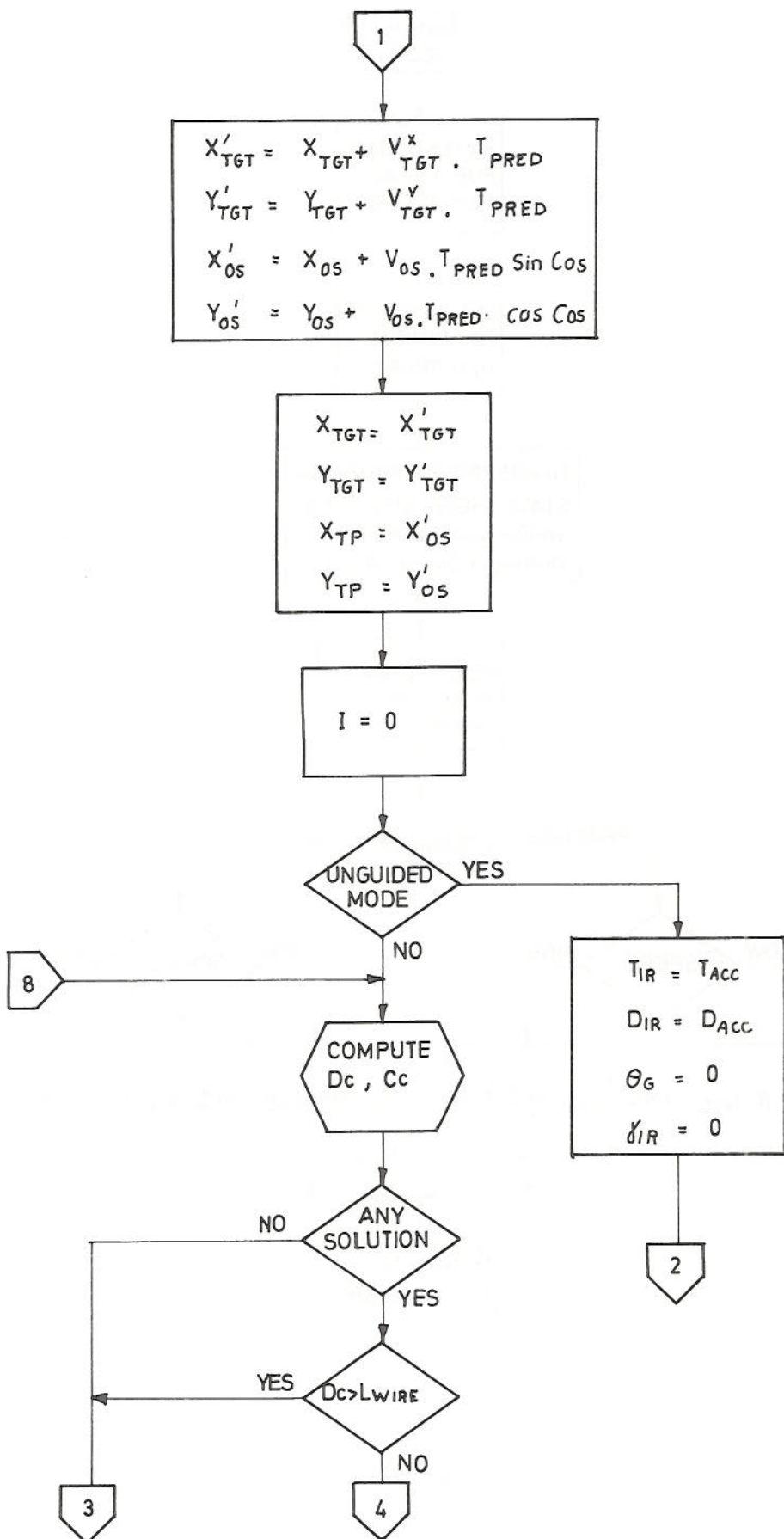
APPENDIX

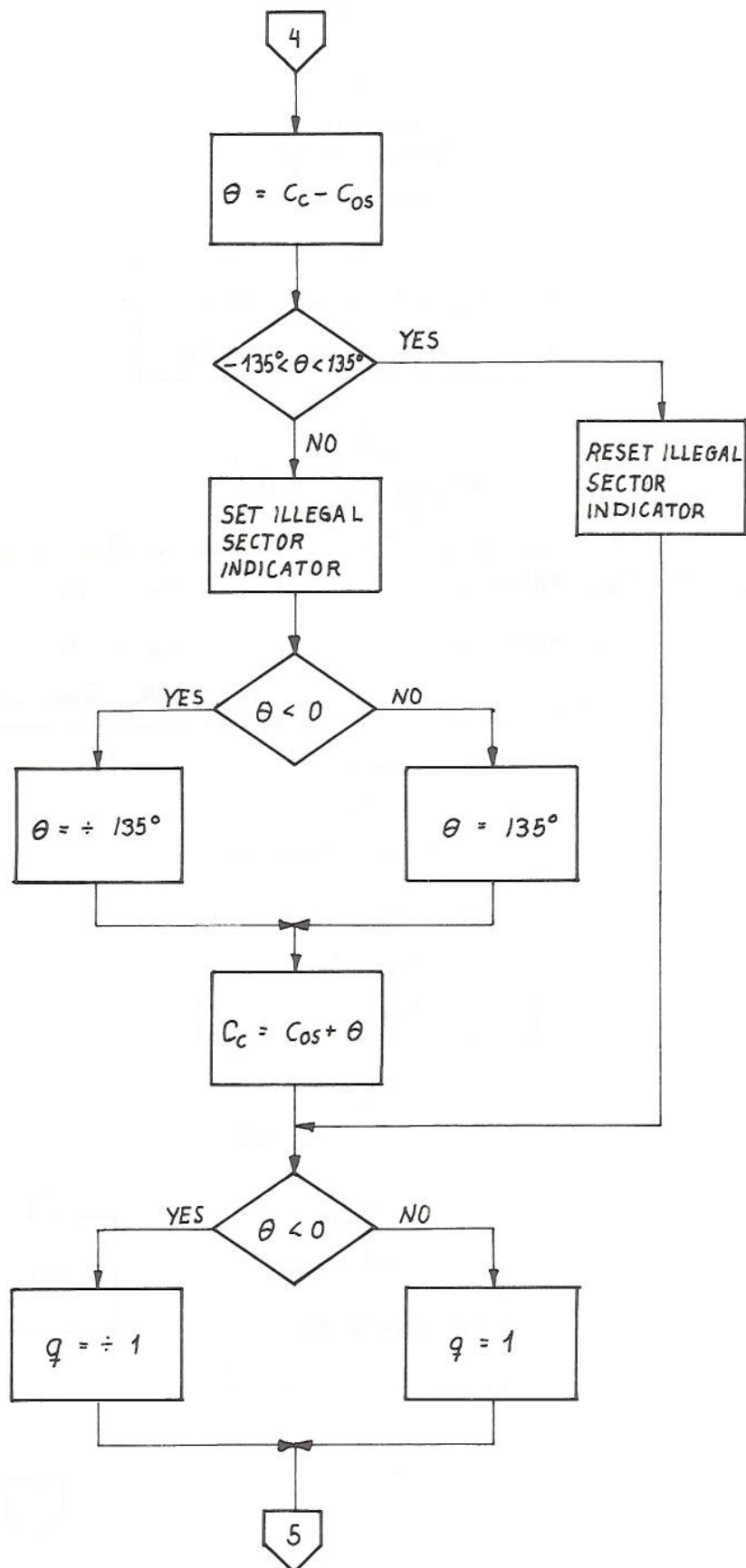
FLOW CHARTS

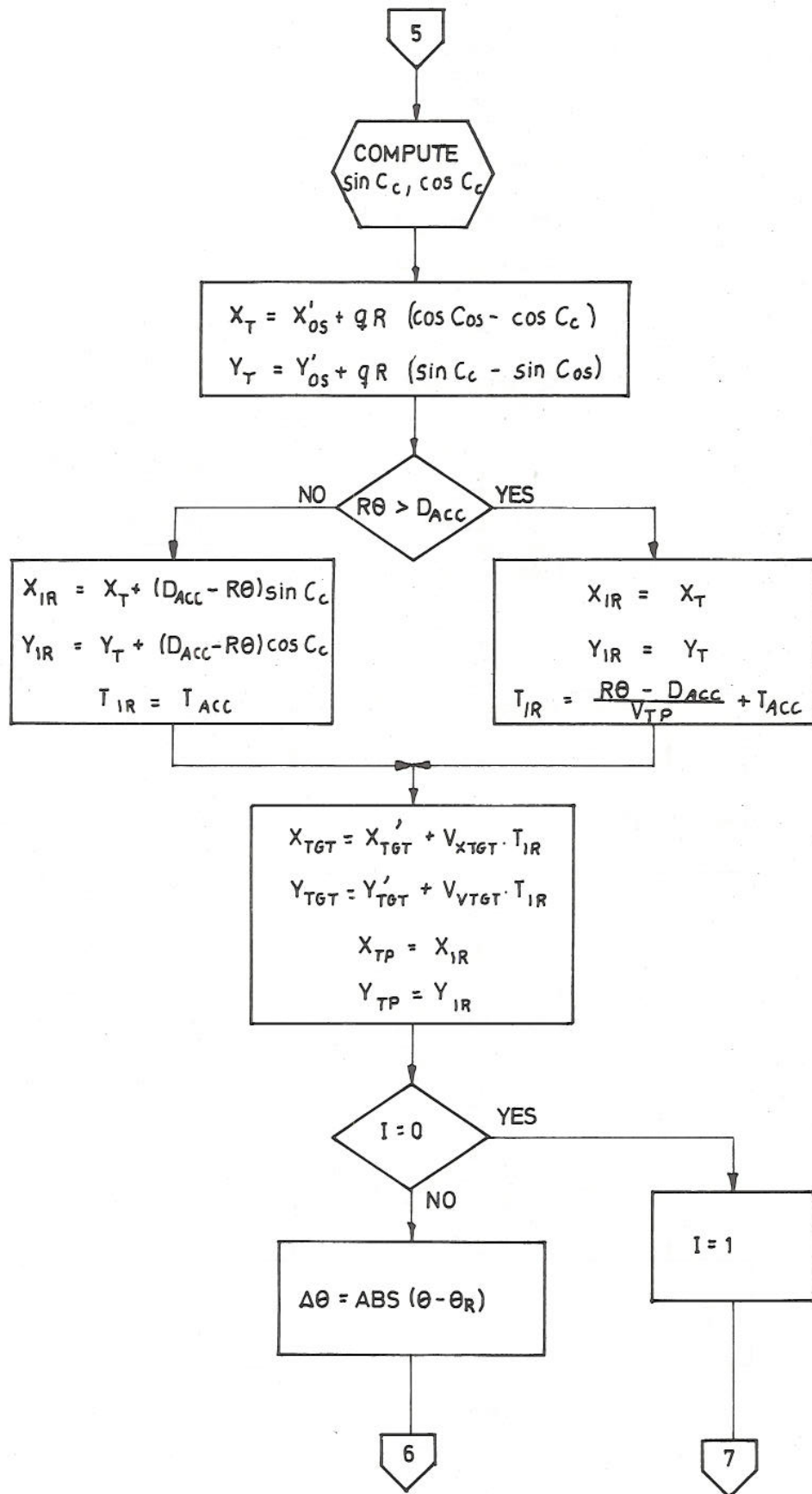
Variables in GCCG

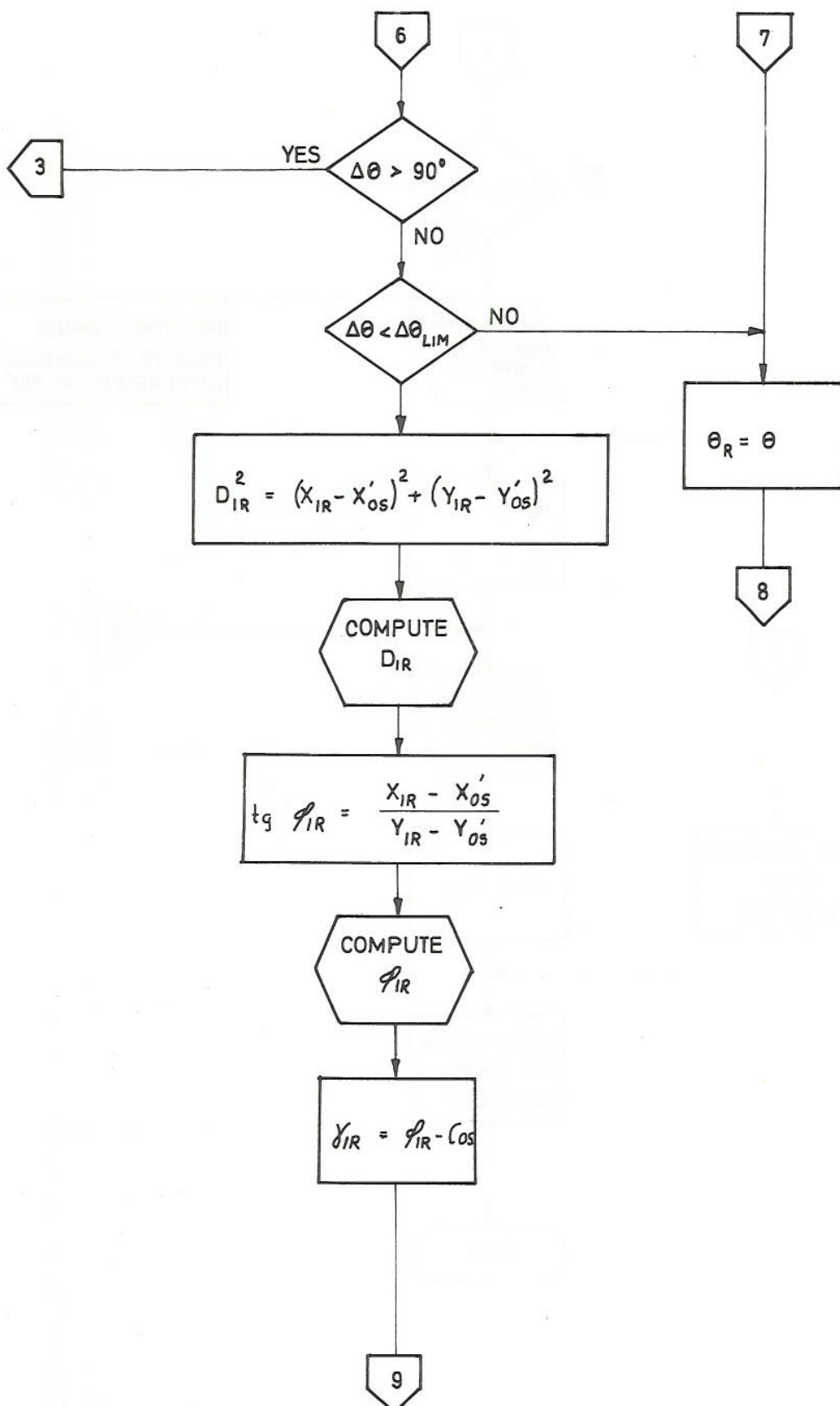
$X_{TGT}, Y_{TGT}$	Target coordinates
$C_{TGT}$	Target course
$V_{TGT}$	Target speed
$V_{TGT}^x, V_{TGT}^y$	Target speed components
$X'_{TGT}, Y'_{TGT}$	Predicted target coordinates at the time of FVS operating
$X_{os}, Y_{os}$	Own ship coordinates
$C_{os}$	Own ship course
$V_{os}$	Own ship speed
$X'_{os}, Y'_{os}$	Predicted own ship coordinates at the time of FVS operating
$X_{TP}, Y_{TP}$	Torpedo coordinates
$V_{TP}$	Torpedo speed
$R$	Torpedo turn radius
$D_{ACC}$	Acceleration distance
$T_{ACC}$	Acceleration time
$T_{PRED}$	Predicted time till FVS operates
$T_{IR}$	Initial run time (GBAE)
$D_{IR}$	Straight distance to end point of initial run (GBAF)
$\varphi_{IR}$	Bearing to end point of initial run
$\gamma_{IR}$	Bearing to end point of initial run relative to own ship course (GBAG)
$X_{IR}, Y_{IR}$	Coordinates of initial run end point
$X_T, Y_T$	Coordinates of turn end point
$\theta$	Turn angle
$\theta_G$	Gyro angle (GBAH)
$\theta_R$	Remembered $\theta$ from one iteration cycle till the next one
$\theta_o$	Present gyro angle
$\Delta \theta$	Difference between subsequent values of $\theta$ in iteration
$\Delta \theta_{LIM}$	Lower limit of $\Delta \theta$ at which iteration is broken
$D_c$	Distance from torpedo to collision point
$C_c$	Collision course
$C_{os}$	Own ship course at final gyro setting (GBAJ)
$L_{WIRE}$	Wire length
$q$	Sign
$I$	Indicator for start of iteration

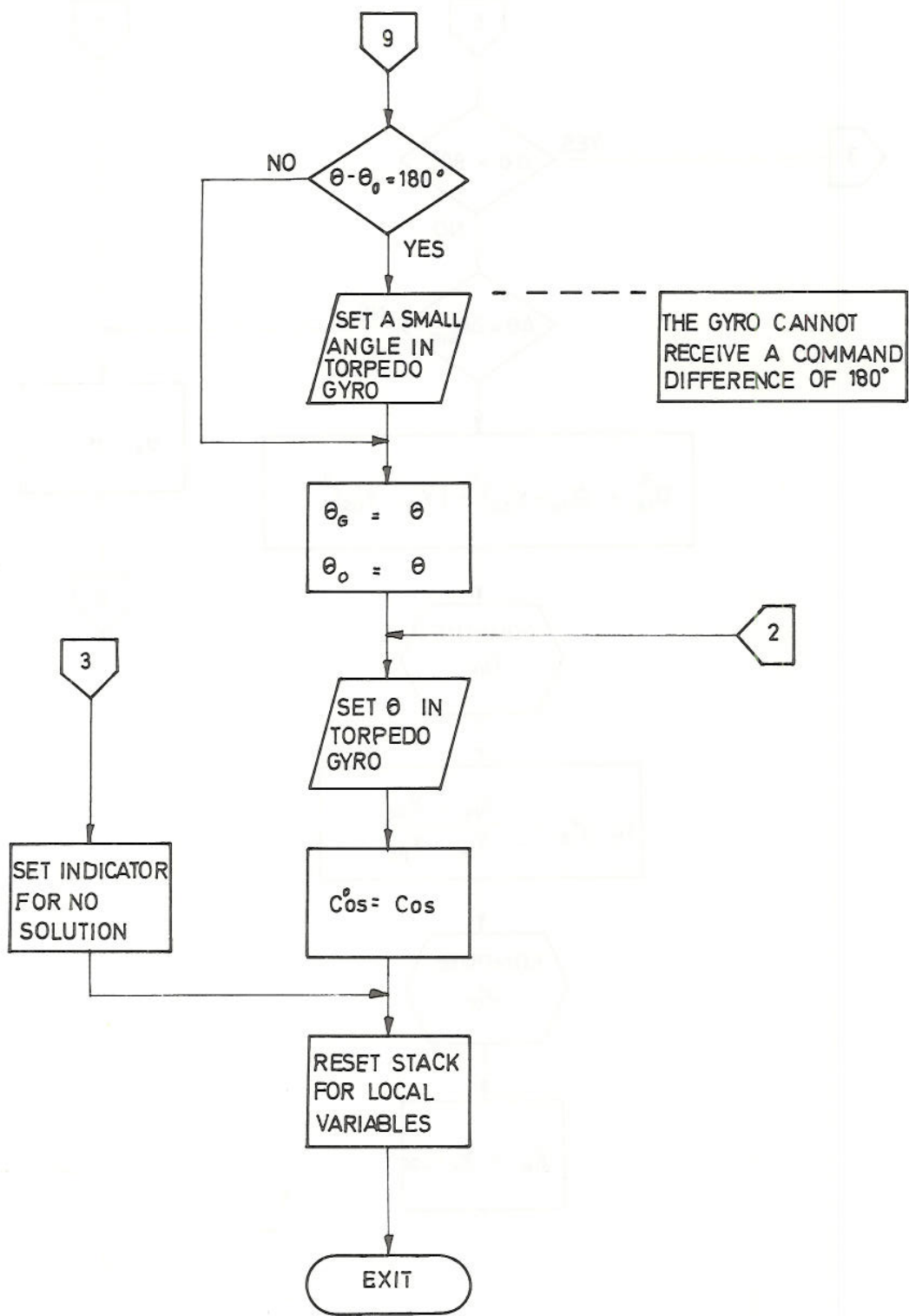






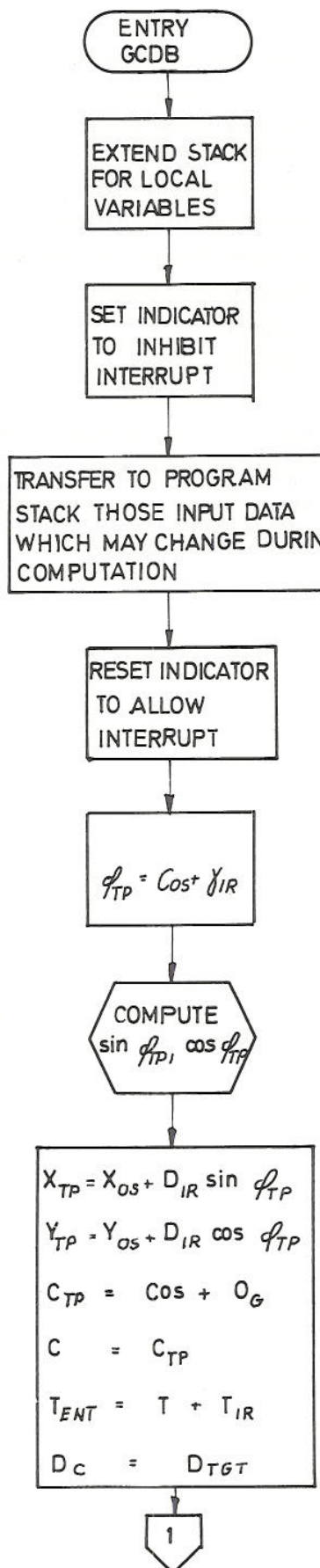


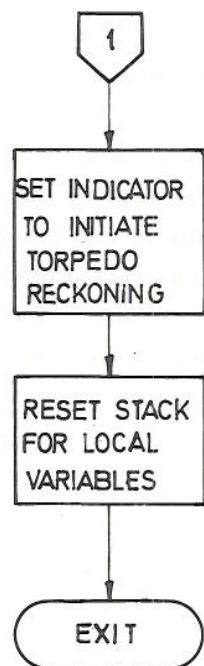




Variables in GCDB

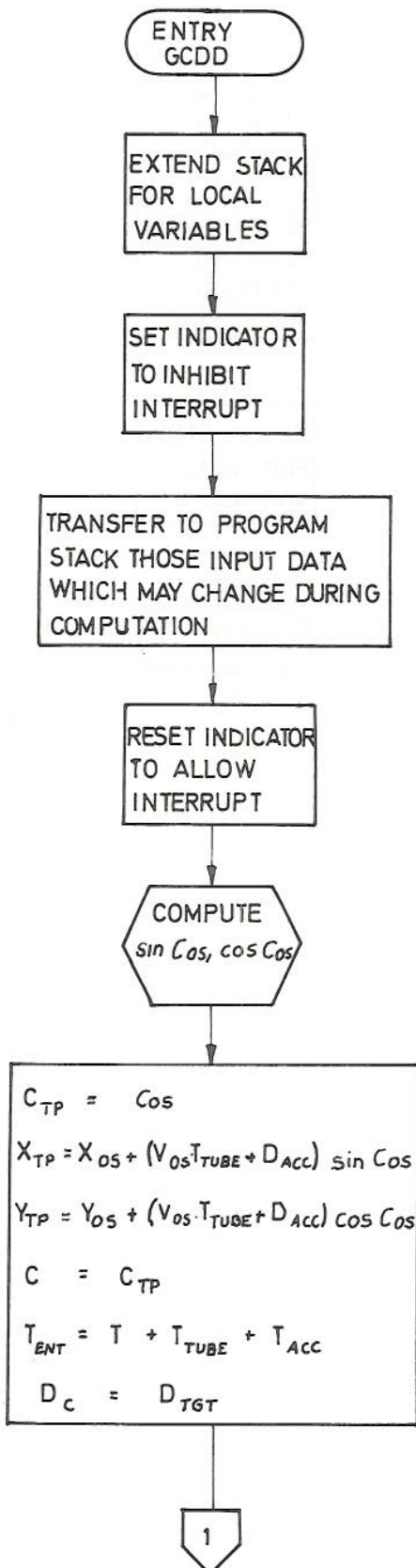
$X_{os}, Y_{os}$	Own ship coordinates
$C_{os}$	Own ship course
$\gamma_{IR}$	Bearing to end point of initial run relative to own ship course (GBAG)
$\theta_G$	Gyro angle (GBAH)
$T_{IR}$	Initial run time (GBAE)
$D_{IR}$	Straight distance to end point of initial run (GBAF)
$X_{TP}, Y_{TP}$	Torpedo coordinates
$C_{TP}$	Torpedo course
$\varphi_{TP}$	Torpedo bearing
$C$	Course command
$T_{ENT}$	Entry time for torpedo guidance program
$T$	Current system time
$D_c$	Range from torpedo to collision point
$D_{TGT}$	Range to target

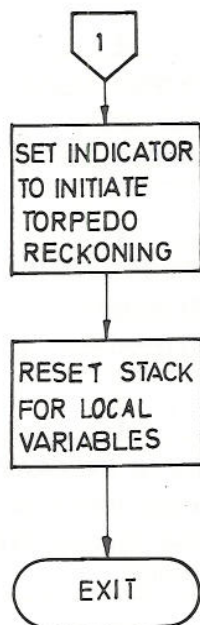




Variables in GCDD

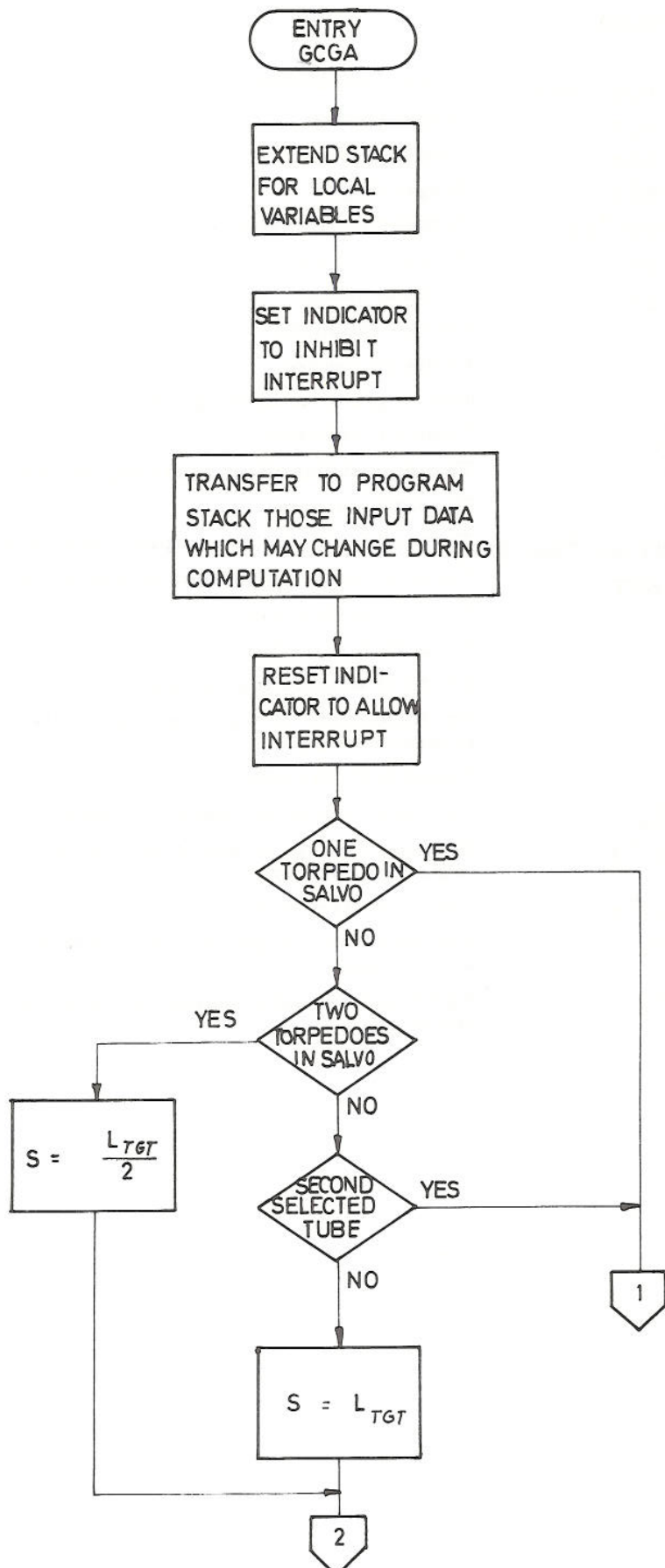
$X_{TP}, Y_{TP}$	Torpedo coordinates
$C_{TP}$	Torpedo course
$X_{os}, Y_{os}$	Own ship coordinates
$C_{os}$	Own ship course
$V_{os}$	Own ship speed
$C$	Course command
$T_{TUBE}$	Time in tube (from fire till leaving tube)
$D_{ACC}$	Acceleration distance
$T_{ACC}$	Acceleration time
$D_c$	Range from torpedo to collision point
$D_{TGT}$	Range to target

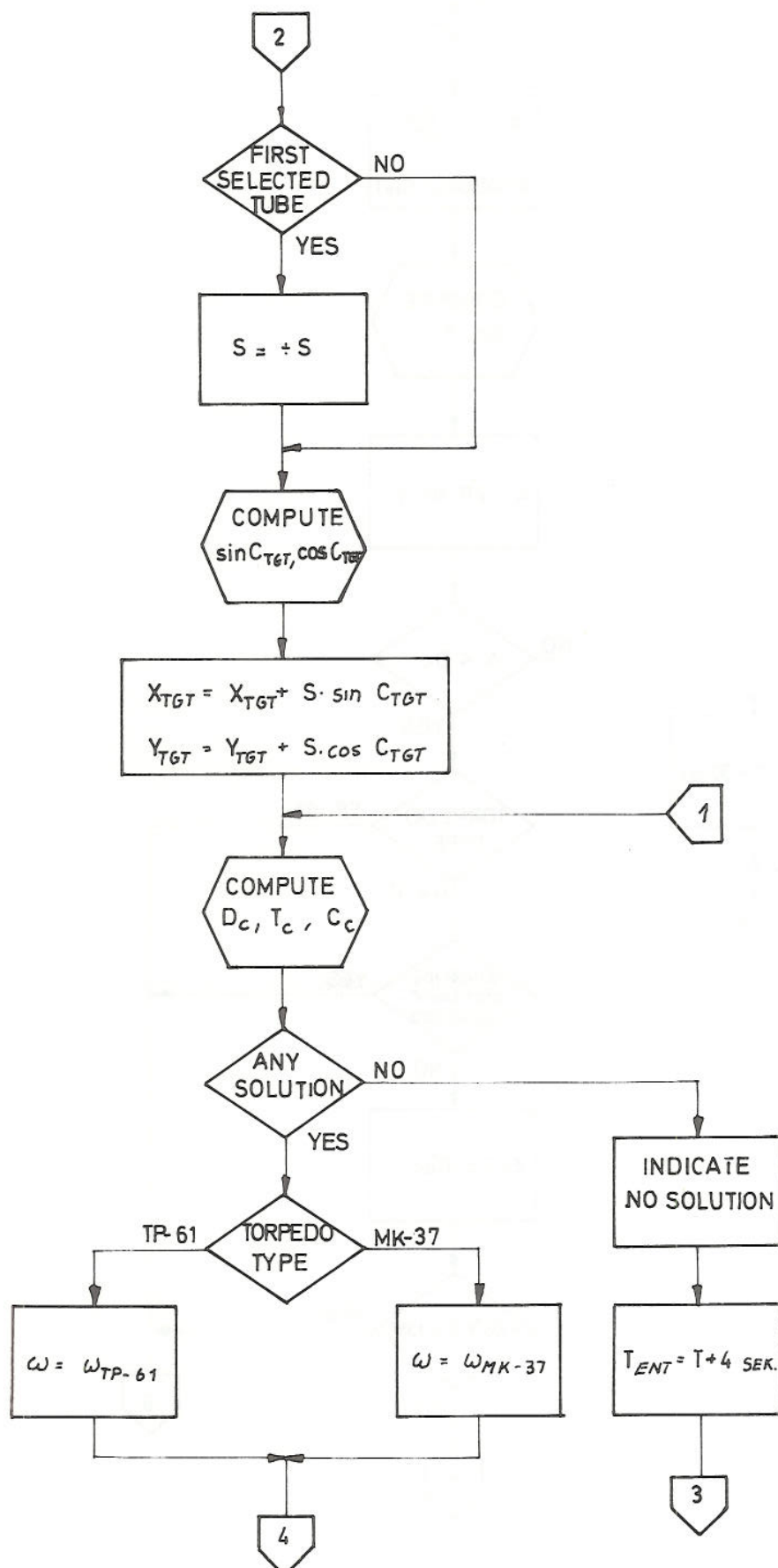


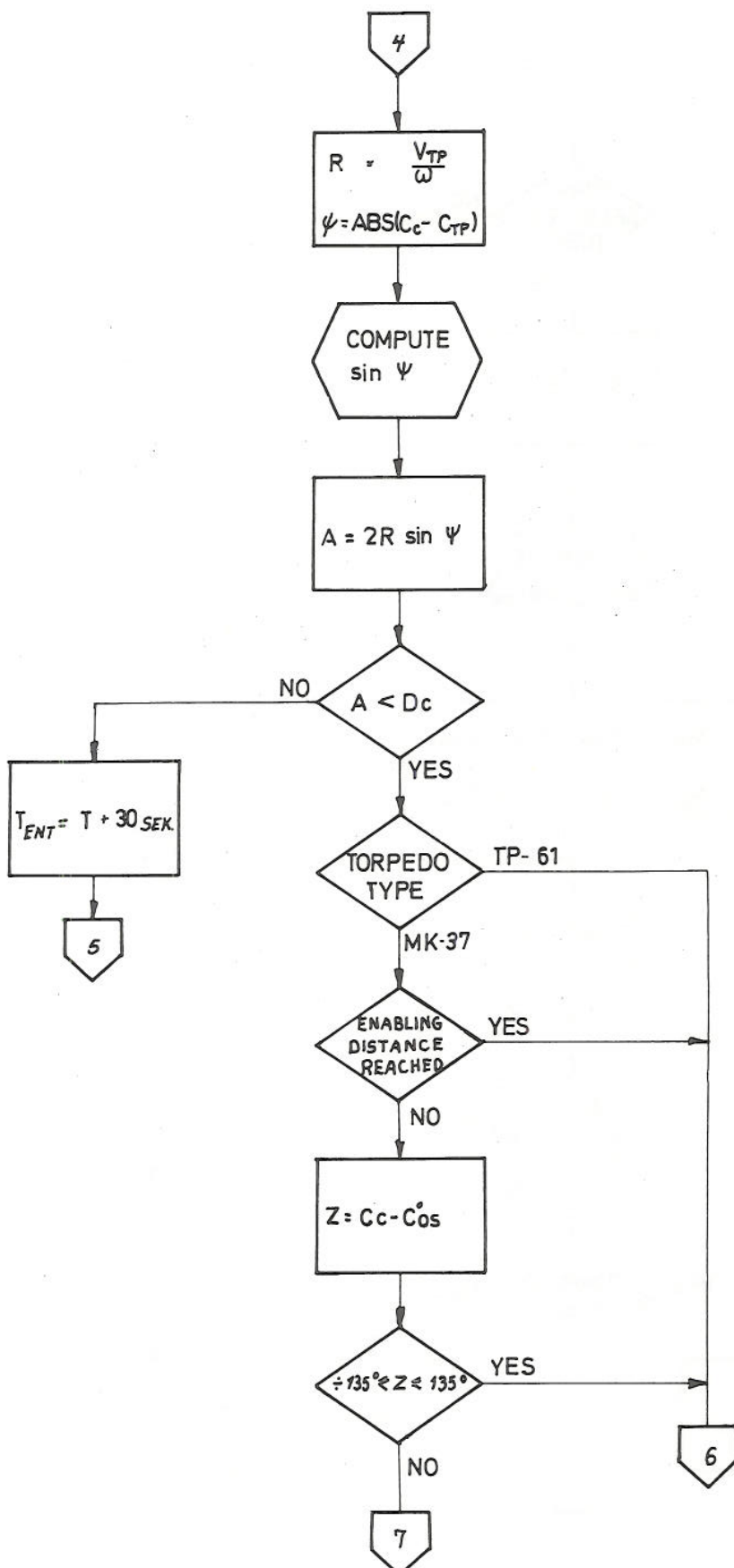


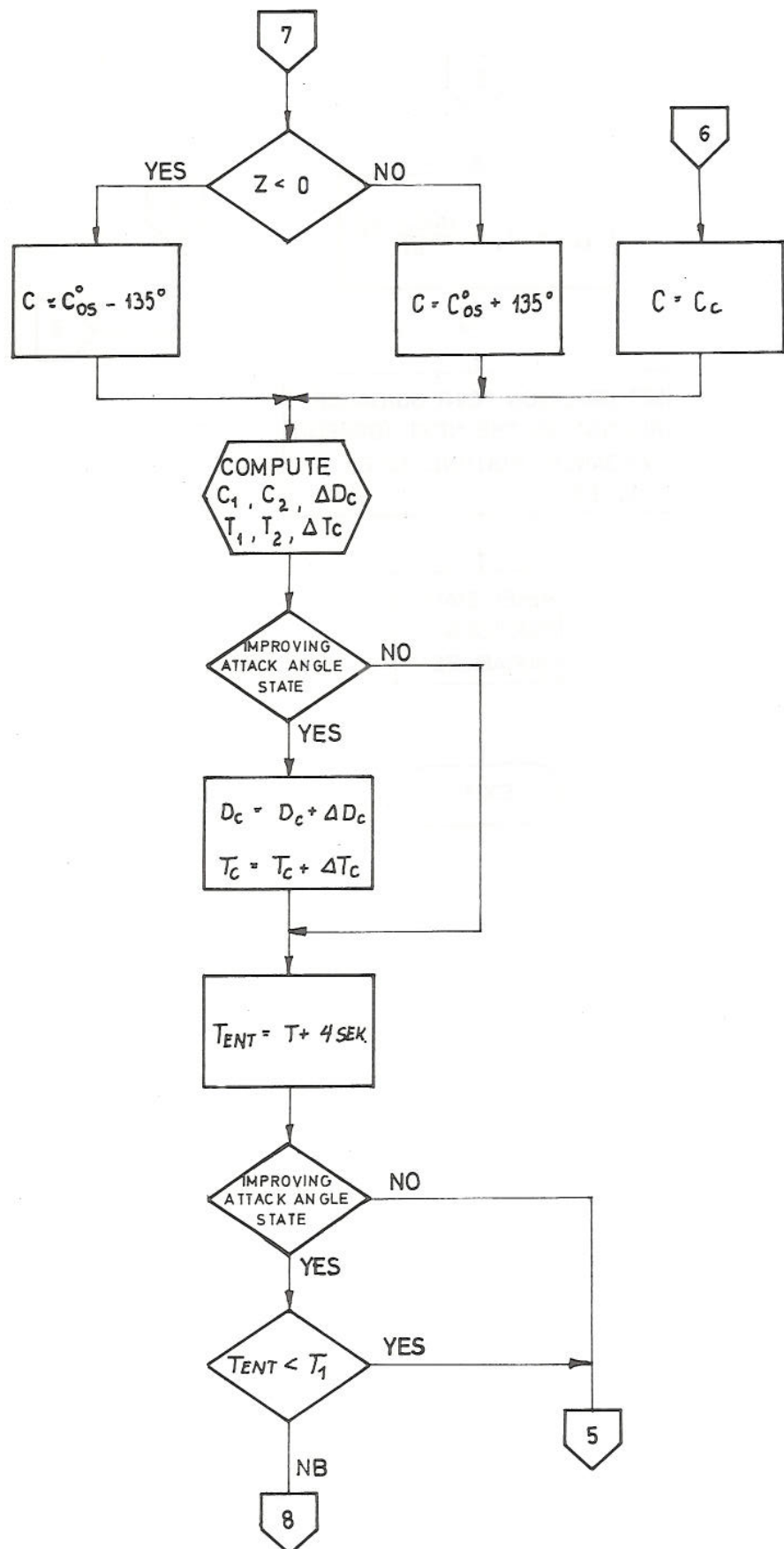
Variables in GCGA

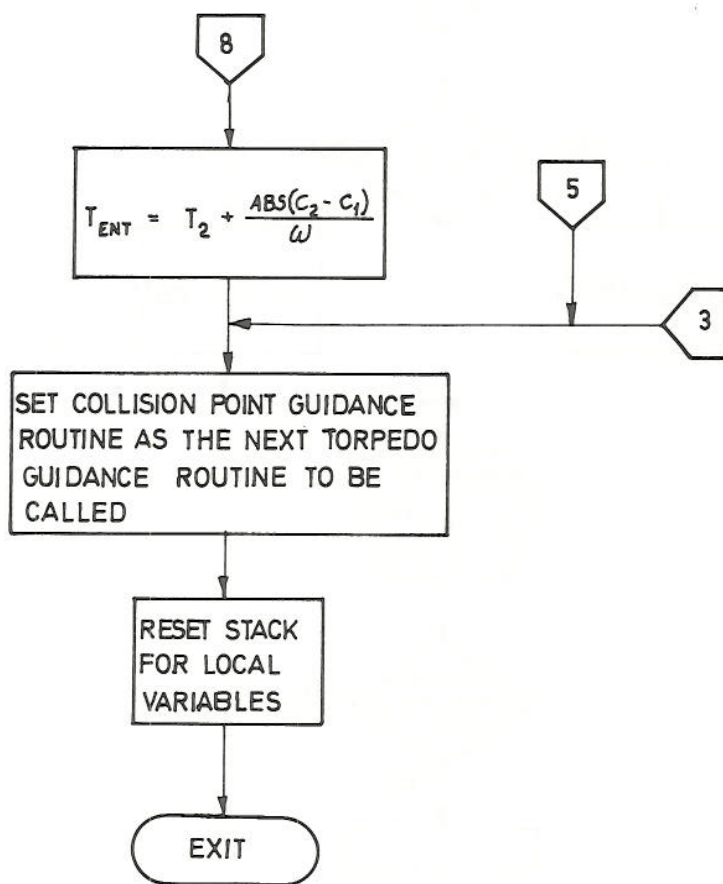
$X_{TGT}, Y_{TGT}$	Target coordinates
$C_{TGT}$	Target course
$V_{TGT}$	Target speed
$L_{TGT}$	Target length
$X_{TP}, Y_{TP}$	Torpedo coordinates
$C_{TP}$	Torpedo course
$V_{TP}$	Torpedo speed
$C$	Course command
$C_c$	Collision course
$D_c$	Run length to collision point
$T_c$	Time till collision
$S$	Target position offset according to salvo spread
$\omega$	Torpedo turn rate
$\omega_{TP-61}, \omega_{MK-37}$	Turn rates for the two torpedo types respectively
$T_{ENT}$	Time for next computation of course command
$T$	Current system time
$R$	Torpedo turn radius
$A$	Chord of torpedo turn circle
$\psi$	Absolute value of angle between collision course and torpedo course
$z$	Temporary variable
$C_{os}$	Own ship course at final gyro setting
$C_1, C_2$	Torpedo courses at end of each turn in maneuver to improve attack angle
$T_1, T_2$	Time for start of each turn
$\Delta D_c$	Additional run length caused by maneuver to improve attack angle
$\Delta T_c$	Additional run time caused by maneuver to improve attack angle





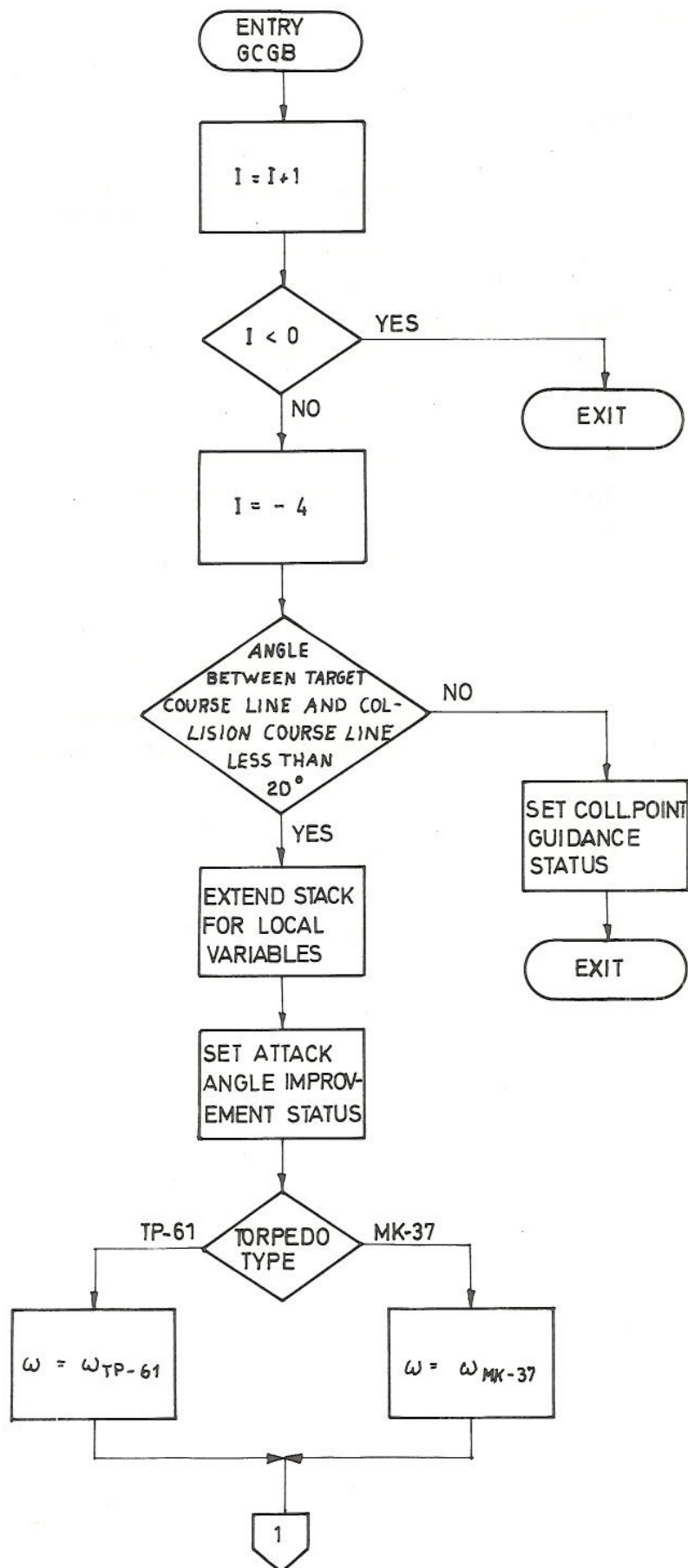


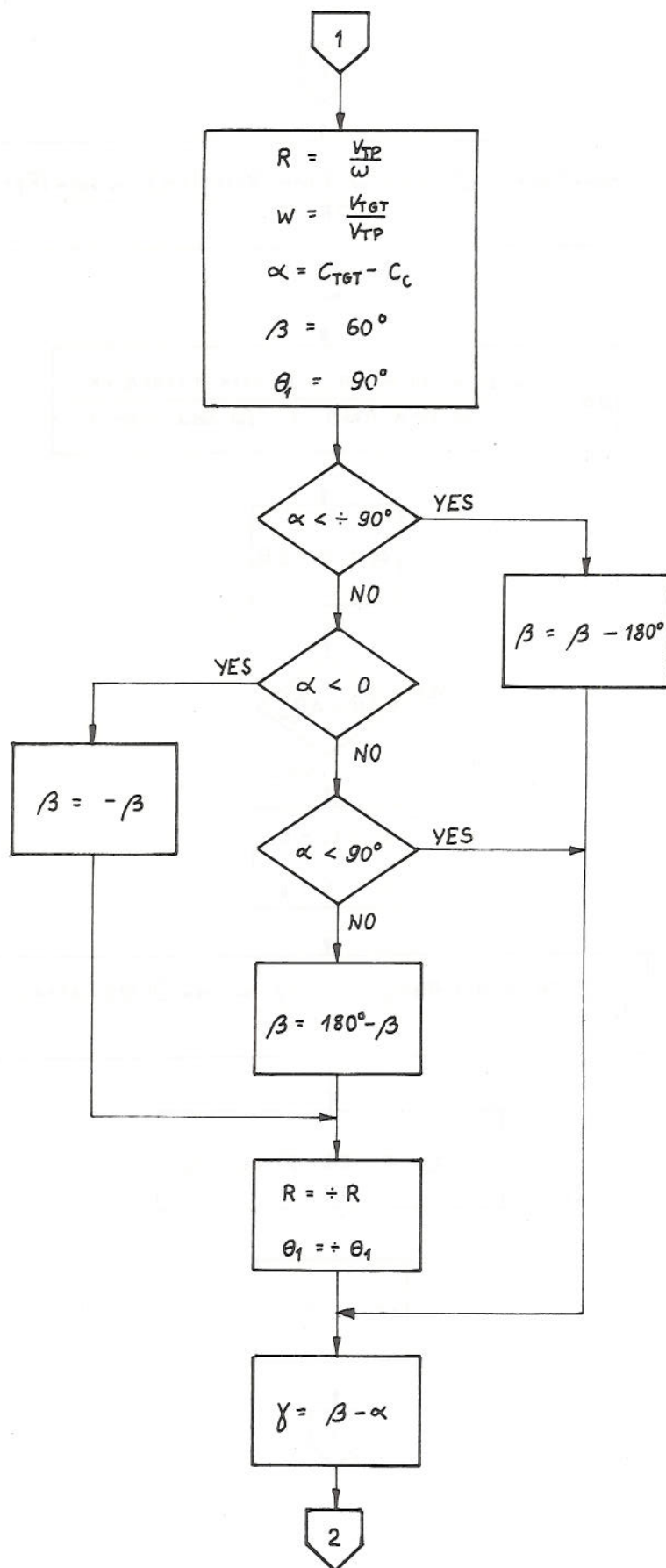


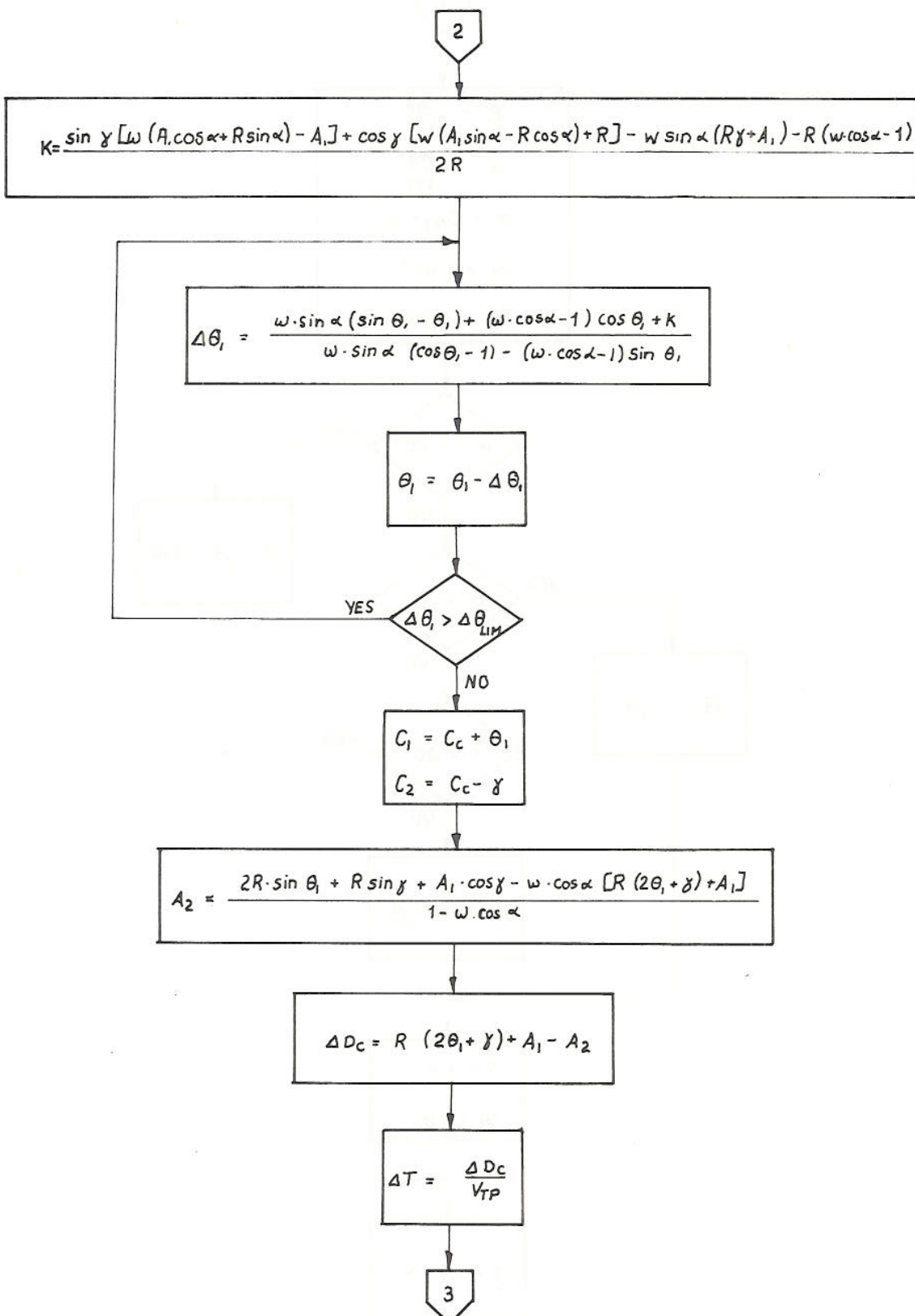


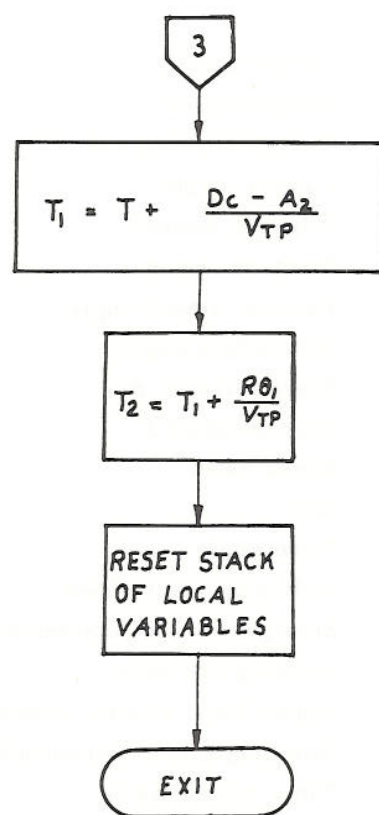
Variables in GCGB

$C_{TGT}$	Target course
$V_{TGT}$	Target speed
$C_c$	Collision course
I	Counter to control time between each computation of maneuver to improve attack angle (GBAM)
R	Torpedo turn radius
$\omega$	Torpedo turn rate
$\omega_{TP-61}, \omega_{MK-37}$	Turn rates for the two torpedo types respectively
$V_{TP}$	Torpedo speed
w	Speed ratio
$\alpha$	Present attack angle
$\beta$	Improved attack angle
$\theta_1, \theta_2$	Turn angles in maneuver
$\gamma$	Angle difference between present and improved attack angle
k	Konstant in computation of $\theta_1$
$A_1$	Final straight run in maneuver
$A_2$	Straight distance between predicted maneuver start and present collision point
$\Delta\theta_1$	Difference between subsequent values of $\theta_1$ in iteration
$C_1, C_2$	Torpedo courses at end of each turn in maneuver
$T_1, T_2$	Time for start of each turn in maneuver
$\Delta D_c$	Additional run length caused by maneuver
$\Delta T_c$	Additional run time caused by maneuver
T	Current system time
$D_c$	Straight distance from torpedo to present collision point



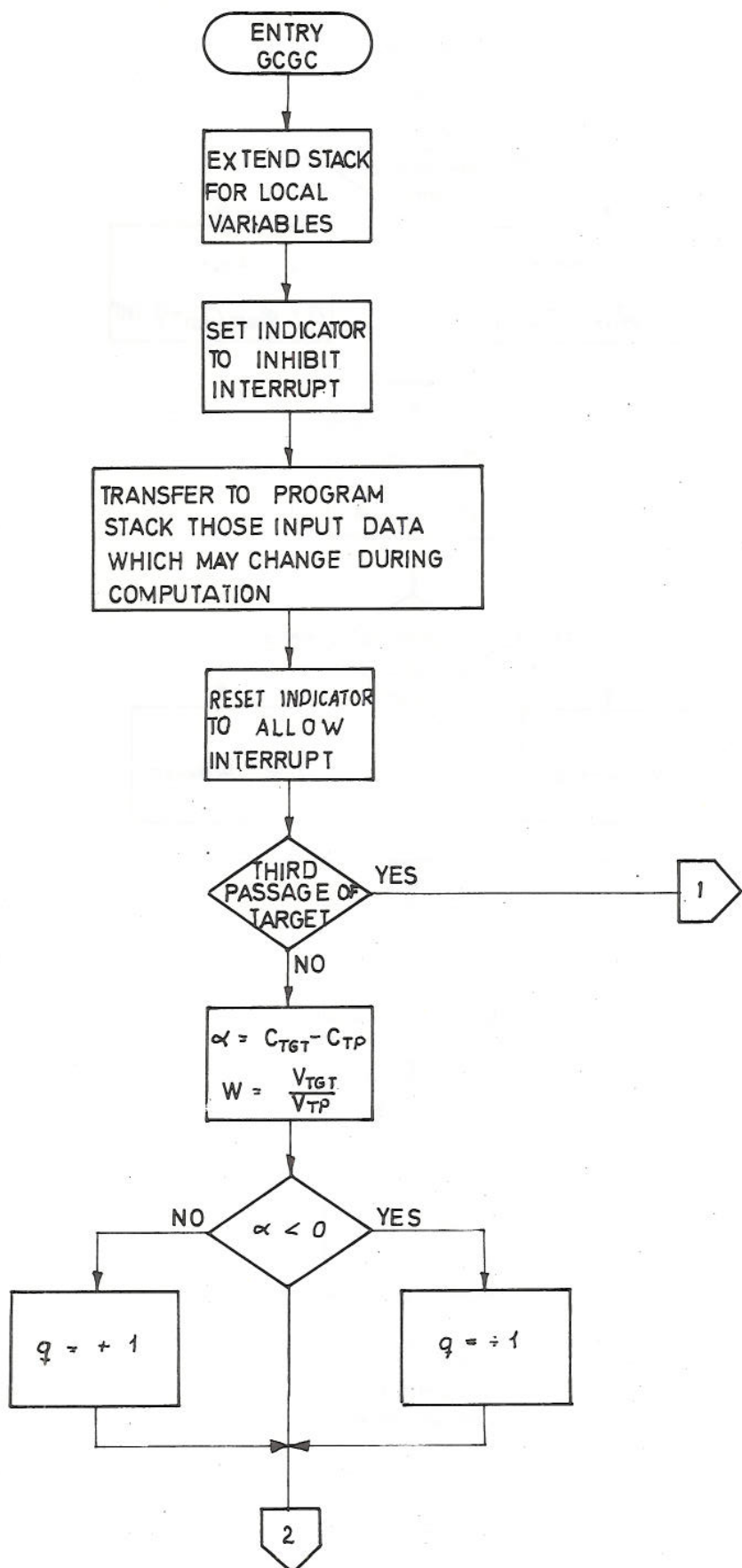


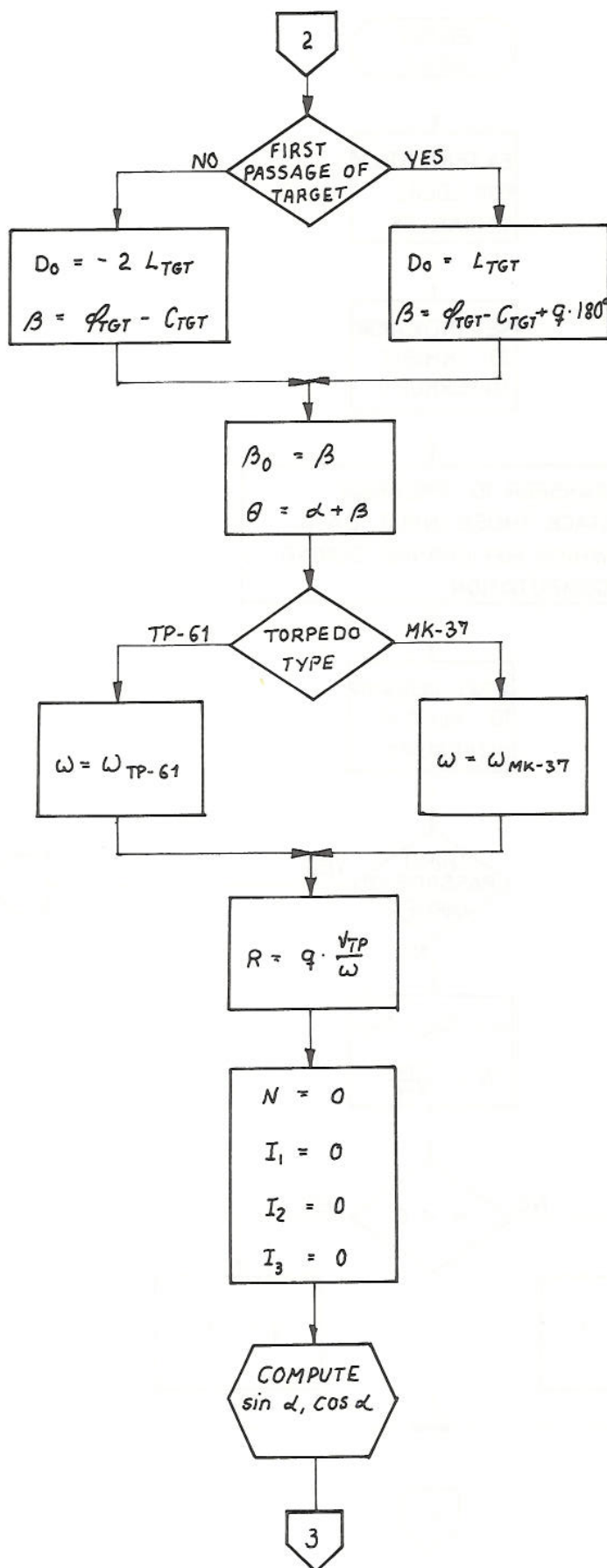


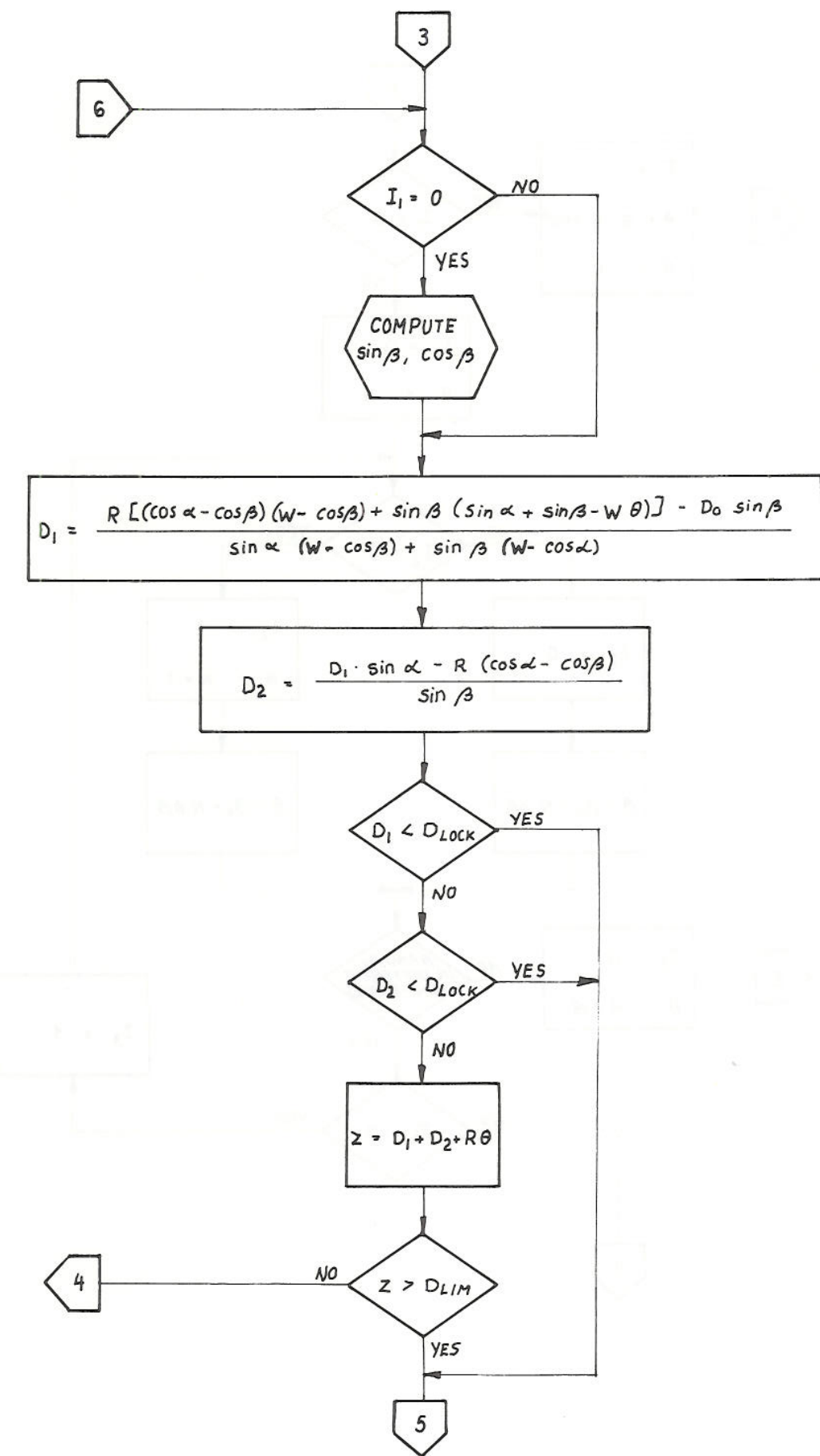


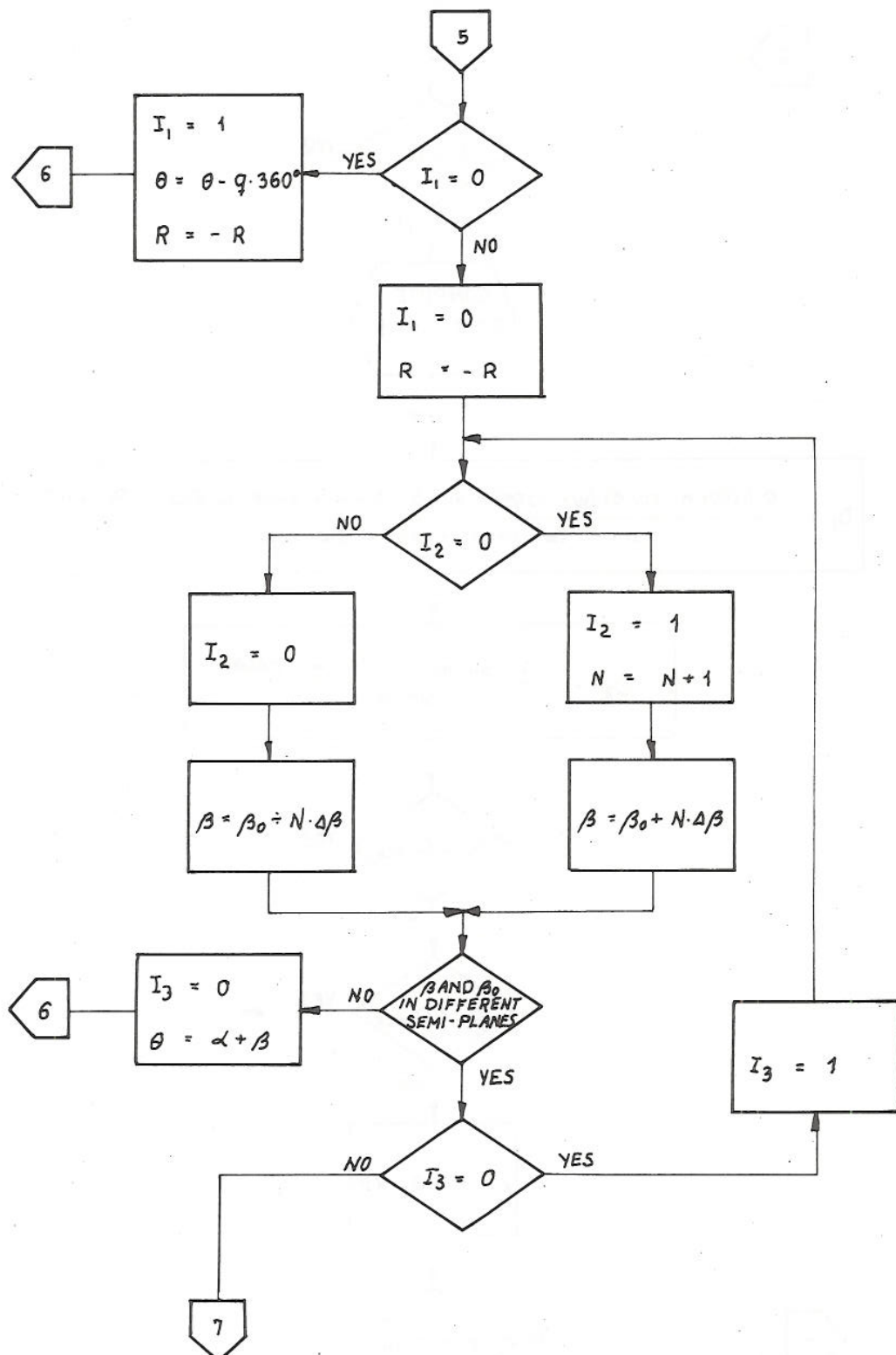
Variables in GCGC

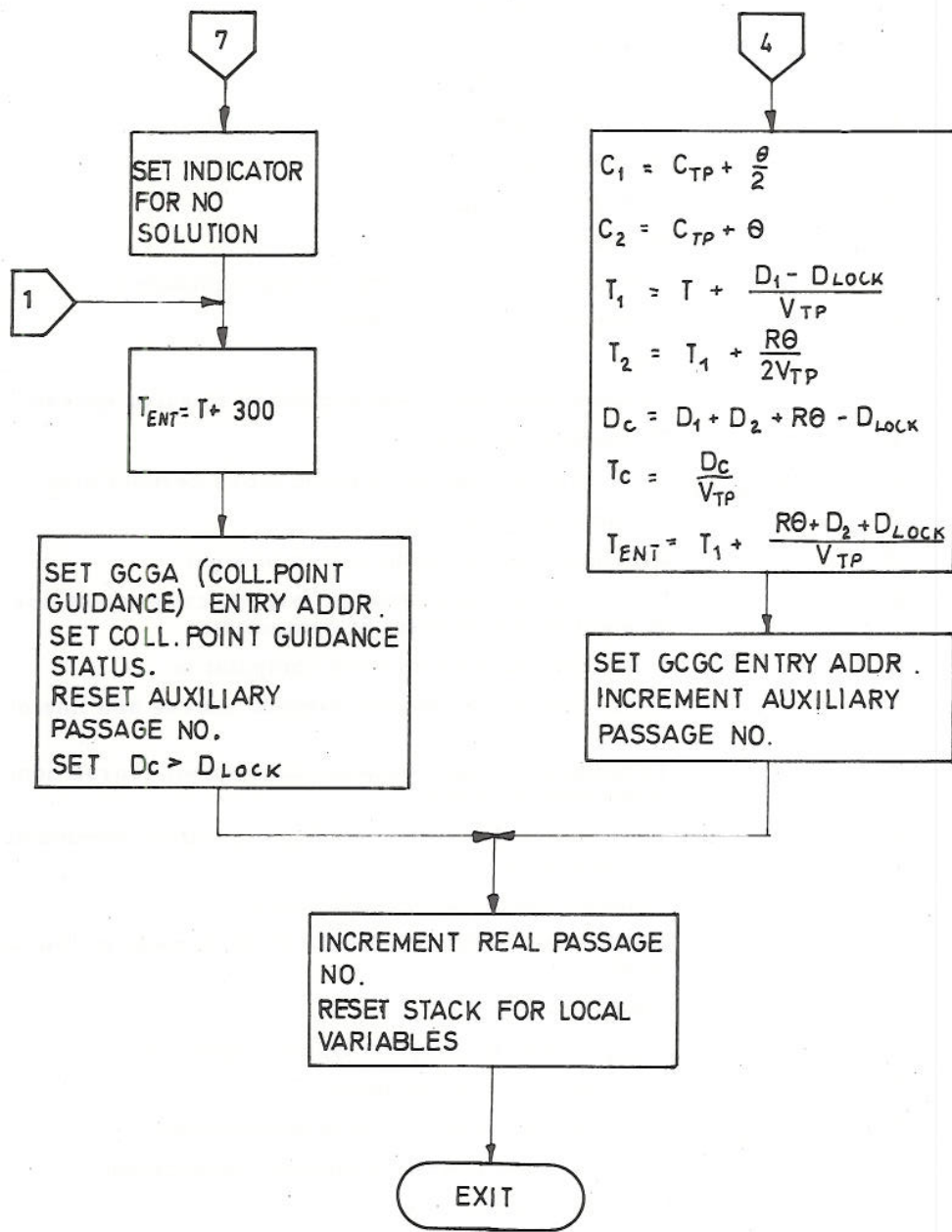
$C_{TGT}$	Target course
$V_{TGT}$	Target speed
$\phi_{TGT}$	Target bearing
$L_{TGT}$	Target length
$C_{TP}$	Torpedo course
$V_{TP}$	Torpedo speed
$\alpha$	Present attack angle
$\beta$	New attack angle
$\beta_0$	Start value of $\beta$
$\Delta\beta$	Increment of $\beta$
$w$	Speed ratio
$q$	Sign
$\theta$	Turn angle
$D_o$	Collision point offset
$D_1, D_2$	Straight runs in maneuver
$D_{LOCK}$	Locking distance
$D_{LIM}$	Upper limit of total maneuver length
$D_c$	Run length to collision point
$T_c$	Time till collision
$T_{ENT}$	Next entry time for torpedo guidance program
$T$	Current system time
$R$	Torpedo turn radius
$\omega$	Torpedo turn rate
$\omega_{TP-61}, \omega_{MK-37}$	Turn rates for the two torpedo types respectively
$N$	Number of increments of $\beta$
$z$	Temporary variable
$C_1, C_2$	Torpedo courses at end of each turn in maneuver
$T_1, T_2$	Time for start of each turn in maneuver
$I_1, I_2, I_3$	Indicators to control proceeding in choice of $\beta$





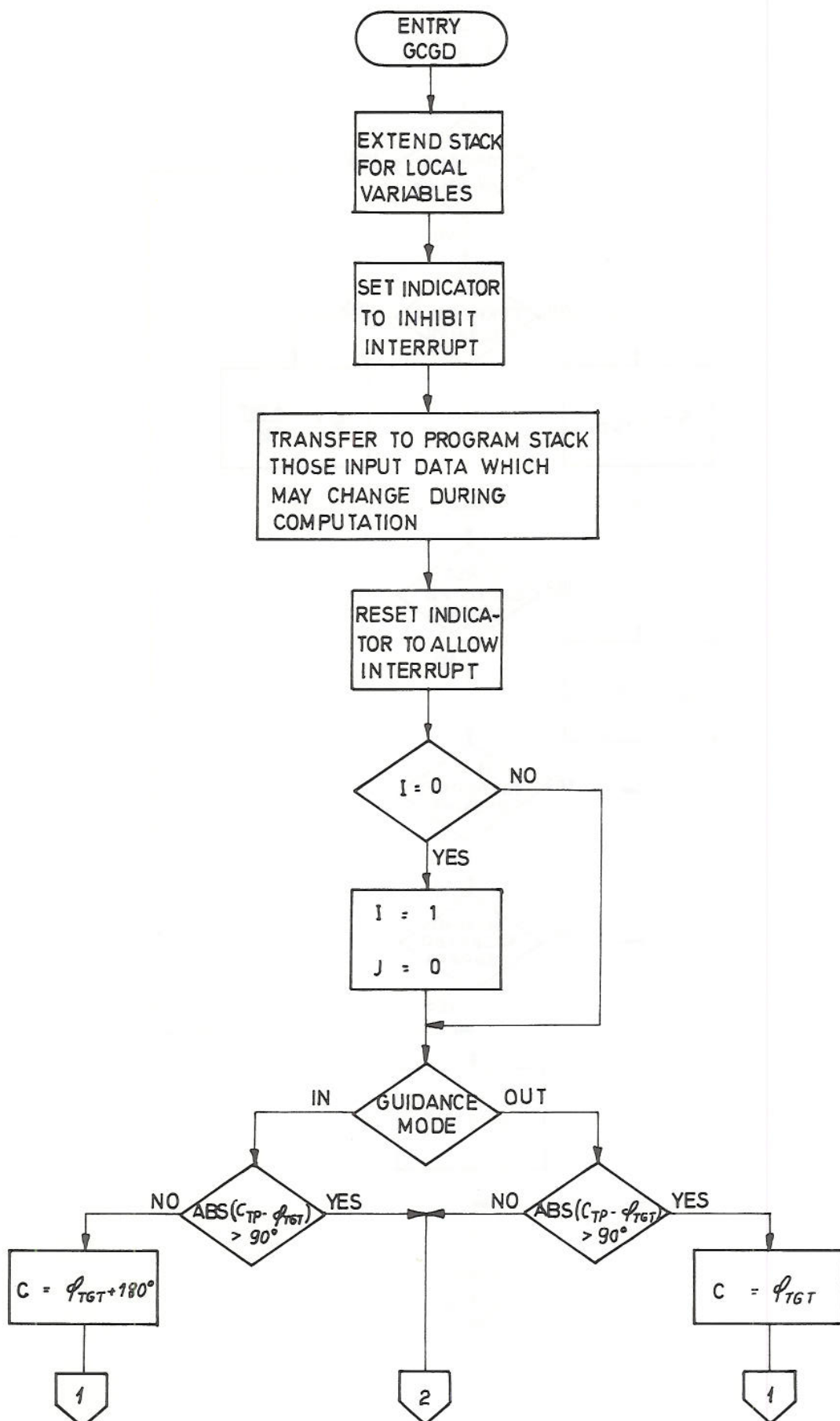


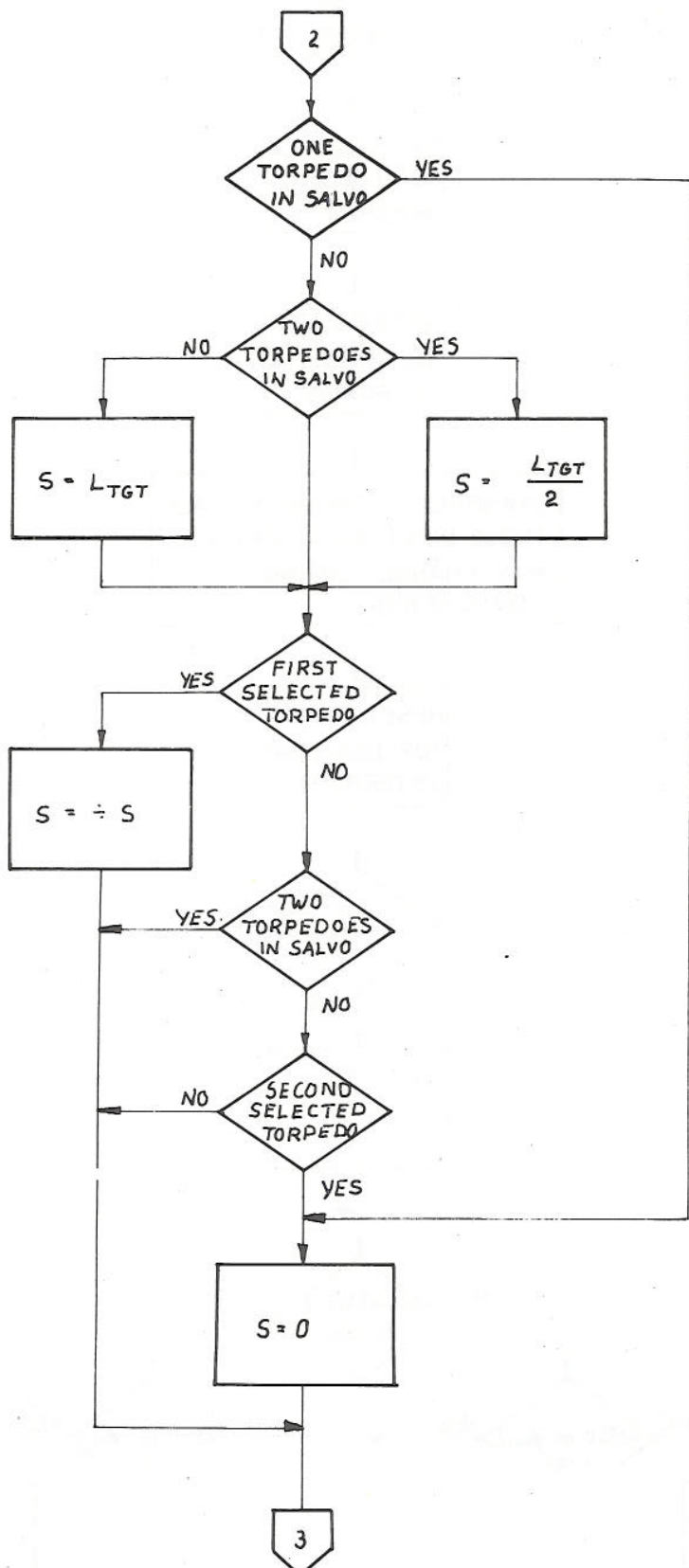


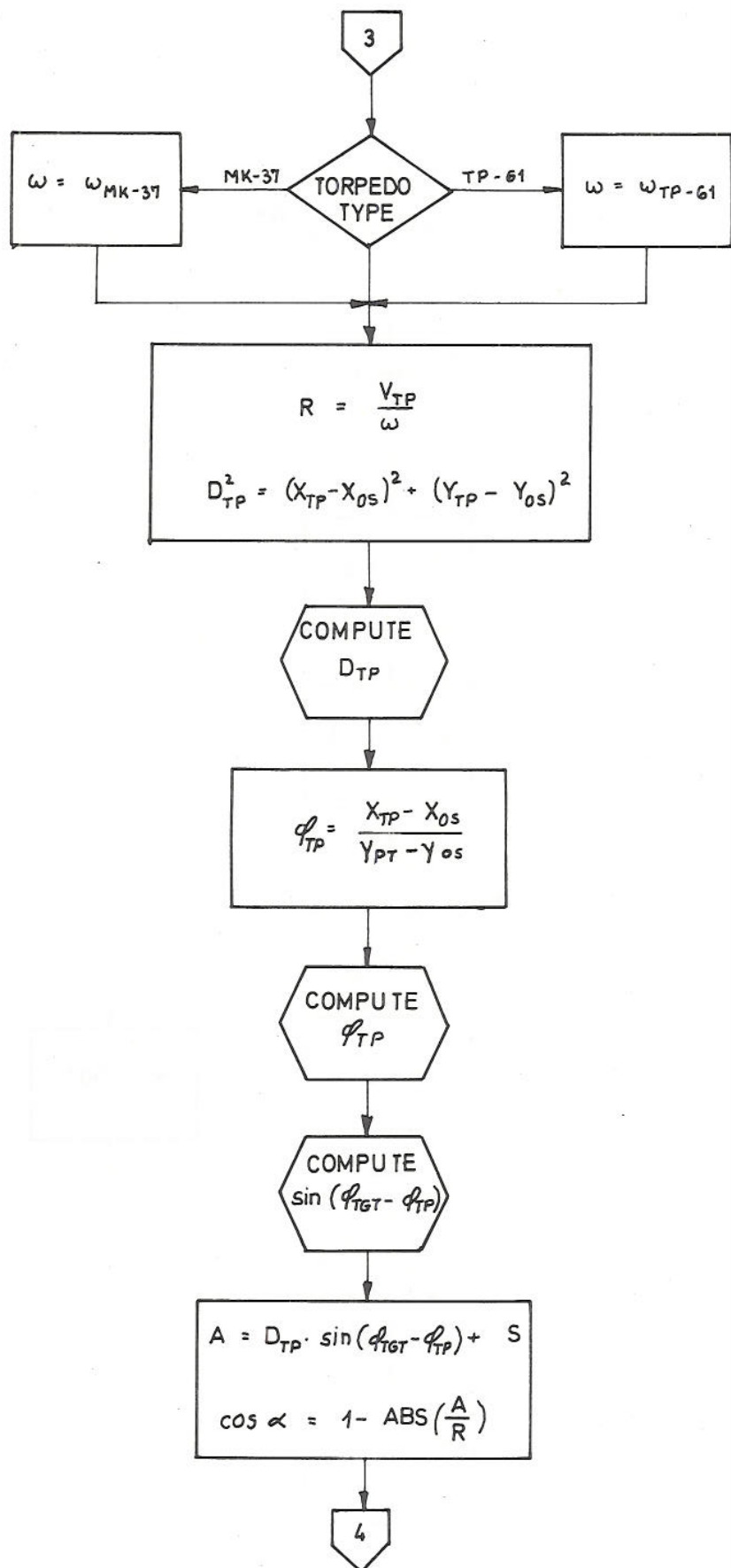


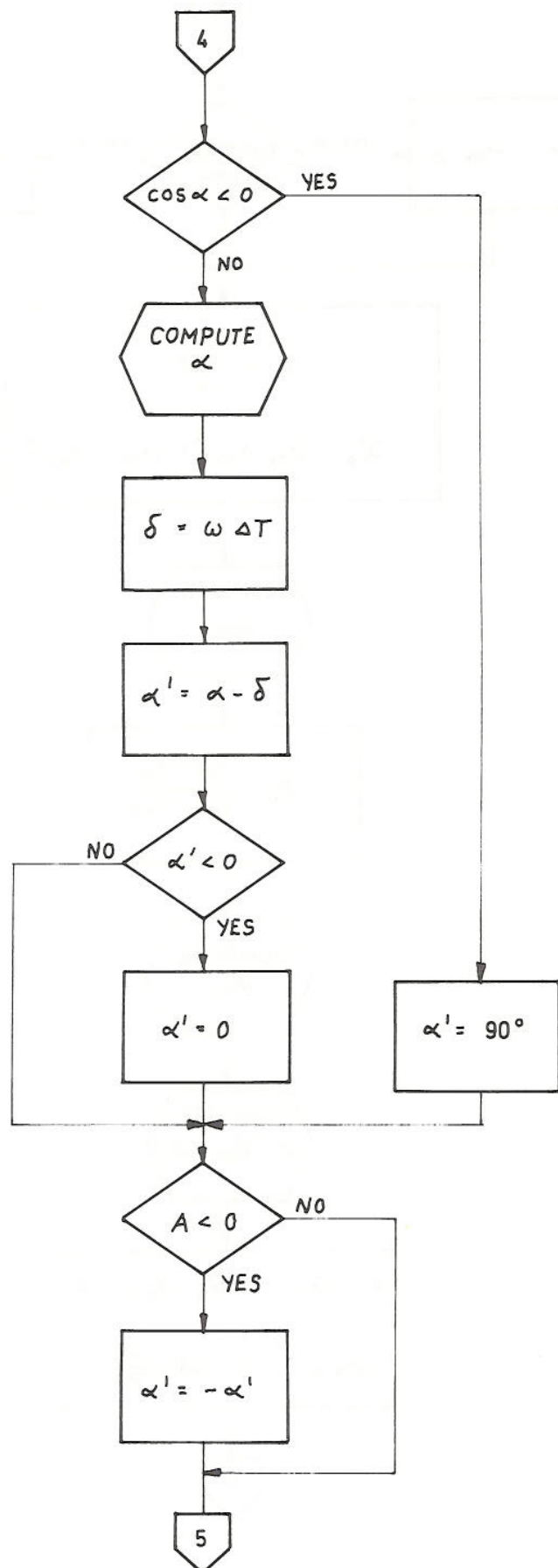
Variables in GCGD

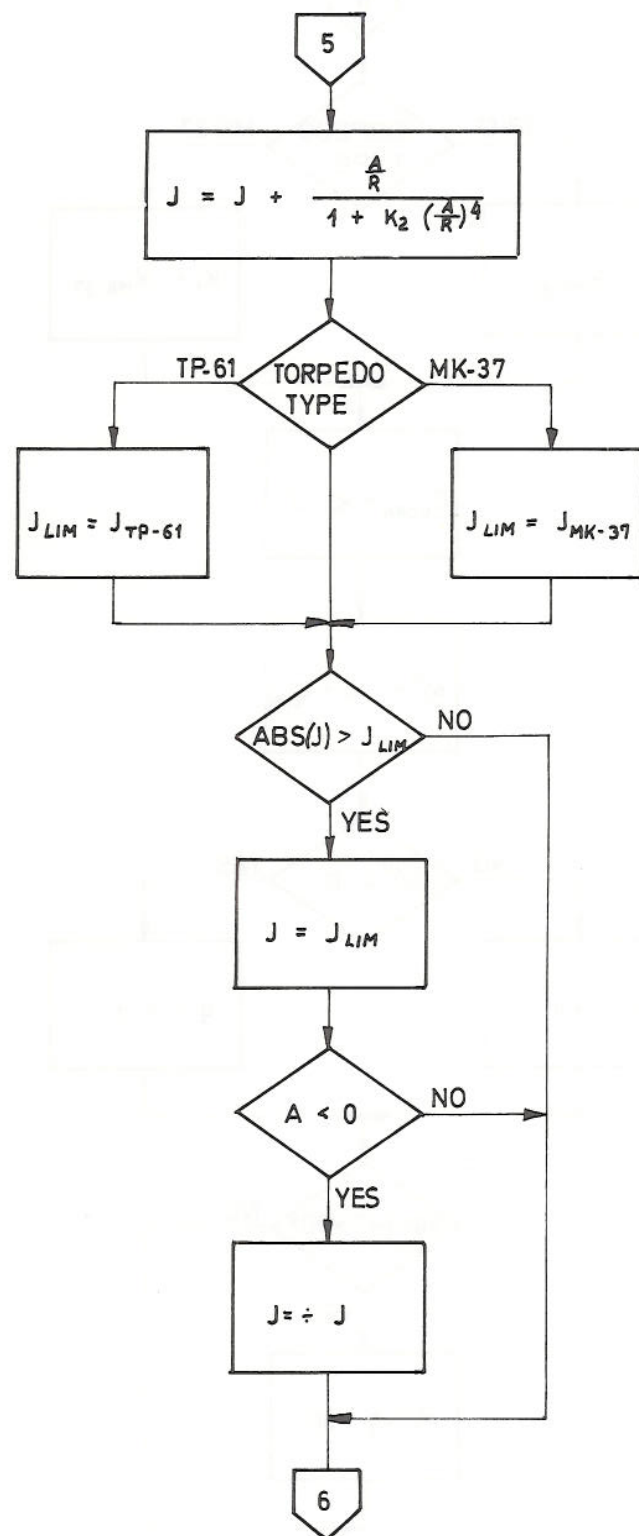
$L_{TGT}$	Target length
$\phi_{TGT}$	Target bearing
$X_{os}, Y_{os}$	Own ship coordinates
$X_{TP}, Y_{TP}$	Torpedo coordinates
$C_{TP}$	Torpedo course
$V_{TP}$	Torpedo speed
$\psi_{TP}$	Torpedo bearing
$D_{TP}$	Range to torpedo
I	Indicator for start of line of sight guidance
C	Torpedo course command
q	Sign
S	Torpedo position offset according to salvo spread
$\omega$	Torpedo turn rate
$\omega_{TP-61}, \omega_{MK-37}$	Turn rate for the two torpedo types respectively
R	Torpedo turn radius
A	Distance from torpedo to line of sight
$\alpha$	Uncorrected angle between torpedo course and line of sight at the moment of computation
$\alpha'$	$\alpha$ at next course command computation
$\alpha''$	Corrected angle between torpedo course and line of sight
$\delta$	Torpedo turn angle between subsequent course command computations
$\Delta T$	Time interval between subsequent course command computations
$C_{CORR}$	Torpedo course correction angle
J	Integral of modified distance from torpedo to line of sight
$J_{LIM}$	Upper limit of J
$J_{TP-61}, J_{MK-37}$	$J_{LIM}$ of the two torpedo types respectively
$K_1, K_2$	Constants in integral term
$K_{TP-61}, K_{MK-37}$	$K_1$ of the two torpedo types respectively
$T_{ENT}$	Time for next course command computation
T	Current system time

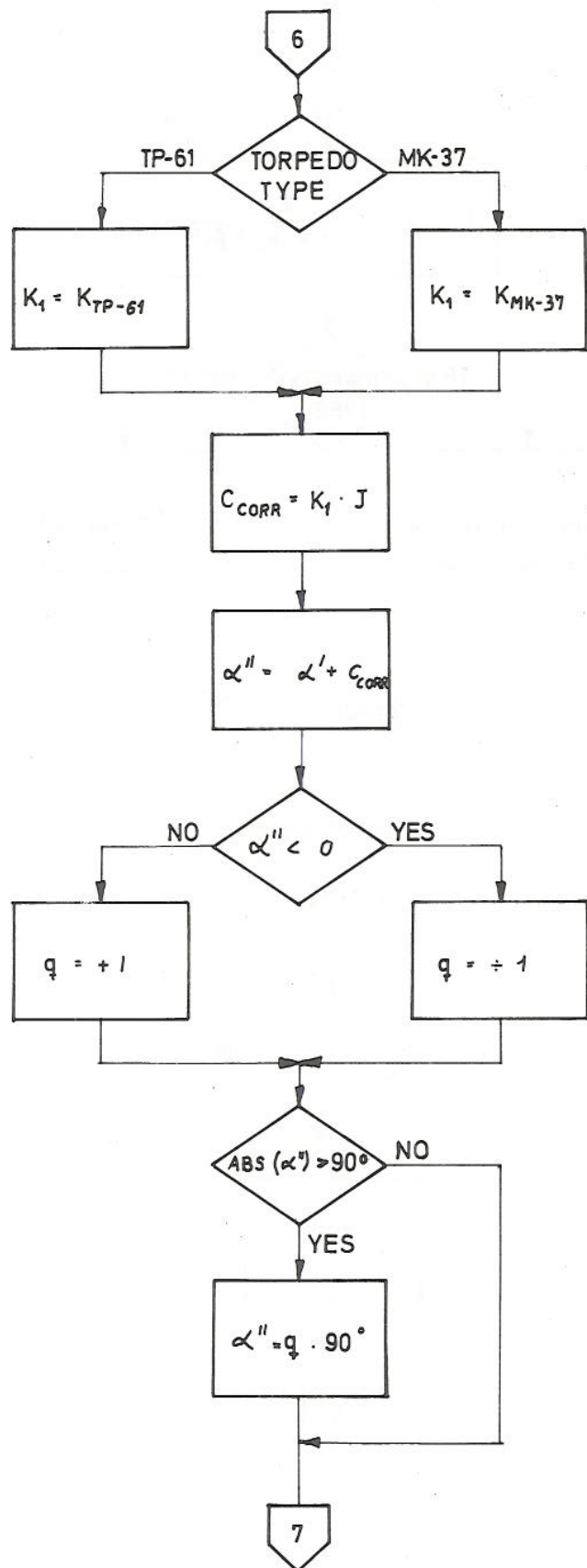


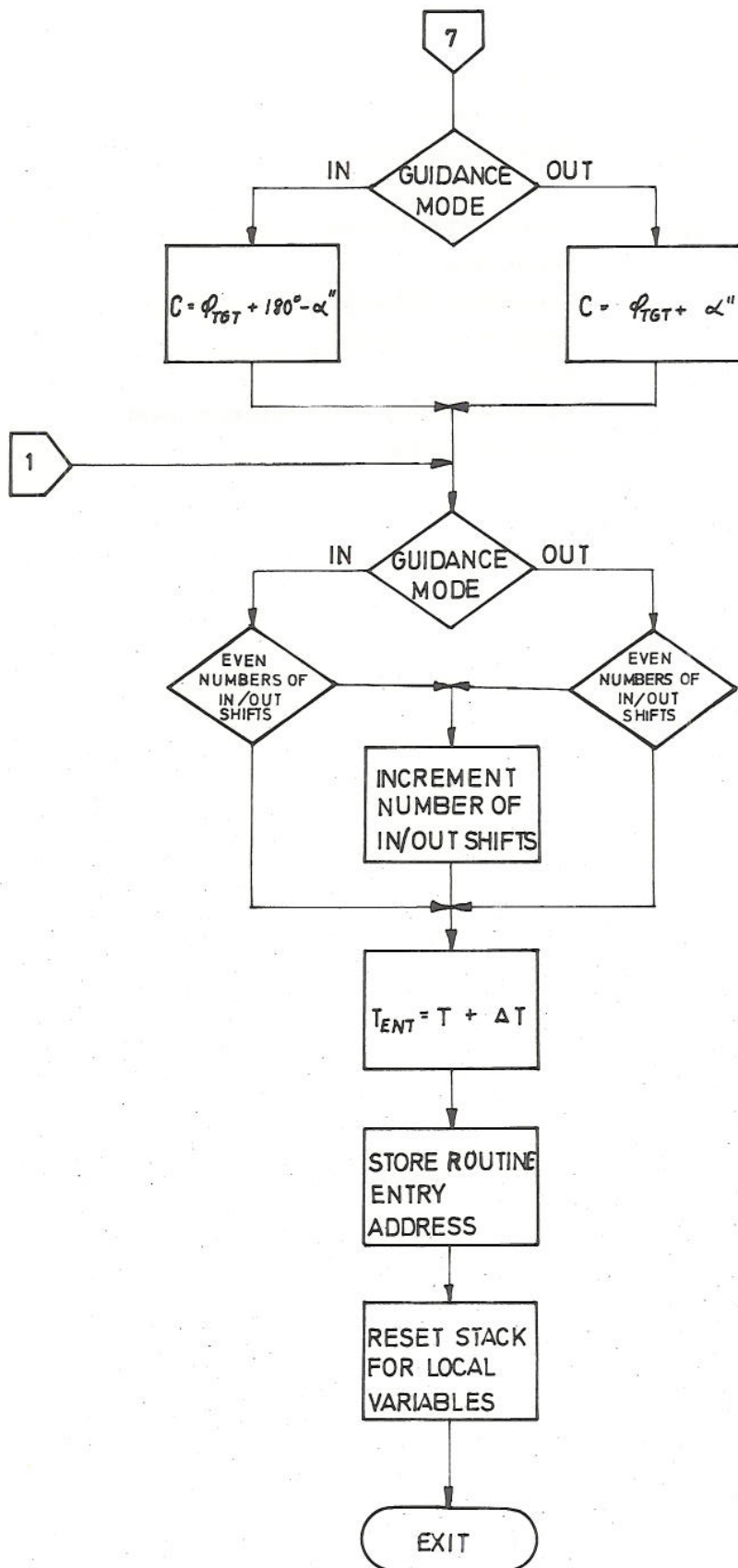






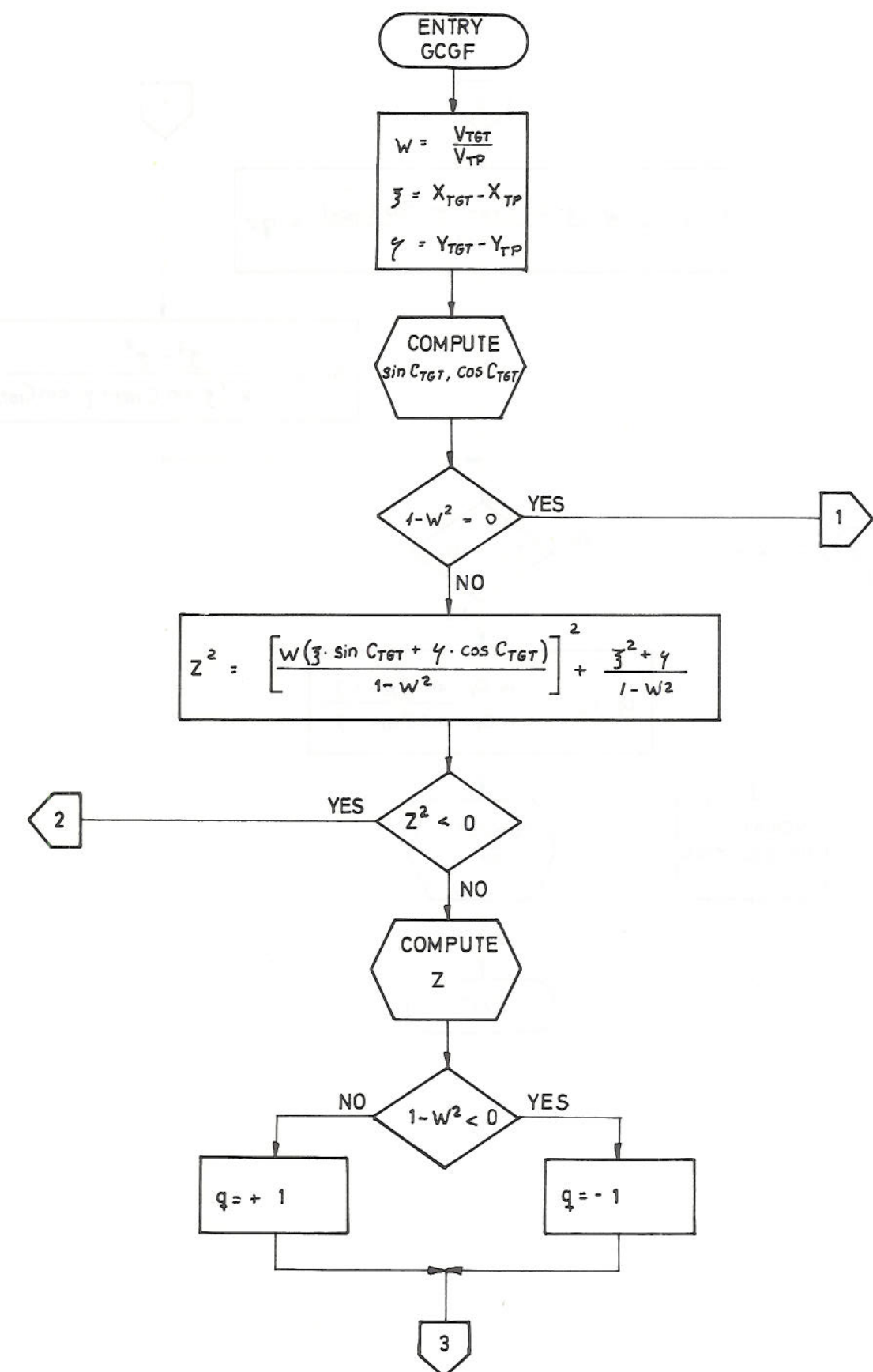


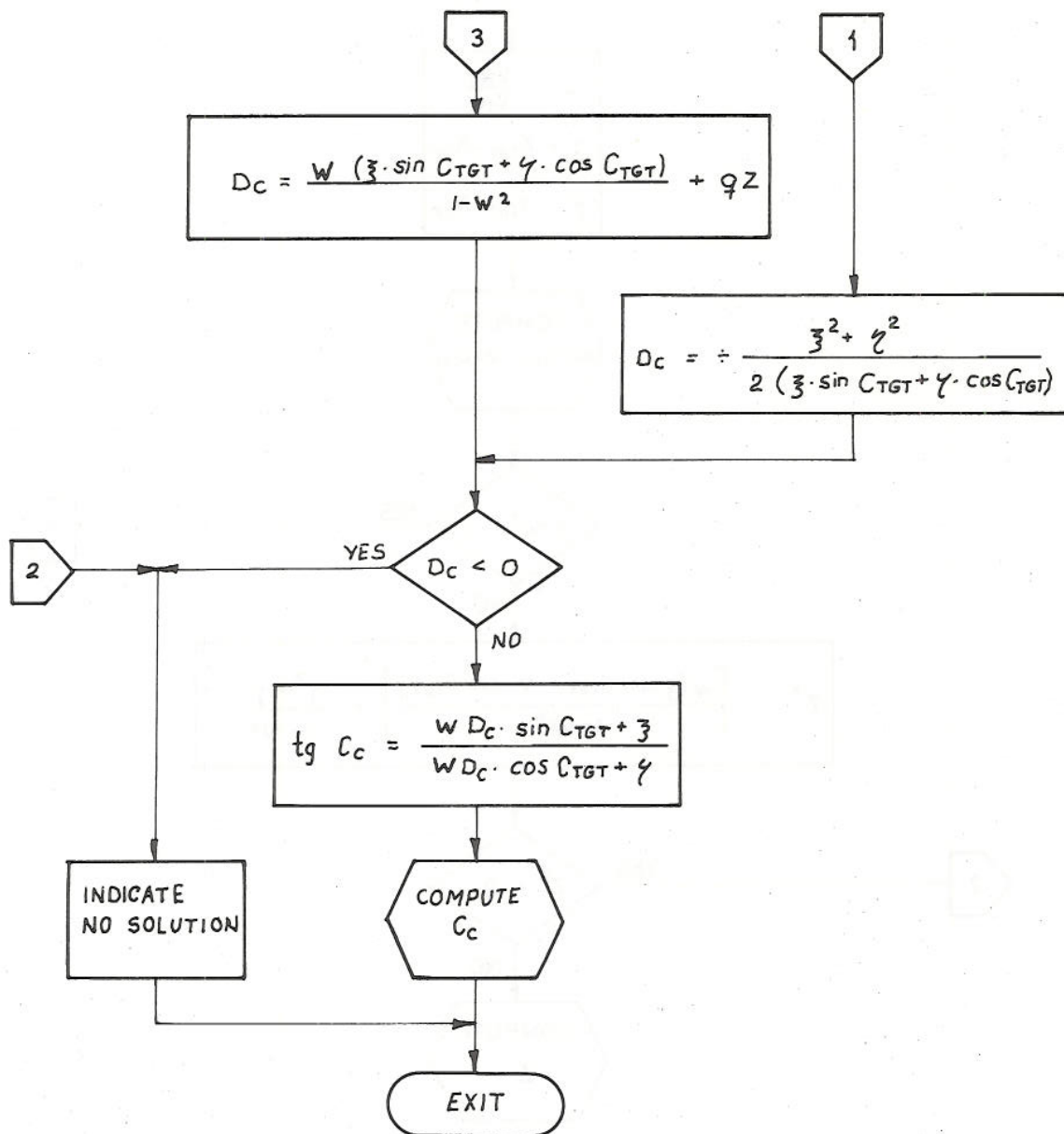




Variables in GCGF

$C_{TGT}$	Target course
$V_{TGT}$	Target speed
$X_{TGT}, Y_{TGT}$	Target coordinates
$V_{TP}$	Torpedo speed
$X_{TP}, Y_{TP}$	Torpedo coordinates
w	Speed ratio
$\xi, \eta$	Coordinate differences
z	Temporary variable
q	Sign
$D_c$	Range from torpedo to collision point
$C_c$	Collision course





LISTINGER

GCCG stack

-75	Salvo file address
-74	$\theta_R$
-73	Temporary variable
-70	Temporary variable
-67	Temporary variable
-64	$\sin C_c$
-63	$\cos C_c$
-62	$\sin C_{os}$
-61	$\cos C_{os}$
-60	$\text{abs}(\theta)$
-59	$\theta$
-58	$X_{TGT}$ and $X'_{TGT}$
-55	$Y_{TGT}$ and $Y'_{TGT}$
-52	$V_Y_{TGT}$
-49	$V_X_{TGT}$
-46	$D_{ACC}$
-43	$T_{ACC}$
-40	R
-37	Tube file address and indicator of iteration start
-36	Return address
-35	$C_{os}$
-34	$V_{os}$
-33	$X_{os}$ and $X'_{os}$
-30	$Y_{os}$ and $Y'_{os}$
-27	$C_{TGT}$
-26	$V_{TGT}$
-25	$X_{TGT}$ (predicted till the time of initial run end)
-22	$Y_{TGT}$ (predicted till the time of initial run end)
-19	$V_{TP}$
-18	$X_{TP}$
-15	$Y_{TP}$
-12	$C_c$
-11	$T_c$
-8	$D_c$
-5	X-comp of $D_c$
-2	Y-comp of $D_c$

0001 \* PROGRAM GCCG COMPUTES GYRO ANGLE OF MK-37 TORPEDO AND INITIAL RUN  
 0002 \* QUANTITIES  
 0003 \*  
 0004 \*  
 0005 LIBR GCCG;GBAE;GBAF;GBAG;GBAH;GBAJ;GBAK  
 0006 XTRN CAAS;EAAX;EAAY;EABC;EABV  
 0007 GCCG AAB 75  
 0008 STL -36,B  
 0009 STX -37,B  
 0010 \*  
 0011 \* PREPARE INPUT DATA  
 0012 \*  
 0013 MIN =A(CAAS),I  
 0014 LDX -75,B ADDR. OF SALVO FILE  
 0015 LDX =A(2),I,X ADDR. OF TARGET DATA FILE  
 0016 LDD =A(3),I,X TARGET COURSE AND SPEED  
 0017 STD -27,B  
 0018 LDF =A(11),I,X TARGET X-C0ORD.  
 0019 STF -58,B  
 0020 LDF =A(17),I,X TARGET Y-C0ORD.  
 0021 STF -55,B  
 0022 LDF =A(14),I,X TARGET SPEED X-COMP.  
 0023 STF -49,B  
 0024 LDF =A(20),I,X TARGET SPEED Y-COMP.  
 0025 STF -52,B  
 0026 LDA =A(EABC),I OWN SHIP COURSE  
 0027 STA -35,B  
 0028 LDA =A(EABV),I OWN SHIP SPEED  
 0029 STA -34,B  
 0030 LDF =A(EAAX),I OWN SHIP X-C0ORD.  
 0031 STF -33,B  
 0032 LDF =A(EAAY),I OWN SHIP Y-C0ORD.  
 0033 STF -30,B  
 0034 CALL CAAT  
 0035 LDX -37,B ADDR. OF TUBE FILE  
 0036 LDL =A(0),I,X TORPEDO TYPE  
 0037 LDA =A(22),I,X TORPEDO SPEED  
 0038 STA -19,B  
 0039 SAX 0 WAR TYPE, LOW SPEED  
 0040 RSZR 0,L  
 0041 AAX 1  
 0042 SUB =#24000 10 M/S  
 0043 RSEN 15,A  
 0044 AAX 2  
 0045 STX -70,B  
 0046 LDA =A(GCCG06),I,X TURN RADIUS  
 0047 NLZ +16  
 0048 STF -40,B  
 0049 LDA =A(GCCG07),I,X ACCELERATION TIME  
 0050 LDL =#14632 TIME CONVERTING CONST.  
 0051 RMPY A,L  
 0052 NLZ +16  
 0053 STF -43,B  
 0054 LDA =A(GCCG08),I,X ACCELERATION DISTANCE  
 0055 NLZ +16  
 0056 STF -46,B  
 0057 \*  
 0058 \*UPDATE TARGET OWN SHIP AND TORPEDO TILL FVS OPERATES  
 0059 \*  
 0060 LDA =A(GCCG09),I PREDICT TIME  
 0061 RMPY A,L  
 0062 NLZ +16  
 0063 STF -67,B  
 0064 LDF -49,B TARGET SPEED X-COMP.  
 0065 FMU -67,B PREDICT TIME  
 0066 FAD -58,B TARGET X-C0ORD.

0067	STF	-58,B	
0068	STF	-25,B	
0069	LDF	-52,B	TARGET SPEED Y-COMP.
0070	FMU	-67,B	PREDICT TIME
0071	FAD	-55,B	TARGET Y-COORD.
0072	STF	-55,B	
0073	STF	-22,B	
0074	LDA	-35,B	OWN SHIP COURSE
0075	CALL	DABA	COMPUTE SINUS
0076	STA	-62,B	
0077	LDX	-34,B	OWN SHIP SPEED
0078	RMPY	A,X	
0079	NLZ	+7	
0080	FMU	-67,B	PREDICT TIME
0081	FAD	-33,B	OWN SHIP X-COORD.
0082	STF	-33,B	
0083	STF	-18,B	
0084	LDA	-35,B	OWN SHIP COURSE
0085	CALL	DACA	COMPUTE COSINUS
0086	STA	-61,B	
0087	RMPY	A,X	
0088	NLZ	+7	
0089	FMU	-67,B	PREDICT TIME
0090	FAD	-30,B	OWN SHIP Y-COORD.
0091	STF	-30,B	
0092	STF	-15,B	
0093	SAA	0	INITIAL VALUE OF TURN ANGLE
0094	STA	-37,B	
0095	LDX	-75,B	SALVO FILE ADDR.
0096	LDA	=A(7),I,X	MODE SEL. STATUS
0097	JAF	GCCG01	
0098	LDX	-70,B	
0099	LDA	=A(GCCG07),I,X	ACCELERATION TIME
0100	STA	=A(GBAE),I	
0101	LDA	=A(GCCG08),I,X	ACCELERATION DISTANCE
0102	STA	=A(GBAF),I	
0103	SAA	0	
0104	STA	=A(GBAG),I	
0105	STA	=A(GBAH),I	
0106	JMP	=A(GCCG03-4),I	
0107	FILL		
0108 *			
0109 *	COMPUTE TURN ANGLE		
0110 *			
0111	GCCG01	CALL GCGF	COMPUTE COLLISION COURSE
0112		JMP =A(GCCG03),I	
0113		LDF -8,B	RANGE TO COLL. POINT
0114		FSB =F11900.0	WIRE LENGTH
0115		BSØN 15,T	
0116		JMP =A(GCCG03),I	NO SOLUTION
0117		LDA -12,B	COLLISION COURSE
0118		SUB -35,B	OWN SHIP COURSE
0119		BØNE 15,X	
0120		STX =A(GBAK),I	
0121		LDW 14,A	
0122		STW 15,A	
0123		STA -59,B	
0124		BSZR 15,A	
0125		CPYC A,A	
0126		LDL =#30000	135 DEGREES
0127		RSUB L,A	
0128		JAN *+9	
0129		BSZR W	
0130		CPYC L,L	
0131		STL -59,B	
0132		LDA -35,B	OWN SHIP COURSE
0133		RADD L,A	
0134		BZRD 15,A	

0135	STA	=A(GRAK),I	
0136	STA	-12,B	
0137	LDA	-59,B	TURN ANGLE
0138	BSZR	15,A	
0139	CPYC	A,A	
0140	STA	-60,B	
0141 *			
0142 *	UPDATE TØRPEDØ AND TARGET TILL END OF TURN		
0143 *			
0144	LDA	-12,B	COLLISION COURSE
0145	LDX	-59,B	TURN ANGLE
0146	CALL	DABA	COMPUTE SINUS
0147	STA	-64,B	
0148	SRL	+17	
0149	LDA	-62,B	SINUS OWN SHIP COURSE
0150	SRA	1	
0151	RSUB	A,D	
0152	COPY	D,A	
0153	NLZ	+2	
0154	FMU	-40,B	TURN RADIUS
0155	BSZR	15,X	
0156	BCRM	15,T	
0157	FAD	-30,B	OWN SHIP Y-CØRD.
0158	STF	-15,B	
0159	LDA	-12,B	COLLISION COURSE
0160	CALL	DACA	COMPUTE COSINUS
0161	STA	-63,B	
0162	SRL	+17	
0163	LDA	-61,B	COSINUS OWN SHIP COURSE
0164	SRA	1	
0165	RSUB	D,A	
0166	NLZ	+2	
0167	FMU	-40,B	TURN RADIUS
0168	BSZR	15,X	
0169	BCRM	15,T	
0170	FAD	-33,B	OWN SHIP X-CØRD.
0171	STF	-18,B	
0172	LDA	-60,B	ABSOLUTE VALUE OF TURN ANGLE
0173	NLZ	+2	
0174	FMU	GCG05	PI
0175	FMU	-40,B	TURN RADIUS
0176	FSB	-46,B	ACCELERATION DISTANCE
0177	BSZN	15,T	
0178	JMP	*+15	
0179	BCRM	15,T	
0180	STF	-70,B	
0181	LDA	-64,B	SINUS COLLISION COURSE
0182	NLZ	+1	
0183	FMU	-70,B	TEMPORARY QUANTITY
0184	FAD	-18,B	TØRPEDØ X-CØRD.
0185	STF	-18,B	
0186	LDA	-63,B	COSINUS COLLISION COURSE
0187	NLZ	+1	
0188	FMU	-70,B	TEMPORARY QUANTITY
0189	FAD	-15,B	TØRPEDØ Y-CØRD.
0190	STF	-15,B	
0191	LDF	-43,B	ACCELERATION TIME
0192	JMP	*+8	
0193	STF	-70,B	
0194	LDA	-19,B	TØRPEDØ SPEED
0195	NLZ	+6	
0196	STF	-73,B	
0197	LDF	-70,B	TEMPORARY QUANTITY
0198	FDV	-73,B	TEMPORARY QUANTITY
0199	FAD	-43,B	ACCELERATION TIME
0200	STF	-70,B	
0201	LDF	-49,B	TARGET SPEED X-CØMP.
0202	FMU	-70,B	TEMPORARY QUANTITY

0203	FAD	-58,B	TARGET X-COORD.
0204	STF	-25,B	
0205	LDF	-52,B	TARGET SPEED Y-COMP.
0206	FMU	-70,B	TEMPORARY QUANTITY
0207	FAD	-55,B	TARGET Y-COORD.
0208	STF	-22,B	
0209	LDA	-37,B	FIRST ITERATION INDICATOR
0210	JAF	*+3	
0211	MIN	-37,B	
0212	JMP	*+10	
0213	LDA	-59,B	TURN ANGLE
0214	SUB	-74,B	OLD VALUE
0215	BZR0	14,A	
0216	CPYC	A,A	
0217	BZR0	13,A	
0218	JMP	GCCG03	NO SOLUTION, COLL. POINT TOO CLOSE
0219	BZR0	15,A	
0220	SRA	4	
0221	JAZ	GCCG02	
0222	LDA	-59,B	TURN ANGLE
0223	STA	-74,B	
0224	JMP	GCCG01	
0225	FILL		
0226 *			
0227 *	PREPARE OUTPUT DATA		
0228 *			
0229	GCCG02	LDF -70,B	INITIAL RUN TIME
0230	DNZ	-9	
0231	LDL	=#12000	
0232	RMPY	A,L	
0233	STA	GBAE	
0234	LDF	-15,B	TORPEDO Y-COORD.
0235	FSB	-30,B	OWN SHIP Y-COORD.
0236	STF	-70,B	
0237	FMU	-70,B	
0238	STF	-73,B	
0239	LDF	-18,B	TORPEDO X-COORD.
0240	FSB	-33,B	OWN SHIP X-COORD.
0241	STF	-67,B	
0242	FMU	-67,B	
0243	FAD	-73,B	TEMPORARY QUANTITY
0244	CALL	DAGA	COMPUTE SQUARE ROOT
0245	DNZ	-16	
0246	STA	GBAF	
0247	LDF	-67,B	TEMPORARY QUANTITY
0248	COPY	T,X	
0249	FDV	-70,B	TEMPORARY QUANTITY
0250	CALL	DAFA	COMPUTE ARC TANGENT
0251	FDV	GCCG05	PI
0252	DNZ	-2	
0253	LDW	15,X	
0254	STW	14,A	
0255	SUB	-35,B	OWN SHIP COURSE
0256	BZR0	15,A	
0257	STA	GBAG	
0258	LDA	-59,B	TURN ANGLE
0259	BZR0	15,A	
0260	STA	GBAH	
0261	COPY	A,L	
0262	SUB	GCCG04	OLD GYRO ANGLE
0263	BZR0	15,A	
0264	BZR0	14,A	
0265	JAF	*+3	
0266	SAA	100	
0267	I0A	*344	
0268	COPY	L,A	
0269	STA	GCCG04	
0270	SRA	1	

0271	I0A	0344								
0272	LDA	-35,B	OWN SHIP COURSE							
0273	STA	GBAJ								
0274	MIN	-36,B								
0275	GCCG03	LDL	-36,B							
0276	AAB	-75								
0277	EXIT									
0278	FILL									
0279	GCCG04	DC	0	STORED GYRO ANGLE						
0280	GCCG05	DC	F3.14159265							
0281	GCCG06	DC	39	TURN RAD. FOR WAR TYPE, LOW SPEED						
0282		DC	39	PRACT. TYPE, LOW SPEED						
0283		DC	60	WAR TYPE, HIGH SPEED						
0284		DC	60	PRACT. TYPE, HIGH SPEED						
0285	GCCG07	DC	175	ACCELERATION TIME						
0286		DC	175							
0287		DC	115							
0288		DC	115							
0289	GCCG08	DC	153	ACCELERATION DISTANCE						
0290		DC	153							
0291		DC	125							
0292		DC	125							
0293	GCCG09	DC	67	PREDICT TIME						
0294	GBAE	DC	0	INITIAL RUN TIME						
0 5	GBAF	DC	0	RANGE OWN SHIP - TORPEDO						
0296	GBAG	DC	0	TORPEDO BEARING						
0297	GBAH	DC	0	TURN ANGLE						
0298	GBAJ	DC	0	OWN SHIP INITIAL COURSE						
0299	GBAK	DC	0	TORPEDO COURSE AT 135 DEGREES LIMIT						
0300	)WRIT	GCCG	GCCG01	GCCG02	GCCG03	GCCG04	GCCG05	GCCG06	GCCG07	GCCG08
0301	)WRIT	GCCG09	GBAE	GBAF	GBAG	GBAH	GBAJ	GBAK		
0302	)KILL	GCCG01	GCCG02	GCCG03	GCCG04	GCCG05	GCCG06	GCCG07	GCCG08	GCCG09
0303		END								

GCDB stack

-12	Salvo file address
-11	Temporary variable
-10	$Y_{os}$
-7	$X_{os}$
-4	$C_{os}$
-3	T
-1	Tube no
0	Return address

0001 \*PROGRAM GCDB UPDATES THE MK-37 TORPEDO TO END OF INITIAL RUN  
 0002 \*  
 0003 \*  
 0004 LIBR GCDB  
 0005 XTRN CAAS;CAAR;EAAX;EAAY;EABC;GBAD;GBDA;GBAE;GBAF;GBAG;GBAH  
 0006 GCDB AAB 12  
 0007 STL 0,B  
 0008 STX -1,B  
 0009 MIN =A(CAAS),I  
 0010 SAX -1  
 0011 LDD =A(CAAR),I,X SYSTEM TIME  
 0012 STD -3,B  
 0013 LDA =A(EABC),I OWN SHIP COURSE  
 0014 STA -4,B  
 0015 LDF =A(EAAX),I OWN SHIP X-CORD.  
 0016 STF -7,B  
 0017 LDF =A(EAAY),I OWN SHIP Y-CORD.  
 0018 STF -10,B  
 0019 CALL CAAT  
 0020 LDX -1,B LENGTH OF TUBE FILE  
 0021 LDA =A(GBAD),I  
 0022 RMPY A,X  
 0023 LDX =A(GBDA) START ADR. OF TUBE FILES  
 0024 RADD D,X  
 0025 LDD -3,B  
 0026 LDL =A(GBAE),I INITIAL RUN TIME  
 0027 RADD L,D  
 0028 RADY Z,A  
 0029 STD =A(28),I,X  
 0030 LDA =A(GBAH),I GYRO SETTING  
 0031 ADD -4,B OWN SHIP COURSE  
 0032 BZR0 15,A  
 0033 STA =A(23),I,X  
 0034 STA =A(24),I,X  
 0035 LDA =A(GBAG),I TORPEDO BEARING REL. TO OWN SHIP AX  
 0036 ADD -4,B OWN SHIP COURSE  
 0037 BZR0 15,A  
 0038 STA -11,B  
 0039 CALL DABA COMPUTE SINUS  
 0040 LDL =A(GBAF),I RANGE OWN SHIP - TORPEDO  
 0041 RMPY A,L  
 0042 NLZ +17  
 0043 FAD -7,B OWN SHIP X-CORD.  
 0044 STF =A(10),I,X  
 0045 LDA -11,B TEMPORARY QUANTITY  
 0046 CALL DACA COMPUTE COSINUS  
 0047 LDL =A(GBAF),I RANGE OWN SHIP - TORPEDO  
 0048 RMPY A,L  
 0049 NLZ +17  
 0050 FAD -10,B OWN SHIP Y-CORD.  
 0051 STF =A(13),I,X  
 0052 LDA =A(2),I,X  
 0053 BNE 15,A  
 0054 STA =A(2),I,X  
 0055 COPY X,T  
 0056 LDX -12,B SALVO FILE ADDRESS  
 0057 LDX =A(2),I,X ADDRESS TO ACTUAL TARGET DATA  
 0058 LDA =A(1),I,X RANGE OS-TGT  
 0059 COPY T,X  
 0060 STA =A(27),I,X SET RANGE TO TARGET  
 0061 LDL 0,B  
 0062 AAB -12  
 0063 EXIT  
 0064 FILL  
 0065 )WRIT GCDB  
 0066 END

GCDD stack

-13	Salvo file address
-12	Temporary variable
-11	$Y_{os}$
-8	$X_{os}$
-5	$V_{os}$
-4	$C_{os}$
-3	T
-1	Tube no
0	Return address

0001 \*PROGRAM GCDD UPDATES THE TP-61 TORPEDO TO END OF INITIAL RUN  
 0002 \*  
 0003 \*  
 0004 LIBR GCDD  
 0005 XTRN CAA9;CAAR;EABC;EABV;EAAX;EAAY;GBAD;GBDA  
 0006 GCDD AAB 13  
 0007 STL 0,B  
 0008 STX -1,B  
 0009 MIN =A(CAAS),I  
 0010 SAX -1  
 0011 LDD =A(CAAR),I,X SYSTEM TIME  
 0012 STD -3,B  
 0013 LDA =A(EABC),I OWN SHIP COURSE  
 0014 STA -4,B  
 0015 LDA =A(EABV),I OWN SHIP SPEED  
 0016 STA -5,B  
 0017 LDF =A(EAAX),I OWN SHIP X-CORD.  
 0018 STF -8,B  
 0019 LDF =A(EAAY),I OWN SHIP Y-CORD.  
 0020 STF -11,B  
 0021 CALL CAAT  
 0022 LDX -1,B  
 0023 LDA =A(GBAD),I LENGTH OF TUBEFILE  
 0024 RMPY A,X  
 0025 LDX =A(GBDA) START ADDRESS OF TUBE FILES  
 0026 RADD D,X  
 0027 LDA GCDD01 TIME IN TUBE  
 0028 ADD GCDD02 ACCELERATION TIME  
 0029 COPY A,L  
 0030 LDD -3,B  
 0031 RADD L,D  
 0032 RADY Z,A  
 0033 STD =A(28),I,X ROUTINE ACTIVATING TIME  
 0034 LDA GCDD01 TIME IN TUBE  
 0035 LDL =#63  
 0036 RMPY A,L  
 0037 LDA -5,B OWN SHIP SPEED  
 0038 RMPY A,D  
 0039 SRA 3  
 0040 ADD GCDD03 ACCELERATION DISTANCE  
 0041 STA -12,B  
 0042 LDA -4,B  
 0043 STA =A(23),I,X OWN SHIP COURSE  
 0044 STA =A(24),I,X TORPEDO COURSE  
 0045 CALL DABA COMPUTE SINUS  
 0046 LDL -12,B TEMPORARY QUANTITY  
 0047 RMPY A,L  
 0048 NLZ +17  
 0049 FAD -8,B OWN SHIP X-CORD.  
 0050 STF =A(10),I,X TORPEDO X-CORD. AT END OF INIT. RU  
 0051 LDA -4,B  
 0052 CALL DACA COMPUTE COSINUS  
 0053 LDL -12,B TEMPORARY QUANTITY  
 0054 RMPY A,L  
 0055 NLZ +17  
 0056 FAD -11,B  
 0057 STF =A(13),I,X TORPEDO Y-CORD. AT END OF INIT. RU  
 0058 LDA =A(2),I,X  
 0059 BNE 15,A  
 0060 STA =A(2),I,X  
 0061 COPY X,T  
 0062 LDX -13,B SALVO FILE ADDRESS  
 0063 LDX =A(2),I,X ADDRESS TO ACTUAL TARGET DATA  
 0064 LDA =A(1),I,X RANGE OS-TGT  
 0065 COPY T,X  
 0066 STA =A(27),I,X SETURANGE TO TARGET  
 0067 LDL 0,B

0068	AAB	-13	
0069	EXIT		
0070	FILL		
0071	GCDD01	DC 42	TIME IN TUBE
0072	GCDD02	DC 80	ACCELERATION TIME
0073	GCDD03	DC 120	ACCELERATION DISTANCE
0074	)WRIT	GCDD GCDD01	
0075	)KILL	GCDD01 GCDD02 GCDD03	
0076	END		

GCGA stack

-46	Salvo file address
-45	Temporary variable
-42	Temporary variable
-39	Tube file address
-38	T
-36	Tube no
-35	Return address
-28	$C_{TP}$
-27	$C_{TGT}$
-26	$V_{TGT}$
-25	$X_{TGT}$
-22	$Y_{TGT}$
-19	$V_{TP}$
-18	$X_{TP}$
-15	$Y_{TP}$
-12	$C_c$
-11	$T_c$
-8	$D_c$
-5	X-comp of $D_c$
-2	Y-comp of $D_c$

0001 \* PROGRAM GCGA COMPUTES COLLISION COURSE, TIME TILL IMPACT AND RANGE TO  
0002 \* COLLISION POINT.  
0003 \*  
0004 \*  
0005 XTRN CAAS;CAAR;GBAD;GBDA;GBAJ  
0006 LIBR GCGA  
0007 GCGA AAB 46  
0008 STL -35,B  
0009 STX -36,B  
0010 \*  
0011 \* PREPARE INPUT DATA  
0012 \*  
0013 MIN =A(CAAS),I  
0014 SAX -1  
0015 LDD =A(CAAR),I,X SYSTEM TIME  
0016 STD -38,B  
0017 LDX -46,B  
0018 LDX =A(2),I,X ADDR. OF SALVO FILE  
0019 LDC =A(3),I,X ADDR. OF TARGET DATA FILE  
TARGET COURSE AND SPEED  
0020 STD -27,B  
0021 LDF =A(11),I,X TARGET X-COORD.  
0022 STF -25,B  
0023 LDF =A(17),I,X TARGET Y-COORD.  
0024 STF -22,B  
0025 LDX -36,B TUBE NO.  
0026 LDA =A(GBAD),I LENGTH OF TUBE FILE  
0027 RMPY A,X  
0028 LDX =A(GBDA) START ADDR. OF TUBE FILES  
0029 RADD D,X  
0030 STX -39,B  
0031 LDA =A(22),I,X TORPEDØ SPEED  
0032 STA -19,B  
0033 LDA =A(23),I,X TORPEDØ COURSE  
0034 STA -28,B TORPEDØ X-COORD.  
0035 LDF =A(10),I,X  
0036 STF -18,B  
0037 LDF =A(13),I,X TORPEDØ Y-COORD.  
0038 STF -15,B  
0039 CALL CAAT  
0040 \*  
0041 \* DETERMINE SPREAD DATA  
0042 \*  
0043 LDX -46,B ADDR. OF SALVO FILE  
0044 LDL =A(1),I,X NUMBER OF TORPEDØES IN SALVO  
0045 BSZN 1,L  
0046 JMP GCGA01  
0047 BSZN 0,L  
0048 JMP \*+4  
0049 LDA =A(5),I,X SECOND SELECTED TUBE  
0050 SUB -36,B TUBE NO.  
0051 JAZ GCGA01  
0052 LDD =A(2),I,X SPREAD DATA IN D-REG.  
0053 BSZN 0,L  
0054 SRD 1  
0055 LDA =A(4),I,X FIRST SELECTED TUBE  
0056 SUB -36,B TUBE NO9  
0057 JAF \*+2  
0058 CPYC D,D  
0059 COPY D,X  
0060 LDA -27,B TARGET COURSE  
0061 CALL DABA COMPUTE SINUS  
0062 RMPY A,X  
0063 NLZ +17  
0064 FAD -25,B TARGET X-COORD.  
0065 STF -25,B  
0066 LDA -27,B TARGET COURSE

```

0067      CALL    DACA          COMPUTE COSINUS
0068      RMPY    A,X
0069      NLZ     +17
0070      FAD     -22,B
0071      STF     -22,B
0072      JMP     GCGA01
0073      FILL
0074 *
0075 * TEST IF SOLUTION IS ACCEPTABLE
0076 *
0077 GCGA01   CALL    GCGF          COMP. COLL.COURSE, RANGE AND TIME
0078      JMP     GCGA00
0079      LDA     -12,B
0080      SUB    -28,B
0081      BSZR    14,A
0082      CPYC    A,A
0083      BZR0    15,A
0084      CALL    DABA          COMPUTE SINUS
0085      LDL     -19,B
0086      RMPY    A,L
0087      LDX     -39,B
0088      LDX     =A(0),I,X
0089      LDL     =#7123
0090      BSZR    1,X
0091      LDL     =#3451
0092      RMPY    A,L
0093      NLZ     +16
0094      FSB     -8,B
0095      BSZR    15,T
0096      JMP     *+4
0097      LDL     =300
0098      MIN     -35,B
0099      JMP     GCGA00+1
0100      LDA     -12,B
0101      LDX     -39,B
0102      LDL     =A(0),I,X
0103      BS0N    1,L
0104      JMP     *+18
0105      LDL     =A(GBAJ),I
0106      BSZR    15,L
0107      JMP     *+15
0108      RSUB    L,A
0109      LDW     14,A
0110      BSZR    W
0111      CPYC    A,A
0112      BZR0    15,A
0113      SUB     =#30000
0114      JAN     *+7
0115      LDA     =#30000
0116      BSZR    W
0117      CPYC    A,A
0118      RADD    L,A
0119      BZR0    15,A
0120      JMP     *+2
0121      LDA     -12,B
0122      STA     =A(24),I,X
0123 *
0124 * PREPARE OUTPUT DATA
0125 *
0126      CALL    GCGB          COMPUTE TERMINATING RUN
0127      LDX     -39,B
0128      LDL     =A(1),I,X
0129      LDF     -8,B
0130      DNZ     -16
0131      BSZR    2,L
0132      ADD     =A(40),I,X
0133      STA     =A(27),I,X
0134      LDF     -11,B
                                         ADDR. OF TUBE FILE
                                         TORPEDO STATE
                                         RANGE TO COLLISION POINT
                                         ADDITIONAL RANGE
                                         TIME TILL IMPACT

```

0135	DNZ	=27	
0136	LDA	=#50000	CONVERSION FACTOR
0137	RMPY	A,D	
0138	BSZR	2,L	
0139	ADD	=A(41),I,X	ADDITIONAL TIME
0140	STA	=A(26),I,X	
0141	COPY	L,T	
0142	SAL	40	ROUTINE ACTIVATING INTERVAL
0143	LDL	-38,B	SYSTEM TIME
0144	RADD	L,D	
0145	RADY	Z,A	
0146	STD	=A(28),I,X	
0147	MIN	-35,B	
0148	BSQN	2,T	
0149	JMP	GCGA00+6	
0150	SUB	=A(34),I,X	MANEUVER START TIME
0151	JAN	GCGA00+6	
0152	JAF	*+4	
0153	COPY	D,A	MANEUVER START TIME
0154	SUB	=A(35),I,X	
0155	JAN	GCGA00+6	MANEUVER END COURSE
0156	LDA	=A(36),I,X	FIRST TURN END COURSE
0157	SUB	=A(33),I,X	
0158	BSZR	14,A	
0159	CPYC	A,A	
0160	BZR0	15,A	
0161	COPY	A,D	
0162	LDL	=A(0),I,X	TORPEDO TYPE
0163	LDA	=#3410	INVERSE TURN RATE TP=61
0164	BSZR	1,L	
0165	LDA	=#1604	INVERSE TURN RATE MK=37
0166	RMPY	A,D	
0167	COPY	A,L	
0168	LDL	=A(37),I,X	FIRST TURN END TIME
0169	JMP	GCGA00+3	
0170	GCGA00	SAL	ROUTINE ACTIVATING INTERVAL
0171		40	SYSTEM TIME
0172		-38,B	TUBE FILE ADDR.
0173		LDX	
0174		RADD	
0175		RADY	
0176		STD	ROUTINE ENTRY
0177		LDA	
0178		STA	
0179		LDL	
0180		AAB	
0181		-35,B	
0182	)WRIT	46	
0183	)KILL	EXIT	
0184		FILL	
		GCGA GCGA01 GCGA00	
		GCGA01 GCGA00	
		END	

GCGB stack

-86	Temporary variable
-83	Temporary variable
-80	Tube file address
-79	T
-67	$V_{TGT}$
-60	$V_{TP}$
-53	$C_c$
-40	Return address
-39	$V_{TP}$ (floating point)
-36	$\alpha$
-35	R
-32	w
-29	$\cos \theta_1$
-26	$\sin \theta_1$
-23	K
-20	$\sin \gamma$
-17	$\cos \gamma$
-14	$\gamma$
-13	w sin $\gamma$
-10	$\sin \alpha$
-7	w cos $\alpha$ - 1
-4	$\cos \alpha$
-1	$\beta$
0	$\theta_1$

0001 \* PROGRAM GCGB COMPUTES A TERMINATION RUN TO IMPROVE ATTACK ANGLE  
0002 \*  
0003 \*  
0004 LIBR GCGB;GBAM  
0005 GCGB LDX -36,B TUBE NO.  
0006 MIN =A(GBAM),I,X TIME CONTROL  
0007 EXIT  
0008 AAB 41  
0009 STL -40,B  
0010 SAA -4  
0011 STA =A(GBAM),I,X  
0012 LDA -68,B TARGET COURSE  
0013 SUB -53,E COLL. COURSE  
0014 BZR0 15,A  
0015 STA -36,B  
0016 BSZR 13,A  
0017 CPYC A,A  
0018 AND #37777  
0019 SUB #3434 20 DEGREES  
0020 SAL 1 COLLISION MODE  
0021 BSZR 15,A  
0022 SAL 4 TERMINATION RUN MODE  
0023 LDX -80,B ADDR. OF TUBE FILE  
0024 STL =A(1),I,X  
0025 JAN +4  
0026 LDL -40,E  
0027 AAB -41  
0028 EXIT  
0029 LDL =A(0),I,X TORPEDO TYPE  
0030 LDX #1625 INVERSE TURN RATE TP=61  
0031 BSZR 1,L  
0032 LDX #712 INVERSE TURN RATE MK=37  
0033 LDA -60,B TORPEDO SPEED  
0034 RMPY A,X  
0035 NLZ +16  
0036 STF -35,B  
0037 LDA -60,B TORPEDO SPEED  
0038 NLZ +6  
0039 STF -39,B  
0040 LDA -67,B TARGET SPEED  
0041 NLZ +12  
0042 FDV -39,B TORPEDO SPEED  
0043 STF -32,B  
0044 LDX #200000 START VALUE OF ITERATION ANGLE  
0045 LDL #12525 IMPROVED ATTACK ANGLE (60 DEGREES)  
0046 LDD -36,B PRESENT ATT. ANG. AND EXP. OF TURN  
0047 BSQN 13,A  
0048 JMP +45  
0049 CPYC X,X  
0050 BCZM 15,D  
0051 CPYC L,L  
0052 BZR0 15,L  
0053 LDW 14,A  
0054 BSEW 13,A  
0055 BCQM 14,L  
0056 STX 0,B  
0057 STL -1,B  
0058 STD -36,B  
0059 \*  
0060 \*COMPUTE CONSTANT IN ITERATION EQUATION FOR FIRST TURN ANGLE  
0061 \*  
0062 CALL DACA COMPUTE COSINUS  
0063 NLZ +1  
0064 STF -4,B COSINUS ATTACK ANGLE  
0065 FMU -32,B SPEED RATIO  
0066 FSP =A(GCGB03),I

0067	STF	-7,B	
0058	FMU	-35,B	TURN RADIUS
0069	STF	-83,B	
0070	LDA	-36,B	PRESENT ATTACK ANGLE
0071	CALL	DABA	COMPUTE SINUS
0072	NLZ	+1	
0073	STF	-10,B	SINUS ATTACK ANGLE
0074	FMU	-32,B	SPEED RATIO
0075	STF	-13,B	
0076	LDA	-1,B	IMPROVED ATTACK ANGLE
0077	SUB	-36,B	PRESENT ATTACK ANGLE
0078	STA	-14,B	
0079	NLZ	+2	
0080	FMU	=A(GCGR02),I	PI
0081	FMU	-35,B	TURN RADIUS
0082	FAD	=A(GCGB04),I	FINAL STRAIGHT RUN
0083	FMU	-13,B	
0084	FAD	-83,B	TEMPORARY QUANTITY
0085	STF	-83,B	
0086	LDF	-4,B	COSINUS ATTACK ANGLE
0087	FMU	-35,B	TURN RADIUS
0088	STF	-86,B	
0089	LDF	-10,B	SINUS ATTACK ANGLE
0090	FMU	=A(GCGB04),I	FINAL STRAIGHT RUN
0091	FSB	-86,B	TEMPORARY QUANTITY
0092	FMU	-32,B	SPEED RATIO
0093	FAD	-35,B	TURN RADIUS
0094	STF	-86,B	
0095	LDA	-14,B	
0096	BZR0	15,A	
0097	CALL	DACA	COMPUTE COSINUS
0098	NLZ	+1	
0099	STF	-17,B	
0100	FMU	-86,B	TEMPORARY QUANTITY
0101	FSB	-83,B	TEMPORARY QUANTITY
0102	STF	-83,B	
0103	LDF	-10,B	
0104	FMU	-35,B	TURN RADIUS
0105	STF	-86,B	
0106	LDF	-4,B	
0107	FMU	=A(GCGB04),I	FINAL STRAIGHT RUN
0108	FAD	-86,B	TEMPORARY QUANTITY
0109	FMU	-32,B	SPEED RATIO
0110	FSB	=A(GCGB04),I	
0111	STF	-86,B	
0112	LDA	-14,B	
0113	BZR2	15,A	
0114	CALL	DABA	COMPUTE SINUS
0115	NLZ	+1	
0116	STF	-20,B	
0117	FMU	-86,B	TEMPORARY QUANTITY
0118	FAD	-83,B	TEMPORARY QUANTITY
0119	FDV	-35,B	TURN RADIUS
0120	RADD,N	Z,T	
0121	STF	-23,B	
0122	LDA	0,B	ITERATION ANGLE
0123	JMP	GCGB01	
0124	FILL		
0125	*		
0126	*	ITERATION OF FIRST TURN ANGLE	
0127	*		
0128	GCGB01	RZR0 15,A	
0129		CALL DABA	COMPUTE SINUS
0130		NLZ +1	
0131		STF -26,B	SINUS ITERATION ANGLE
0132		FMU -7,B	
0133		STF -83,B	
0134		LDA 0,B	ITERATION ANGLE

0135	BZR	15,A	
0136	CALL	DACA	COMPUTE COSINUS
0137	NLZ	+1	
0138	STF	-29,B	COSINUS ITERATION ANGLE
0139	FSR	GCGB03	CONST. 1.0
0140	FMU	-13,B	
0141	FSB	-83,B	TEMPORARY QUANTITY
0142	STF	-83,B	
0143	LDA	0,B	ITERATION ANGLE
0144	NLZ	+2	
0145	FMU	GCGB02	PI
0146	FSB	-26,B	
0147	PCM	15,T	
0148	FMU	-13,B	
0149	STF	-86,B	
0150	LDF	-29,B	
0151	FMU	-7,B	
0152	FAD	-86,B	TEMPORARY QUANTITY
0153	FAD	-23,B	
0154	FDV	-83,B	TEMPORARY QUANTITY
0155	FDV	GCGB02	PI
0156	DNZ	+2	
0157	STA	-83,B	
0158	JAP	*+2	
0 9	CPYC	A,A	
0160	SRA	9	
0161	CPY	A,X	
0162	LDA	0,B	ITERATION ANGLE
0163	SUR	-83,B	TEMPORARY QUANTITY
0164	STA	0,B	
0165	JXZ	*+2	
0166	JMP	GCGB01	
0167 *			
0168 *	PREPARE OUTPUT		
0169 *			
0170	LDX	-80,B	ADDR. OF TUBE FILE
0171	LDA	0,B	FIRST TURN ANGLE
0172	ADD	-53,B	COLL. COURSE
0173	BZR	15,A	
0174	STA	=A(33),I,X	
0175	LDA	-53,B	
0176	SUR	-14,B	COLL. COURSE
0177	PZR	15,A	ATTACK ANGLE IMPROVEMENT
0 8	STA	=A(36),I,X	
0179	LDF	-17,B	
0180	FMU	GCGB04	FINAL STRAIGHT RUN
0181	STF	-83,B	
0182	LDF	-20,B	
0183	FMU	-35,B	TURN RADIUS
0184	FAD	-83,B	TEMPORARY QUANTITY
0185	STF	-83,B	
0186	LDF	-26,B	
0187	FMU	-35,B	TURN RADIUS
0188	CPYI	T,T	
0189	FAD	-83,B	TEMPORARY QUANTITY
0190	STF	-83,B	
0191	LDF	=F10.0	TIME CONVERTING CONST.
0192	FDV	-39,B	TORPEDO SPEED
0193	DNZ	-2	
0194	CPY	A,L	
0195	LDA	0,B	FIRST TURN ANGLE
0196	SLA	1	
0197	ADD	-14,B	
0198	NLZ	+2	
0199	FMU	GCGB02	PI
0200	FMU	-35,B	TURN RADIUS
0201	FAD	GCGB04	FINAL STRAIGHT RUN
0202	STF	-86,B	

0203	FNU	-32,B	SPEED RATIO
0204	FNU	-4,B	
0205	FSB	-83,B	TEMPORARY QUANTITY
0206	FDV	-7,B	
0207	STF	-83,B	
0208	BNE	15,T	
0209	FAD	-86,B	TEMPORARY QUANTITY
0210	DNZ	-16	
0211	STA	=A(40),I,X	
0212	SLL	2	
0213	RMPY	A,L	
0214	STA	=A(41),I,X	
0215	LDF	-49,B	RANGE TORPEDO - OLD COLL. POINT
0216	FSR	-83,B	TEMPORARY QUANTITY
0217		DNZ -16	
0218	RMPY	A,L <544 2	
0219	COPY	A,T	
0220	LDD	-79,B	SYSTEM TIME
0221	RADD	T,D	
0222	RADY	Z,A	
0223	STD	=A(34),I,X	
0224	LDA	0,B	FIRST TURN ANGLE
0225	NLZ	+2	
0226	FNU	GCGB02	PI
0227	FNU	-35,B	TURN RADIUS
0228	DNZ	-14	
0229	RMPY	A,L	
0230	COPY	A,T	
0231	LDD	=A(34),I,X	
0232	RADD	T,D	
0233	RADY	Z,A	
0234	STD	=A(37),I,X	
0235	LDL	-40,B	
0236	AAB	-41	
0237	EXIT		
0238	FILL		
0239	GCGB02	DC F3.14159265	
0240	GCGB03	DC F1.0	
0241	GCGB04	DC F400.0	FINAL STRAIGHT RUN
0242	GBAM	DC -1	TIME CONTROL
0243		DC -1	
0244		DC -1	
0245		DC -1	
0246		DC -1	
0247		DC -1	
0248		DC -1	
0249		DC -1	
0250	)WRIT	GCGB GCGB01 GCGB02	
0251	)KILL	GCGB01 GCGB02 GCGB03 GCGB04	
0252		END	

GCGC stack

-53	Salvo file address
-52	$\cos \beta$
-49	$\sin \beta$
-46	$V_{TP}$ (floating point)
-43	$\beta_o$
-42	$D_2$
-39	$D_1$
-36	$I_1, I_2$ and $I_3$
-35	R
-32	$\theta$
-31	$\beta$
-30	$D_o$
-27	$\cos \alpha$
-24	$\sin \alpha$
-21	$\alpha$
-20	w
-17	Temporary variable
-14	Temporary variable
-11	Temporary variable
-8	$V_{TP}$
-7	$C_{TP}$
-6	T
-4	$C_{TGT}$
-3	$V_{TGT}$
-2	$\phi_{TGT}$
-1	Tube no
0	Return address

0001 \* PROGRAM GCGC COMPUTES TØRPEDØ TURN AFTER PASSING TARGET.  
 0002 \*  
 0003 \*  
 0004 XTRN CAAS;CAAR;GBDA;GBAD;GCGA  
 0005 LIBR GCGC  
 0006 GCGC AAB 53  
 0007 STL 0,B  
 0008 STX -1,B  
 0009 \*  
 0010 \* PREPARE INPUT DATA  
 0011 \*  
 0012 MIN =A(CAAS),I  
 0013 LDX -53,B ADDR. ØF SALVO FILE  
 0014 LDA =A(3),I,X TARGET LENGTH  
 0015 STA -30,B  
 0016 LDX =A(2),I,X PØINTER TO TARGET DATA  
 0017 LDA =A(2),I,X TARGET BEARING  
 0018 STA -2,B  
 0019 LDD =A(3),I,X TARGET COURSE AND SPEED  
 0020 STD -4,B  
 0021 SAX -1  
 0022 LDD =A(CAAR),I,X SYSTEM TIME  
 0023 STD -6,B  
 0024 LDX -1,B  
 0025 LDA =A(GBAD),I LENGTH ØF TUBE FILE  
 0026 RMPY A,X  
 0027 LDX =A(GBDA) START ADDR. ØF TUBE FILES  
 0028 RADD D,X  
 0029 STX -1,B  
 0030 LDD =A(22),I,X TØRPEDØ SPEED AND COURSE  
 0031 STD -8,B  
 0032 CALL CAAT  
 0033 NLZ +6  
 0034 STF -46,B  
 0035 LDA =A(9),I,X TARGET PASSAGES  
 0036 AAA -3  
 0037 JAF \*+2  
 0038 JMP =A(GCGC07-1),I TARGET SPEED  
 0039 LDA -3,B  
 0040 NLZ +12  
 0041 FDV -46,B TØRPEDØ SPEED  
 0042 STF -20,B  
 0043 LDA -4,B TARGET COURSE  
 0044 SUB -7,B TØRPEDØ COURSE  
 0045 BZRØ 15,A  
 0046 STA -21,B  
 0047 CALL DABA COMPUTE SINUS  
 0048 NLZ +1  
 0049 STF -24,B  
 0050 LDA -21,B OLD ATTACK ANGLE  
 0051 CALL DACA COMPUTE CØSINUS  
 0052 NLZ +1  
 0053 STF -27,B  
 0054 LDA -30,B TARGET LENGTH  
 0055 NLZ +16  
 0056 LDL =A(9),I,X TARGET PASSAGES  
 0057 BSZN 1,L  
 0058 JMP \*+3  
 0059 RAD1 Z,T  
 0060 BONE 15,T  
 0061 STF -30,B  
 0062 LDA -2,B TARGET BEARING  
 0063 SUB -4,B TARGET COURSE  
 0064 BSZN 1,L  
 0065 PCOM 14,A  
 0066 BZRN 15,A

0067	STA	-31,B	
0068	STA	-43,B	
0069	ADD	-21,B	OLD ATTACK ANGLE
0070	STA	-32,B	
0071	LDL	=A(0),I,X	TØRPEDØ TYPE
0072	LDA	=A(22),I,X	TØRPEDØ SPEED
0073	LDX	=#1625	INVERSE TURN RATE TP-61
0074	RSZR	1,L	
0075	LDX	=#712	INVERSE TURN RATE MK-37
0076	RMPY	A,X	
0077	NLZ	+16	
0078	LDL	-32,B	TØRPEDØ TURN
0079	BSZR	15,L	
0080	BØNE	15,T	
0081	STF	-35,B	
0082	SAA	0	
0083	STA	-36,B	
0084	STA	-8,B	
0085	COPY	A,L	
0086	JMP	GCGCOO	
0087	FILL		
0088	*		
0089	*	COMPUTE STRAIGHT RUNS IN TURN MANEUVER	
0090	*		
0091	GCGCOO	BSZR	0,L
0092		JMP	*+5
0093		LDA	-31,B
0094		CALL	DABA
0095		NLZ	+1
0096		STF	-49,B
0097		LDF	-20,B
0098		FSB	-27,B
0099		FMU	-49,B
0100		STF	-11,B
0101		LDL	-36,B
0102		BSZR	0,L
0103		JMP	*+5
0104		LDA	-31,B
0105		CALL	DACA
0106		NLZ	+1
0107		STF	-52,B
0108		LDF	-20,B
0109		FSB	-52,B
0110		STF	-14,B
0111		FMU	-24,B
0112		FAD	-11,B
0113		STF	-11,B
0114		LDF	-27,B
0115		FSB	-52,B
0116		STF	-17,B
0117		FMU	-14,B
0118		STF	-14,B
0119		LDA	-32,B
0120		NLZ	+2
0121		FMU	=A(GCGC02),I
0122		FMU	-20,B
0123		BCØM	15,T
0124		FAD	-49,B
0125		FAD	-24,B
0126		FMU	-49,B
0127		FAD	-14,B
0128		FMU	-35,B
0129		STF	-14,B
0130		LDF	-30,B
0131		FMU	-49,B
0132		BCØM	15,T
0133		FAD	-14,B
0134		FDV	-11,B

0135	STF	-39,B	
0136	LDF	-17,B	TEMPORARY QUANTITY
0137	FMU	-35,B	TURN RADIUS
0138	STF	-11,B	
0139	LDF	-39,B	FIRST STRAIGHT RUN
0140	FMU	-24,B	SINUS OLD ATTACK ANGLE
0141	FSB	-11,B	TEMPORARY QUANTITY
0142	FDV	-49,B	SINUS NEW ATTACK ANGLE
0143	STF	-42,B	
0144 *			
0145 *	TEST IF SOLUTION IS ACCEPTABLE		
0146 *			
0147	FSB	=A(GCGC05),I	LOCKING DISTANCE
0148	BSZR	15,T	
0149	JMP	*+15	
0150	LDF	-39,B	FIRST STRAIGHT RUN
0151	FSB	=A(GCGC05),I	LOCKING DISTANCE
0152	BSZR	15,T	
0153	JMP	*+11	
0154	LDA	-32,B	TURN ANGLE
0155	NLZ	+2	
0156	FMU	=A(GCGC02),I	PI
0157	FMU	-35,B	TURN RADIUS
0158	STF	-11,B	
0159	FAD	-39,B	FIRST STRAIGHT RUN
0160	FAD	-42,B	SECOND STRAIGHT RUN
0161	FSB	=F3000.0	UPPER LIMIT OF MANEUVER LENGTH
0162	BSZR	15,T	
0163	JMP	GCGC01	
0164	LDL	-36,B	TEST WORD
0165	BSZR	0,L	
0166	JMP	*+10	
0167	BONE	0,L	
0168	LDA	-32,B	TURN ANGLE
0169	BCOM	15,A	
0170	STA	-32,B	
0171	LDA	-35,B	TURN RADIUS
0172	BCOM	15,A	
0173	STA	-35,B	
0174	STL	-36,B	
0175	JMP	GCGC00	
0176	RZR0	0,L	
0177	LDA	-35,B	EXP. OF TURN RADIUS
0178	BCOM	15,A	
0179	STA	-35,B	
0180	LDX	-8,B	INCREMENT FACTOR
0181	BSZR	1,L	
0182	JMP	*+3	
0183	AAX	1	
0184	STX	-8,B	
0185	BCOM	1,L	
0186	BSZN	1,L	
0187	CPYC	X,X	
0188	LDA	=#707	5 DEGREES INCREMENT
0189	RMPY	A,X	
0190	LDA	-43,B	INITIAL NEW ATTACK ANGLE
0191	LDW	14,A	
0192	RADD	D,A	
0193	RSEW	14,A	
0194	JMP	*+7	
0195	STA	-31,B	
0196	ADD	-21,B	OLD ATTACK ANGLE
0197	STA	-32,B	
0198	BZR0	2,L	
0199	STL	-36,B	
0200	JMP	GCGC00	
0201	BSZR	2,L	
0202	JMP	*+3	

0203	BNE	2,L	
0204	JMP	*-24	
0205	LDX	-1,B	TUBE FILE ADDR.
0206	JMP	GCGC07	
0207	FILL		
0208 *			
0209 * PREPARE OUTPUT			
0210 *			
0211 GCGC01	LDA	-32,B	TURN ANGLE
0212	SRA	1	
0213	COPY	A,D	
0214	ADD	-7,B	TØRPEDØ COURSE
0215	BZRØ	15,A	
0216	LDX	-1,B	ADDR. OF ACTUAL TUBE FILE
0217	STA	=A(33),I,X	
0218	RADD	D,A	
0219	BZRØ	15,A	
0220	STA	=A(36),I,X	
0221	LDF	=F10.0	TIME CONVERTING CONST.
0222	FDV	-46,B	TØRPEDØ SPEED
0223	DNZ	-2	
0224	COPY	A,L	
0225	LDF	-39,B	FIRST STRAIGHT RUN
0226	FSB	GCGC05	LOCKING DISTANCE
! 7	DNZ	-14	
0228	RMPY	A,L	
0229	COPY	A,T	
0230	LDD	-6,B	SYSTEM TIME
0231	RADD	T,D	
0232	RADY	Z,A	
0233	STD	=A(34),I,X	
0234	LDF	-11,B	TEMPORARY QUANTITY
0235	RADD,N	Z,T	
0236	DNZ	-14	
0237	RMPY	A,L	
0238	COPY	A,T	
0239	LDD	=A(34),I,X	
0240	RADD	T,D	
0241	RADY	Z,A	
0242	STD	=A(37),I,X	
0243	LDF	-11,B	TEMPORARY QUANTITY
0244	FAD	-39,B	FIRST STRAIGHT RUN
0245	FAD	-42,B	SECOND STRAIGHT RUN
! 6	FSB	GCGC05	LOCKING DISTANCE
0247	DNZ	-16	
0248	STA	=A(27),I,X	
0249	SLL	2	
0250	RMPY	A,L	
0251	STA	=A(26),I,X	
0252	LDF	GCGC05	LOCKING DISTANCE
0253	FAD	-42,B	SECOND STRAIGHT RUN
0254	FAD	-11,B	TEMPORARY QUANTITY
0255	DNZ	-14	
0256	RMPY	A,L	
0257	COPY	A,T	
0258	LDD	=A(34),I,X	TIME FOR START OF TURN
0259	RADD	T,D	
0260	RADY	Z,A	
0261	STD	=A(28),I,X	
0262	LDA	=A(GCGC)	
0263	STA	=A(30),I,X	
0264	MIN	=A(9),I,X	
0265	MIN	0,B	
0266	JMP	*+14	
0267	MIN	0,B	
0268 GCGC07	LDD	-6,B	SYSTEM TIME
0269	SAL	100	
0270	RADD	L,D	

0271 RADY Z,A  
0272 STD =A(28),I,X  
0273 LDA =A(GCGA)  
0274 STA =A(30),I,X  
0275 SAA 1  
0276 STA =A(1),I,X  
0277 STA =A(9),I,X  
0278 LDA =301  
0279 STA =A(27),I,X  
0280 MIN =A(31),I,X  
0281 LDL 0,B  
0282 AAB -53  
0283 EXIT  
0284 FILL  
0285 GCGC02 DC F3.14159265 PI  
0286 GCGC05 DC F300.0 LOCKING DISTANCE  
0287 )WRIT GCGC GCGC00 GCGC01 GCGC02 GCGC05 GCGC07  
0288 )KILL GCGC00 GCGC01 GCGC02 GCGC05 GCGC07  
0289 END

GCGD stack

-43	Salvo file address
-41	R
-38	Tube file address
-37	S
-34	Mode selector status
-33	T
-31	$V_{TP}$
-30	$C_{TP}$
-29	A
-26	$D_{TP}$
-23	Temporary variable
-20	Temporary variable
-17	Temporary variable
-14	$\Phi_{TGT}$
-13	$Y_{os}$
-10	$X_{os}$
-7	$Y_{TP}$
-4	$X_{TP}$
-1	Tube no
0	Return address

```

0001 * PROGRAM GCGD COMPUTES TORPEDO COURSE AT LINE-OF-SIGHT GUIDANCE
0002 *
0003 *
0004      XTRN    CAAS;CAAR;GBAD;GBDA;EAAX;EAAY
0005      LIBR    GCGD
0006 GCGD    AAB    43
0007      STL    0,B
0008      STX    -1,B
0009 *
0010 * PREPARE INPUT DATA
0011 *
0012      MIN    =A(CAAS),I
0013      LDX    -43,B
0014      LDA    =A(7),I,X
0015      STA    -34,B
0016      LDX    =A(2),I,X
0017      LDA    =A(2),I,X
0018      STA    -14,B
0019      LDF    =A(EAAX),I
0020      STF    -10,B
0021      LDF    =A(EAAY),I
0022      STF    -13,B
0023      LDX    -1,B
0024      LDA    =A(GBAD),I
0025      RMPY   A,X
0026      LDX    =A(GBDA)
0027      RADD  D,X
0028      STX    -38,B
0029      LDD    =A(22),I,X
0030      STD    -31,B
0031      LDF    =A(10),I,X
0032      STF    -4,B
0033      LDF    =A(13),I,X
0034      STF    -7,B
0035      SAX    -1
0036      LDD    =A(CAAR),I,X
0037      STD    -33,B
0038      CALL   CAAT
0039      LDX    -38,B
0040      LDA    =A(2),I,X
0041      BSZR  10,A
0042      JMP    *+5
0043      BNE   10,A
0044      STA    =A(2),I,X
0045      SAA    0
0046      STA    =A(39),I,X
0047      LDL    -34,B
0048      LDA    -30,B
0049      SUB   -14,B
0050      BSZR  14,A
0051      BC0M  13,A
0052      LDW   13,A
0053      BSNW  0,L
0054      JMP    GCGD04
0055      LDA    -14,B
0056      BSZR  0,L
0057      BC0M  14,A
0058      JMP    =A(GCGD03),I
0059      FILL
0060 *
0061 * DETERMINE SPREAD DATA
0062 *
0063 GCGD04  LDX    -43,B
0064      LDL    =A(1),I,X
0065      LDA    =A(3),I,X
0066      PSQN  1,L

```

ADDR. OF SALVO FILE  
MODE SEL. STATUS

POINTER TO TARGET DATA FILE  
BEARING

OWN SHIP X-COORD.

OWN SHIP Y-COORD.

TUBE NO.

LENGTH OF TUBE FILE

START ADDR. OF TUBE FILES

TORPEDO SPEED AND COURSE

TORPEDO X-COORD.

TORPEDO Y-COORD.

SYSTEM TIME

TUBE FILE ADDR.  
CONTROL WORD

INITIAL INTEGRAL VALUE

MODE SEL. STATUS

TORPEDO COURSE

TARGET BEARING

TARGET BEARING

SALVO FILE ADDR.  
NUMBER OF TORPEDOES IN SALVO

TARGET LENGTH

0067	JMP	*+14	
0068	BSQN	0,L	
0069	SRA	1	
0070	COPY	A,D	
0071	LDA	=A(4),I,X	FIRST SELECTED TUBE
0072	SUB	-1,B	TUBE NO.
0073	JAF	*+3	
0074	CPYC	D,D	
0075	JMP	*+7	
0076	BSQN	0,L	
0077	JMP	*+5	
0078	LDA	=A(5),I,X	SECOND SEL. TUBE
0079	SUB	-1,B	TUBE NO.
0080	JAF	*+2	
0081	COPY	Z,D	
0082	COPY	D,A	
0083	NLZ	*16	
0084	STF	-37,B	
0085 *			
0086 *	COMPUTE TORPEDO COURSE		
0087 *			
0088	LDX	-38,B	ADDR. OF TUBE FILE
0089	LDL	=A(0),I,X	TORPEDO TYPE
0090	LDX	=#1625	INVERSE TURN RATE TP=61
0091	BSZR	1,L	
0092	LDX	=#712	INVERSE TURN RATE MK=37
0093	LDA	-31,B	TORPEDO SPEED
0094	RMPY	A,X	
0095	NLZ	*16	
0096	STF	-41,B	
0097	LDF	-7,B	TORPEDO Y-CORD.
0098	FSB	-13,B	OWN SHIP Y-CORD.
0099	STF	-17,B	
0100	FMU	-17,B	
0101	STF	-20,B	
0102	LDF	-4,B	TORPEDO X-CORD.
0103	FSB	-10,B	OWN SHIP X-CORD.
0104	STF	-23,B	
0105	FMU	-23,B	
0106	FAD	-20,B	TEMPORARY QUANTITY
0107	CALL	DAGA	COMPUTE SQUARE ROOT
0108	STF	-26,B	
0109	LDF	-23,B	TEMPORARY QUANTITY
0110	COPY	T,X	
0111	FDV	-17,B	TEMPORARY QUANTITY
0112	CALL	DAFA	COMPUTE ARC TANGENT
0113	FDV	=A(GCGD01),I	PI
0114	DNZ	-2	
0115	BZR0	15,A	
0116	LDW	15,X	
0117	STK	14,A	
0118	CPYC	A,A	
0119	ADD	-14,B	BEARING
0120	BZR0	15,A	
0121	CALL	DABA	COMPUTE SINUS
0122	NLZ	*1	
0123	FMU	-26,B	RANGE TO TORPEDO
0124	FAD	-37,B	SPREAD DATA
0125	STF	-29,B	
0126	FDV	-41,B	TURN RADIUS
0127	COPY	T,X	
0128	STF	-23,B	
0129	RONE	15,T	
0130	FAD	=A(GCGD02),I	CONST.
0131	BSQN	15,T	
0132	JMP	*+6	
0133	LDA	=#20000	90 DEGREES
0134	BSZR	15,X	

0135	CPYC	A,A	
0136	LDX	=38,B	TUBE FILE ADDR.
0137	JMP	GCGD03-2	
0138	CALL	DAEA	COMPUTE ARC COSINUS
0139	FDV	=A(GCGD01),I	PI
0140	DNZ	-2	
0141	COPY	X,T	
0142	LDX	=38,B	ADDR. OF TUBE FILE
0143	LDL	=A(0),I,X	TØRPEDØ TYPE
0144	SUB	=#554	4 DEGREES
0145	BSZR	1,L	
0146	SUB	=#554	
0147	BSZR	15,A	
0148	SAA	0	
0149	BSZR	15,T	
0150	CPYC	A,A	
0151	STA	-15,B	
0152	JMP	GCGD00	
0153	FILL		
0154 GCGD00	LDF	-23,B	REL. DISTANCE FROM LINE=OF=SIGHT
0155	FMU	-23,B	
0156	STF	-20,B	
0157	FMU	-20,B	
0158	FMU	=F500.0	SECOND CONST. IN INTEGRAL TERM
0159	FAD	=A(GCGD02),I	CONST. 1.0
0160	STF	-20,B	
0161	LDF	-23,B	REL. DISTANCE FROM LINE=OF=SIGHT
0162	FDV	-20,B	TEMPORARY QUANTITY
0163	DNZ	-5	
0164	LDX	=38,B	ADDR. OF TUBE FILE
0165	LDL	=A(0),I,X	TØRPEDØ TYPE
0166	BSZR	1,L	
0167	SRA	2	
0168	ADD	=A(39),I,X	INTEGRAL
0169	BSRN	D0F	
0170	JMP	*+4	
0171	LDA	=#777777	UPPES LIMIT OF INTEGRAL
0172	BSZR	CRY	
0173	CPYC	A,A	
0174	STA	=A(39),I,X	
0175	SRA	2	
0176	ADD	-15,B	DISTANCE DETERMINED TERM
0177	LDW	14,A	
0178	BSNW	13,A	
0179	JMP	*+4	
0180	LDA	=#20000	90 DEGREES
0181	BSZR	W	
0182	CPYC	A,A	
0183	LDL	-34,B	MODE SEL. STATUS
0184	BSRN	0,L	
0185	JMP	*+3	
0186	CPYC	A,A	
0187	BCOM	14,A	
0188	ADD	-14,B	TARGET BEARING
0189	BZRØ	15,A	
0190 *			
0191 *	PREPARE OUTPUT		
0192 *			
0193 GCGD03	STA	=A(24),I,X	
0194	LDA	-34,B	MODE SEL. STATUS
0195	LDW	0,A	
0196	LDA	=A(31),I,X	NUMBER OF IN=OUT SHIFT
0197	BSNW	0,A	
0198	MIN	=A(31),I,X	NUMBER OF IN/OUT SHIFT
0199	LDD	-33,B	SYSTEM TIME
0200	SAL	10	
0201	RADD	L,D	
0202	RADDY	Z,A	

0203 STD =A(28),I,X  
0204 LDA =A(GCGD)  
0205 STA =A(30),I,X  
0206 MIN 0,B  
0207 LDL 0,B  
0208 AAB -43  
0209 EXIT  
0210 FILL  
0211 GCGD01 DC F3.14159265 PI  
0212 GCGD02 DC F1.U  
0213 )WRIT GCGD GCGD00 GCGD01 GCGD02  
0214 )KILL GCGD00 GCGD01 GCGD02 GCGD03 GCGD04  
0215 END

GCGF stack

-62	$C_{TGT}$
-61	$V_{TGT}$
-60	$X_{TGT}$
-57	$Y_{TGT}$
-54	$V_{TP}$
-53	$X_{YP}$
-50	$Y_{TP}$
-47	$C_c$
-46	$T_c$
-43	$D_c$
-40	X-comp of $D_c$
-37	Y-comp of $D_c$
-34	w
-31	$1-w^2$
-28	$V_{TP}$ (floating point)
-25	$\xi$
-22	$\eta$
-19	$\xi^2 + \eta^2$
-16	$\sin C_{TGT}$
-13	$\cos C_{TGT}$
-10	Temporary variable
-7	Temporary variable
-4	Temporary variable
-1	Saved content of X-reg
0	Return address

0001 \* PROGRAM GCGF COMPUTES COLLISION COURSE, TIME TILL IMPACT, RANGE TO COLLIS  
 0002 \* POINT AND X= AND Y=COMPONENT OF THE RANGE  
 0003 \*  
 0004 \*  
 0005 LIBR GCGF  
 0006 GCGF AAB 35  
 0007 STL 0,B  
 0008 STX -1,B  
 0009 LDA -54,B  
 0010 NLZ +6  
 0011 STF -28,B  
 0012 LDA -61,B  
 0013 NLZ +12  
 0014 FDV -28,B  
 0015 STF -34,B  
 0016 FMU -34,B  
 0017 RONE 15,T  
 0018 FAD =F1.0  
 0019 STF -31,B  
 0020 LDF -60,B  
 0021 FSB -53,B  
 0022 STF -25,B  
 0023 FMU -25,B  
 0024 STF -10,B  
 0025 LDF -57,B  
 0026 FSB -50,B  
 0027 STF -22,B  
 0028 FMU -22,B  
 0029 FAD -10,B  
 0030 STF -19,B  
 0031 FDV -31,B  
 0032 STF -10,B  
 0033 LDA -62,B  
 0034 CALL DABA  
 0035 NLZ +1  
 0036 STF -16,B  
 0037 FMU -25,B  
 0038 STF -7,B  
 0039 LDA -62,B  
 0040 CALL DACA  
 0041 NLZ +1  
 0042 STF -13,B  
 0043 FMU -22,B  
 0044 FAD -7,B  
 0045 STF -7,B  
 0046 LDX -31,B  
 0047 JXZ \*+13  
 0048 FMU -34,B  
 0049 FDV -31,B  
 0050 STF -4,B  
 0051 FMU -4,B  
 0052 FAD -10,B  
 0053 BSZR 15,T  
 0054 JMP \*+35  
 0055 CALL DAGA  
 0056 BSZR 15,X  
 0057 RONE 15,T  
 0058 FAD -4,B  
 0059 JMP \*+5  
 0060 LDF -19,B  
 0061 FDV -7,B  
 0062 RADD,N Z,T  
 0063 BC0M 15,T  
 0064 RSZR 15,T  
 0065 JMP \*+24  
 0066 STF -43,B

TØRPEDØ SPEED

TARGET SPEED

TØRPEDØ SPEED

TARGET X-CØORD.  
TØRPEDØ X-CØORD.

TARGET Y-CØORD.  
TØRPEDØ Y-CØORD.

TEMPØRARY QUANTITY

REL. SPEED DIFFERENCE

TARGET CØURSE  
CØMPUTE SINUS

X-CØORD. DIFF. TARGET - TØRPEDØ

TARGET CØURSE  
CØMPUTE CØSINUS

Y-CØORD. DIFF. TARGET - TØRPEDØ  
TEMPØRARY QUANTITY

EXP. ØF REL. SPEED DIFFERENCE

SPEED RATIO  
REL. SPEED DIFFERENCE

TEMPØRARY QUANTITY

CØMPUTE SQUARE RØØT

TEMPØRARY QUANTITY

SQUARE ØF RANGE TØ TARGET  
TEMPØRARY QUANTITY

